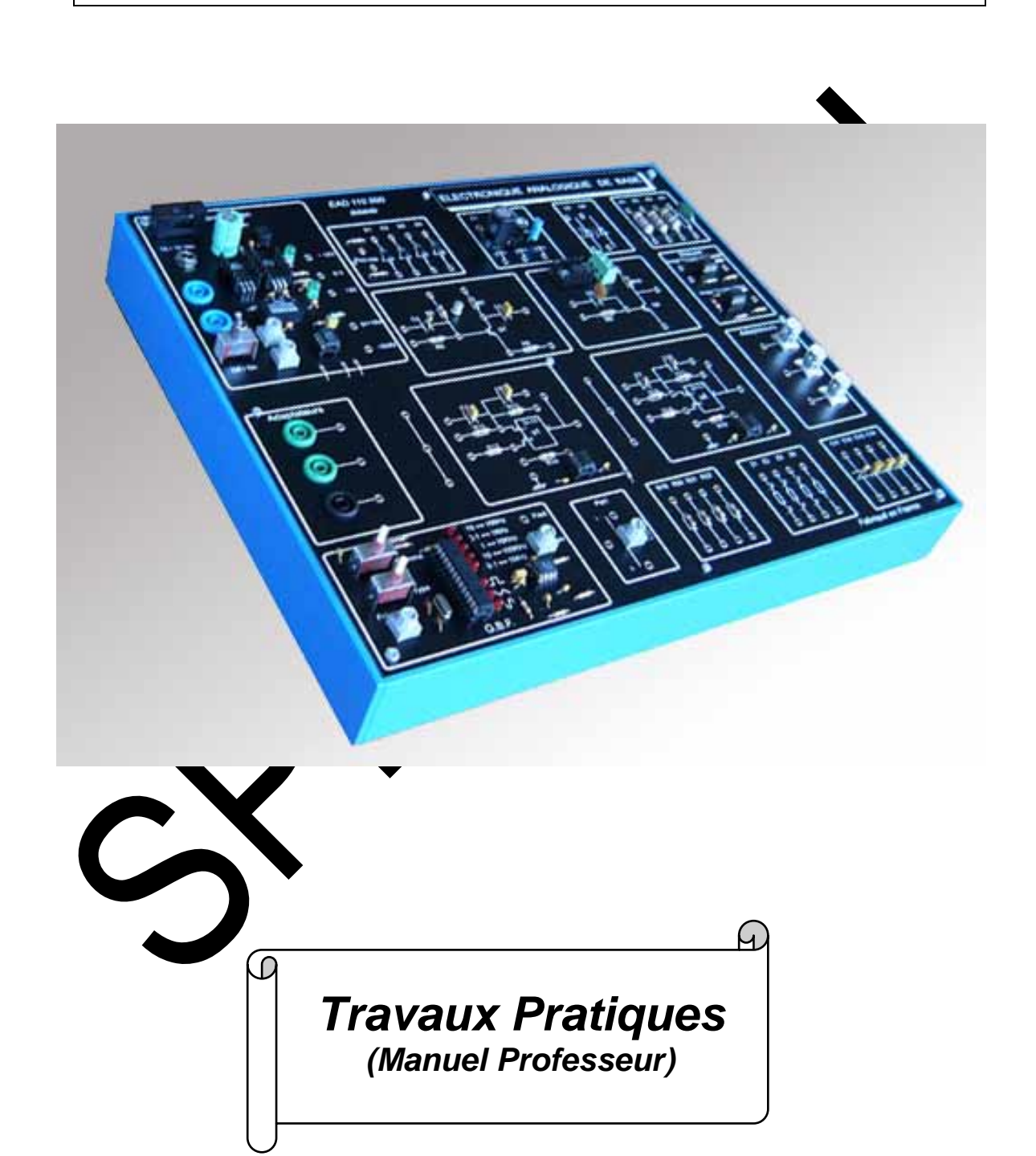
# ELECTRONIQUE ANALOGIQUE DE BASE EAD 110 000

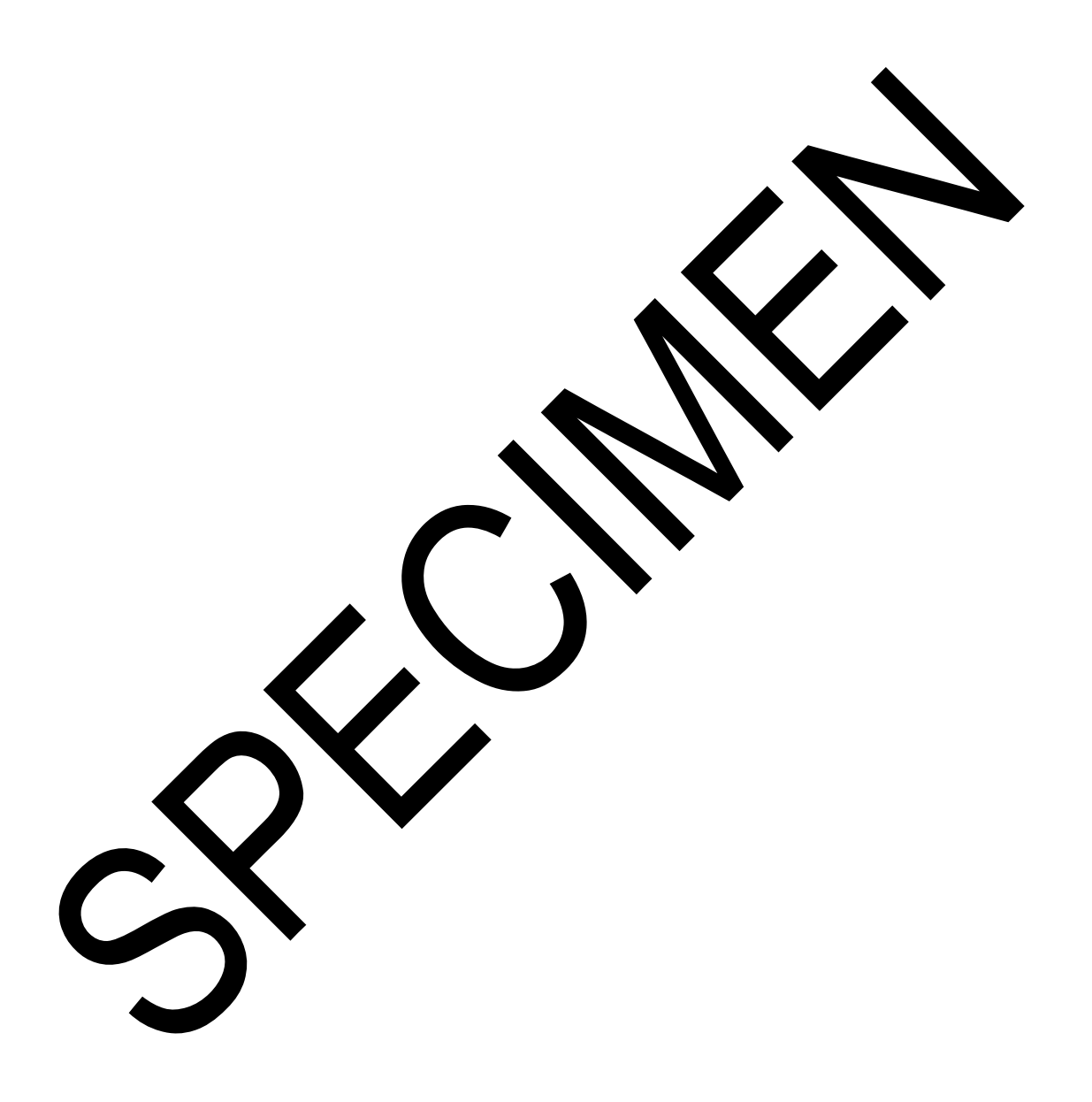




Z.A.C La Clef St Pierre 5, rue du Groupe Manoukian 78990 ELANCOURT tél.: (33) 01 30 66 08 88 fax: (33) 01 30 66 72 20

E-Mail: ge@didalab.fr







# **SOMMAIRE**

TP 1	REDRESSEMENT SIMPLE ALTERNANCE	7
1.1	SCHEMA FONCTIONNEL DE PRINCIPE	7
1.2	TRANSFORMATEUR	7
1.3	REDRESSEMENT : schéma de principe fig.1	7
1.4	FILTRAGE : schéma de principe fig.3	8 8
1.5	REGULATION	
1.6	TRAVAUX PRATIQUES	15
1.6.1	REDRESSEMENT SIMPLE ALTERNANO	16
1.6.2	REDRESSEMENT SIMPLE ALTERNACE FILTRACE	17
TP 2	REDRESSEMENT DOUBLE ALTERNANCE	19
2.1	REDRESSEMENT : schéma de plane fig. l	19
2.2	FILTRAGE : schéma de principe fig.	19
2.3	TRAVAUX PRATIQUES	23
2.3.1	Redressement double sernal e	23
2.3.2	Redressement do ple alternance i filtrage	24
TP 3	ALIMENTATION S'ABILISEE	25
3.1	Caractéristique Courant Tension d'une diode Zéner	25
3.2	ALIMENTA ON STORILISE VEC DIODE ZENER SEULE	26
3.2.1	Stabilisat a p. diode Zéner	26
3.3	ALIME TION STABILY ZE AVEC DIODE ZENER ET TRANSISTOR	
3.4	TR' AUX RATI UF	28
3.4.1	Relevé de la cara téristique d'une diode Zéner	28
3.4.2	A. v. kation stabilisée par diode Zéner et transistor	30
TP	AMPLIFIC ATEUR à TRANSISTOR	34
4.1	AMPLN CATEUR EMETTEUR COMMUN	34
4.2	AMPLI CATEUR COLLECTEUR COMMUN	37
4.3	UX PRATIQUES	38
4.3.1	Amplificateur Emetteur Commun	38
4.3.2	Impédance d'entrée Zem de l'amplificateur	39
4.3.3	Amplificateur Collecteur Commun	41



IP 5	AMPLIFICATEUR OPERATIONNEL: DOMAINE CONTINU	43
5.1	RAPPEL QUELQUES DEFINITIONS	43
5.2	AMPLIFICATEUR SUIVEUR	44
5.2.1	Schéma de principe fig.3	44
5.2.2	Calcule de Vs	44
5.3	AMPLIFICATEUR INVERSEUR	45
5.3.1	Schéma de principe figure 4	45
5.3.2	Calcule de l'amplification en tension Av	45
5.4	AMPLIFICATEUR SOMMATEUR INVERSEUR	45
5.4.1	Schéma de principe fig.5	45
5.5	AMPLIFICATEUR NON INVERSEUR	46
5.5.1	Schéma de principe figure 6	46
5.5.2	Calcul de l'amplification en tension Av	46
5.6	AMPLIFICATEUR SOUSTRACTEUR	47
5.6.1	Schéma de principe figure 7	47
5.6.2	Calcul de la tension Vs	47
5.7	TRAVAUX PRATIQUES	48
5.7.1	Amplificateur suiveur	49
5.7.2		49
5.7.3		49
5.7.4		49
5.7.5	Amplificateur soustracteur	49
TP 6	AMPLIFICATEUR (PERATION) L : DOMAINE ALTERNAT	TE 51
6.1	DERIVATEUR . DOMAINE ALTERNAT	51
6.1.1	Schéma fopuronne	51
6.1.2		51
6.1.3	Dérivator parfai	52
6.2	INTEGRATE	52
6.2.1	Science font onnel	52
6.2.2	express n de le trasion de sortie Vs(t).	53
6.2.3	tégra ur parfait.	53
6.3	TRAV. PRATIQUES	54
6.7	Dériv eur sans le condensateur Cp en parallèle avec R	54
6. 2	ivats r avec le condensateur Cp en parallèle avec R	55
6.3.	Intérateur	55
6.3.4	Intagrateur parfait	56
TP 7	COMPARATEUR	59
7.1	SCHEMA FONCTIONNEL	59
7.2	APPLICATIONS	59
7.2.1	Mise en forme : cas idéal	60
7.2.2	Mise en forme : cas réel	61
7.3	TRAVAUX PARTIQUES	62
7.3.1	Mise en forme idéal	62
7.3.2	Mise en forme réel	62



TP 8	COMPARATEUR-TRIGGER	67	
8.1	COMPARATEUR POUR SIGNAL BRUITE		
8.2	COMPARATEUR-TRIGGER		
8.3	TRIGGER INVERSEUR	68	
8.3.1	Schéma de principe	68	
8.3.2	Principe de fonctionnement	68	
8.4	TRIGGER NON-INVERSEUR	69	
8.4.1	Schéma de principe	69	
8.4.2	Principe de fonctionnement	69	
8.5	APPLICATION: MISE FORME D'UN SIGNAL BRUITE	70	
8.6	TRAVAUX PRATIQUES	71	
8.6.1	Trigger inverseur	71	
8.6.2	Trigger non-inverseur	71	
8.6.3	Application	71	
TP 9	FILTRES DU 1 <sup>er</sup> ORDRE	75	
9.1	RAPPELS	75	
9.2	FILTRES PASSE-BAS DU 1 <sup>er</sup> ORDRE	75	
9.2.1	Schémas de principe	75	
9.2.2	Calcul de la transmittance sche 32 1	76	
9.2.3	Calcul de la transmittance shém. fig.z	76	
9.3	FILTRE PASSE-HAUT DU 1 <sup>er</sup> Ox PRE	76	
9.3.1	Schéma de principa	76 70	
9.3.2	Calcul de la transiettance	76	
9.4	TRAVAUX PRATIQUIS	77	
9.4.1	Filtre passe des du le ordre : s'hémas figures 1 et 2	77	
9.4.2	Filtre pas 2-haut du 1 ordre schéma figure 3	79	
TP 10	FILTRES . CT .FS DU SECOND ORDRE	81	
10.1	FILT LD. SEC ND OF JRE	81	
10.2	Structure de Balen, of key	81	
10.2.1	shém de principe	81	
10.2	Fin passe-bas du 2 <sup>ème</sup> ordre	83	
103		84	
10.	STUNE DE Rauch	85	
10.5.	Sch ma de principe	85	
10.3.2		86	
10.3.3	<u> </u>	87	
10.4	TRAVAUX PRATIQUES	88	
10.4.1	Filtre passe-bas 2 <sup>ème</sup> ordre structure de Sallen et Key	88	
10.4.2 10.4.3	,	91 92	
10.4.3	·	92 95	
10.4.4		20	



TP 11 11.1 11.2	PRODUIT GAIN x BANDE d'un A BUT TRAVAUX PRATIQUES	OP 99 99 100
TP 12 12.1	ALIMENTATION REGULEE SCHEMA FONCTIONNEL	103 103
12.2 12.3	SCHEMA STRUCTUREL TRAVAUX PRATI QUES	103 105

#### TP 1 REDRESSEMENT SIMPLE ALTERNANCE

Remarque Les courbes 4 à 11 sont obtenues par simulation.

#### 1.1 SCHEMA FONCTIONNEL DE PRINCIPE

Dans ce TP, le but est d'obtenir une tension continue à partir de la tension secteur avec une isolation galvanique entre le secteur et l'utilisation.

Le schéma fonctionnel est donné par la figure 1. La tension su la journe de la politiquée à un transformateur en général abaisseur com le c'ès le cas de la tout ce qui suit.

La fonction redressement consiste à ne retenir qu'us calternance de la sinusoïde, on parle alors de redressement simple alternance ou a crimettre les deux alternances dans le même sens », c'est le redret, ment puble a srnance.

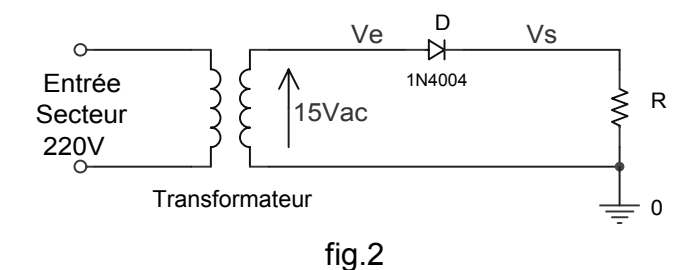


#### 1.2 TRANSFORMATING

Il a deux rôle isoler la parte utilisation pla partie secteur 220V modifier la valeur en cace de la tension secteur ici, transformation de 220V à 15V.

#### 1.3 RESEN NT : schéma de principe fig.1

est constitué à secondaire du transformateur de la diode de redressement D1 se diode de redressement

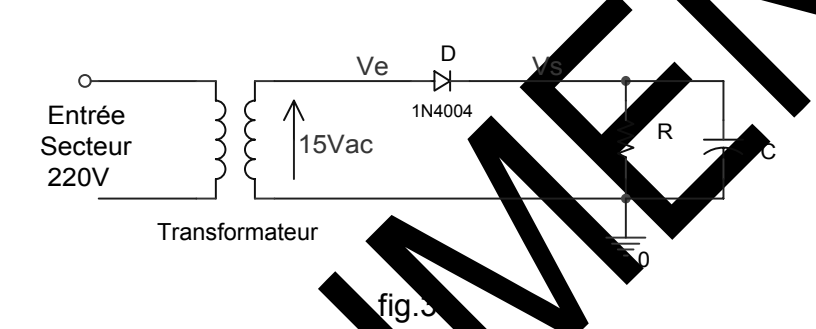


La fonction redressement est assurée par la diode D comme suit : durant l'alternance positive du signale Ve, elle est polarisée en direct et conduit à travers R.

durant l'alternance négative, D est polarisée en inverse et ne conduit donc pas. Le courant dans R est alors nul et la tension Vs est égale à 0. Le résultat est donnée figure 4.

#### 1.4 FILTRAGE: schéma de principe fig.3

La fonction filtrage consiste à rendre continue la tension de sortie Vafigure 3. Pour cela un condensateur C est branché aux bornes de la charge R. L'amplitude des ondulations résiduelle est fonction de la vale C.



On peut observer sur les figur 3 5 a 11 l'en i du condensateur C sur la tension de sortie Vs.

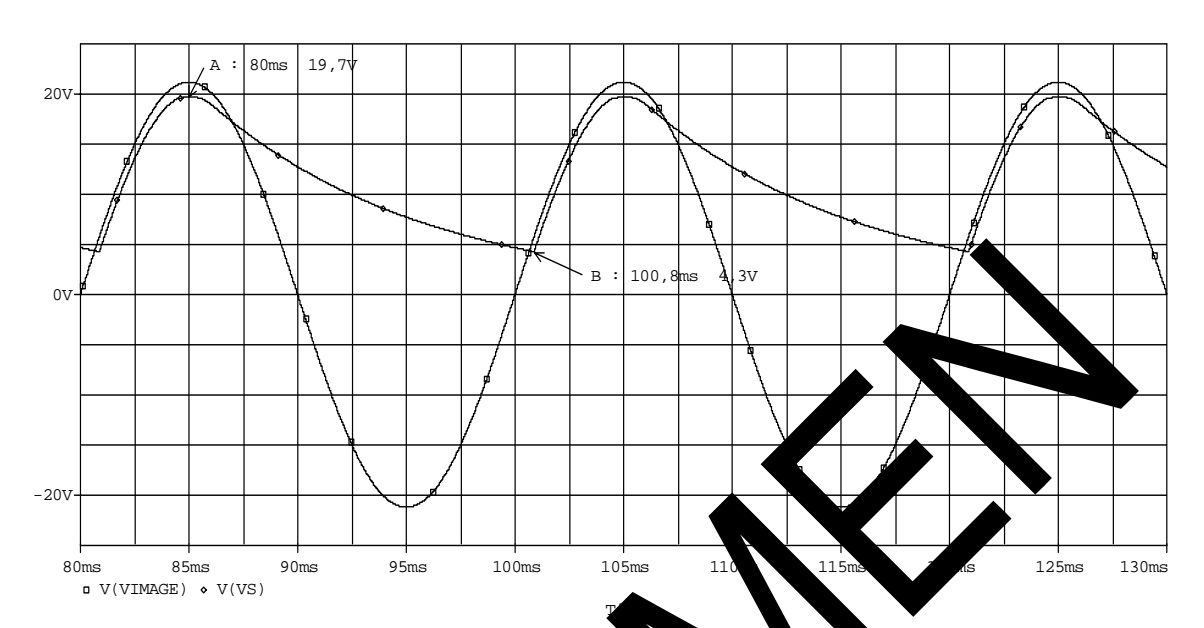
#### 1.5 REGULATION

Selon la précision et la stabilité su l'eité s pour la tension Vs ainsi que le courant dans la charge, un simple alimentation stabilisée suffira ; sinon, il faudra procéder à une régulation double mernance de la tension de sortie Vs. Cette fonction sers about se ulté neurement.



fig.4





#### **1**2.5

# aleur moye ne de Vs

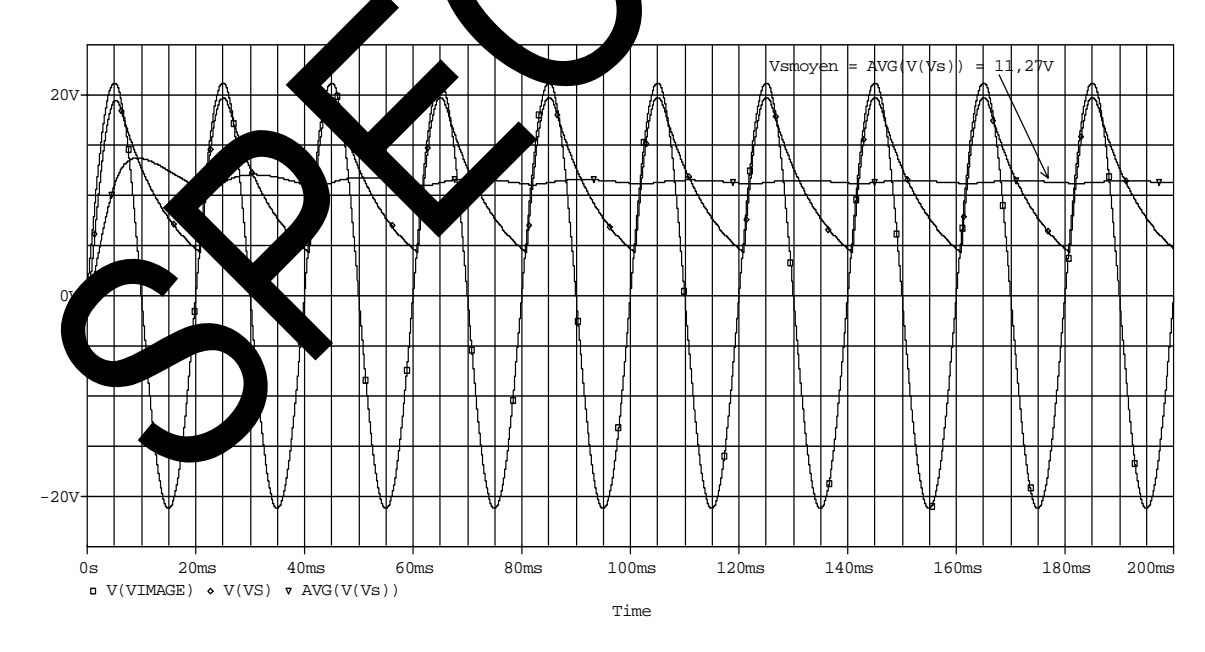
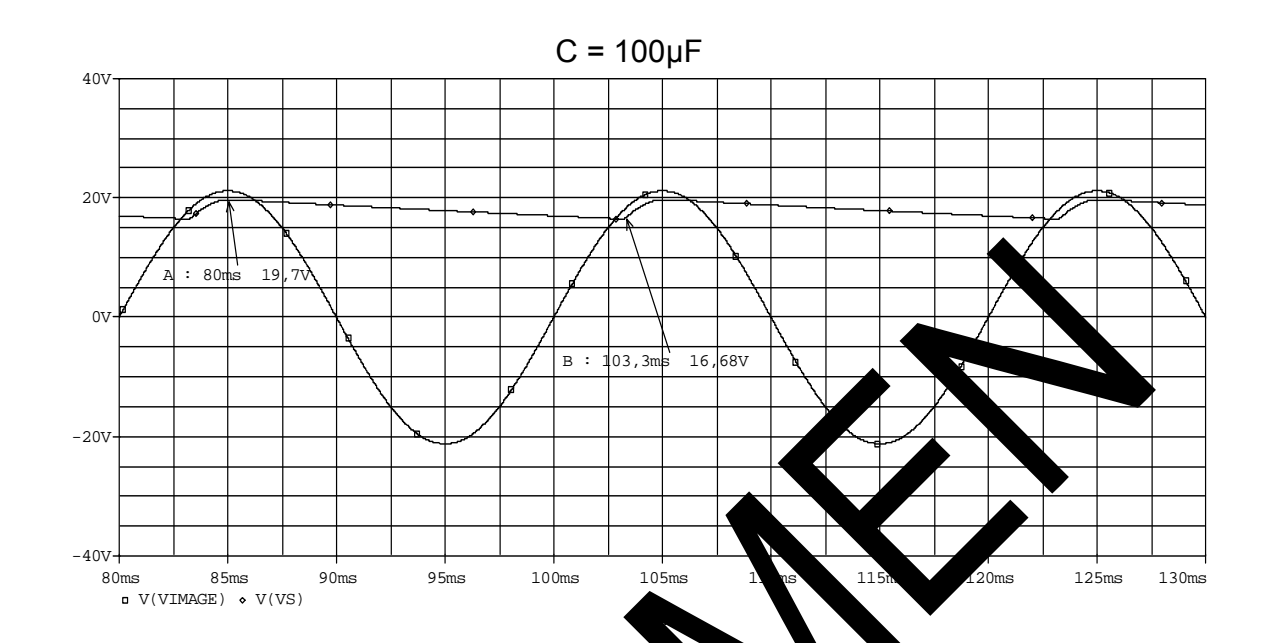


fig. 6





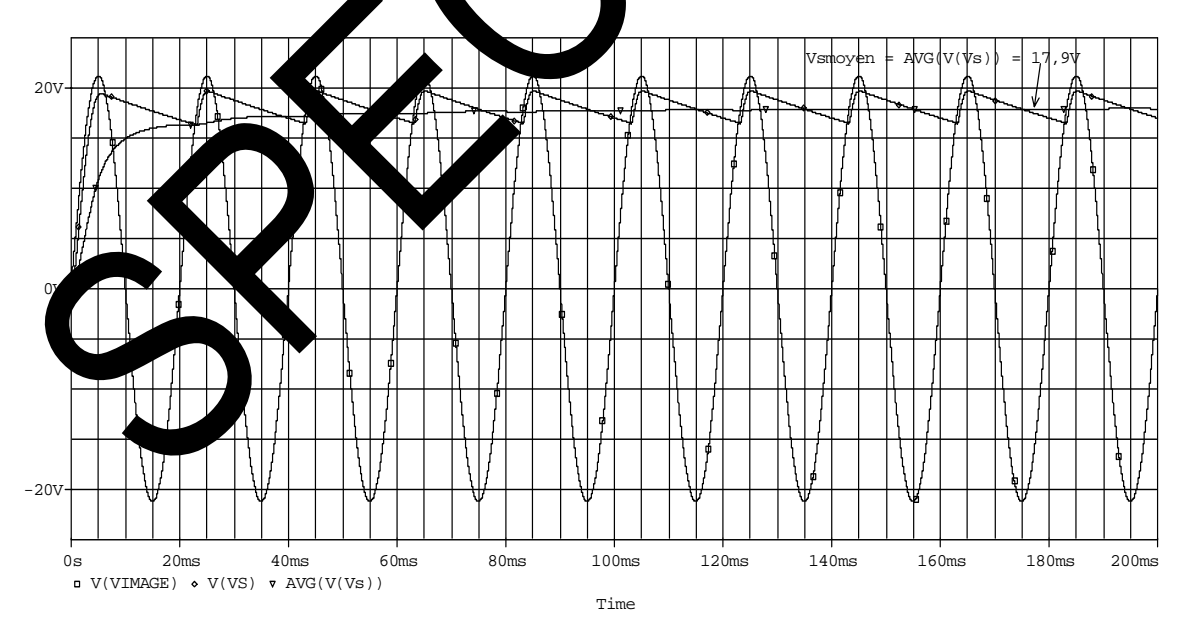
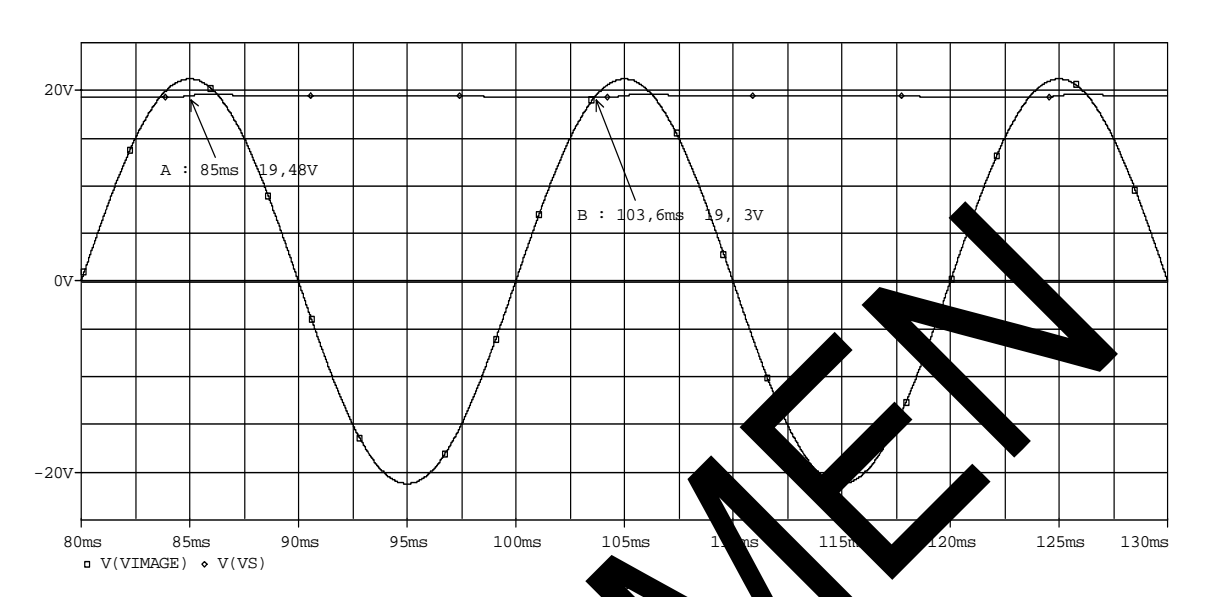


fig.8





#### fic

# aleur moye ne de Vs

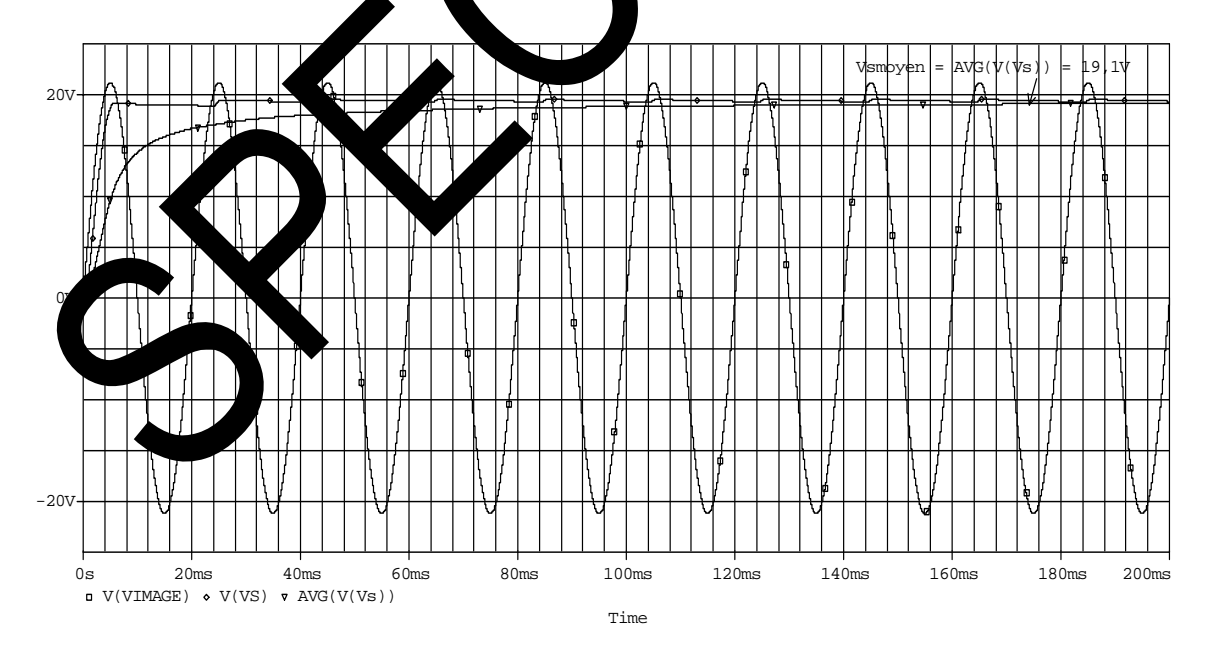


fig.10

## Courbes Vs selon les valeurs de du condensateur C

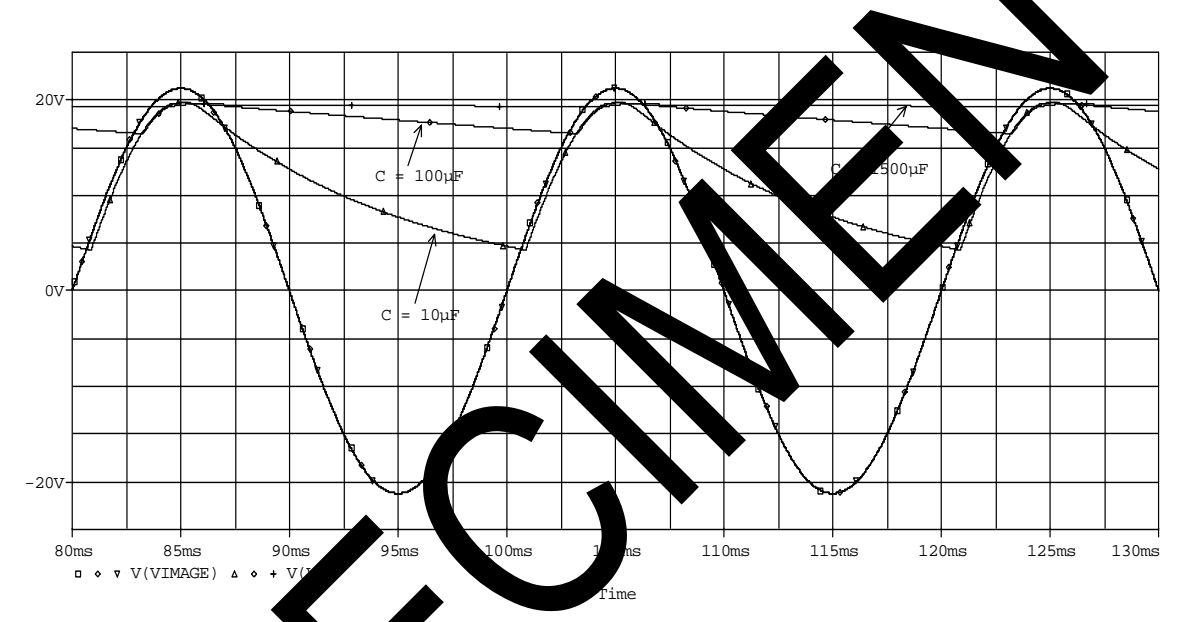
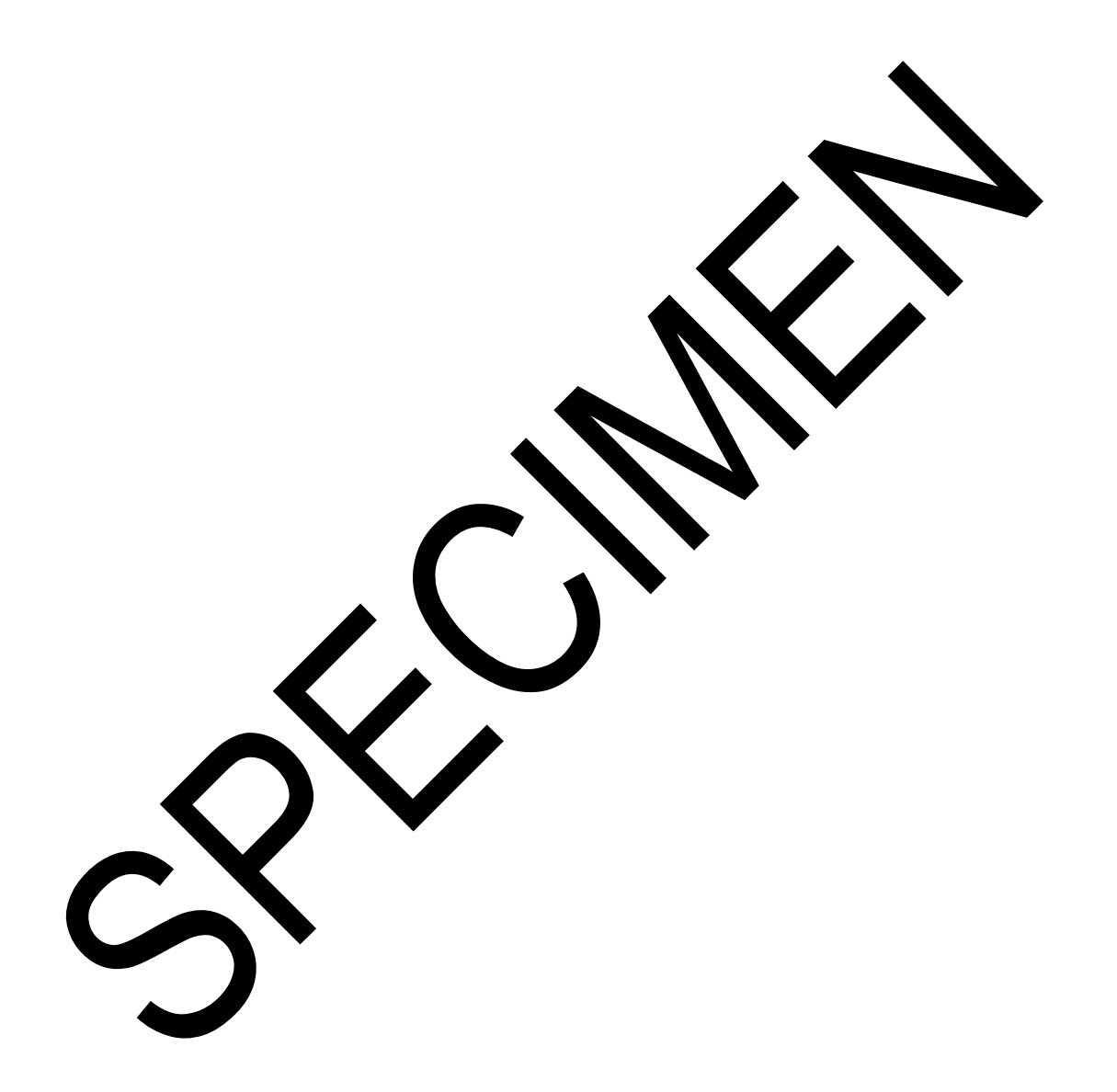


fig.11



#### 1.6 TRAVAUX PRATIQUES

#### Attention!

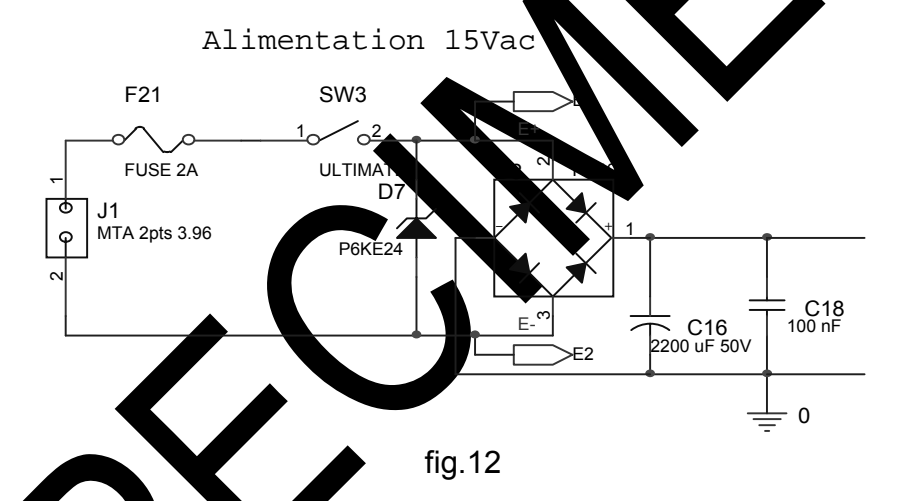
Ne pas utiliser la borne E2 jusqu'à nouvel ordre

#### Remarque 1

Le schéma à réaliser est légèrement différent du schéma de princip figure 2 vue précédemment.

En effet, le secondaire du transformateur alimente les circuit déferant le tensions continues de l'ensemble du module EAD110.

Cette partie est indiquée ci-dessous fig.12



Le 0V (mu se de nusure) a pris sur la borne 4 du pont de Gretz et non sur l'autre borne du se angle le comme sur la figure 2.

#### R margue 2

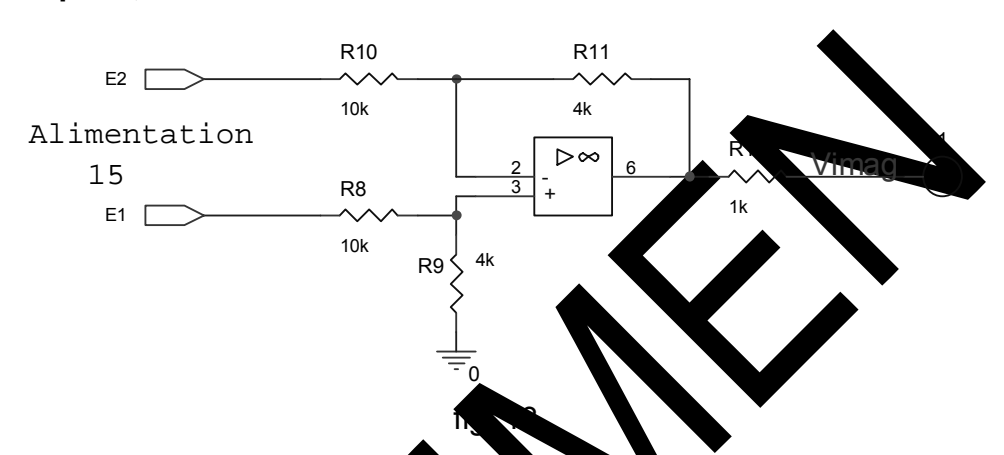
La tension Vim ge est l'image de la tension au secondaire du transformateur abaisseur de l'alimentation générale.

La figure 15 est une fonction qui permet de visualiser la différence de potentiel aux bornes (E1, E2) du secondaire du transformateur sans mettre une de ces bornes à la masse et sans disposer d'un Oscilloscope à voies différentielles.

Le schéma ci-dessous fig.13 montre après calcul que :

$$V_{image} = \frac{E_1 - E_2}{2.5}$$

En conséquence, l'amplitude du signal Vimage relevé à l'oscilloscope doit être **multipliée par 2,5**.



#### 1.6.1 REDRESSEMENT SIMPLE ALTER AND

- 1.6.1.1 Réaliser le schéma de la ligure 14.
- 1.6.1.2 Quelle devait être la insion de sertie sête de Vs d'après le schéma théorique de la figure

Réponse

D'après le sur ema de l'algure 2, la valeur efficace de la tension à l'entrée du transformateul est c'au 15V.

Dor , a vale , crête, bit êt , de :  $Vs = 15\sqrt{2} = 21,21V$ 

1.6 Leleve es chronogrammes de Vs et Vimage (l'amplitude de Vimage doit être mult, l'ée par 2,5) et les comparer à ceux décrits figures 4.

epons

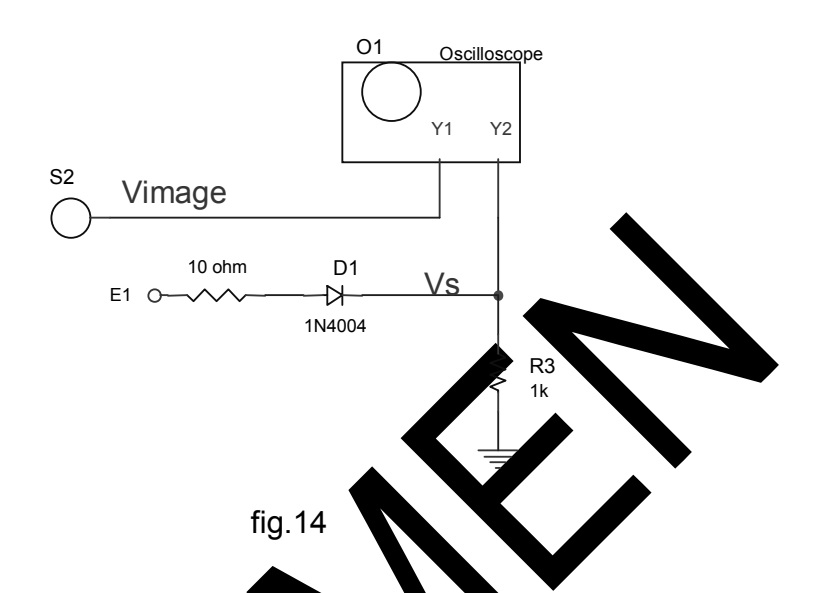
Les val ers sont différentes.

1.6.1.4 En vous servant du schéma de la figure 12,13,14, expliquer pourquoi la valeur crête de la tension Vs n'est pas égale à celle du signal 2,5xVimage

Réponse

Il faut soustraire de cette valeur, les deux seuils des diodes du pont de Gretz de la figure 12.

#### 1.6.1.5 Conclusions.



#### 1.6.2 REDRESSEMENT SIMPLE ALTER LANCE et l'RAGE

- 1.6.2.1 Réaliser le schéma de la comme 15
- 1.6.2.2 Relever les chronogrammes de Vs et mage et les comparer à ceux des figures 5 à 11.
- 1.6.2.3 Mesurer aver récision s valeur crêtes des deux signaux et vérifier par le calcul leur ractitud ains le sordonnées des points A et B (figure 6) pour chaque vale reducantement C.
- 1.6.2.4 Démontre que éguation de la tension Vs entre A et B est de la forme :

Vs =  $V_A$  = Tension au point A et la constante  $\tau$  = R<sub>3</sub>C<sub>3</sub>.

Répons

Le cor $^{\prime\prime}$ nsateur C3 étant chargé à  $V_A$  l'ensemble R3 C3 obéit à l'équation différentielle :

$$\tau \frac{\overline{dVs}}{dt} + Vs = 0.$$

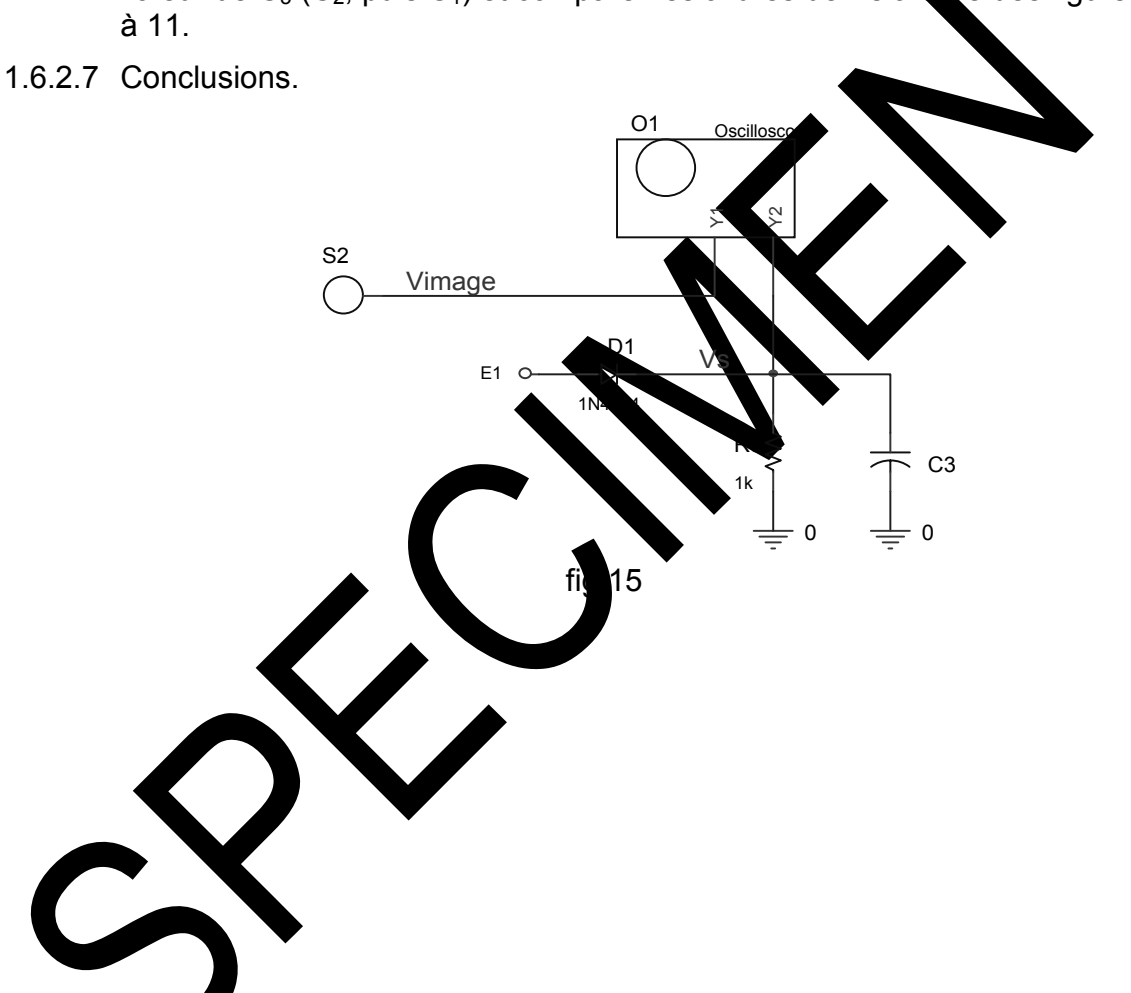
La résolution de cette équation aboutit à la solution générale de la forme :

 $V_S = Ke^{\frac{-t}{\tau}}$  avec la condition initiale :  $V_S(0) = V_A$  l'instant 0 étant l'abscisse du point A.

1.6.2.5 Vérifier avec cette équation la valeur de la tension  $V_B$ , (tension  $V_B$  au point B).

Réponse : Rélever la tension au point B et vérifier qu'en remplaçant t par  $t_B$ - $t_A$  dans l'équation de Vs en 1.6.2.4 l'on trouve la valeur de la tension en B.

1.6.2.6 Effet de la valeur du condensateur C sur la tension filtrée Vs : changer la valeur de  $C_3$  ( $C_2$ , puis  $C_1$ ) et comparer les allures de Vs à celle des figures 5 à 11



#### TP 2 REDRESSEMENT DOUBLE ALTERNANCE

#### 2.1 REDRESSEMENT : schéma de principe fig.1

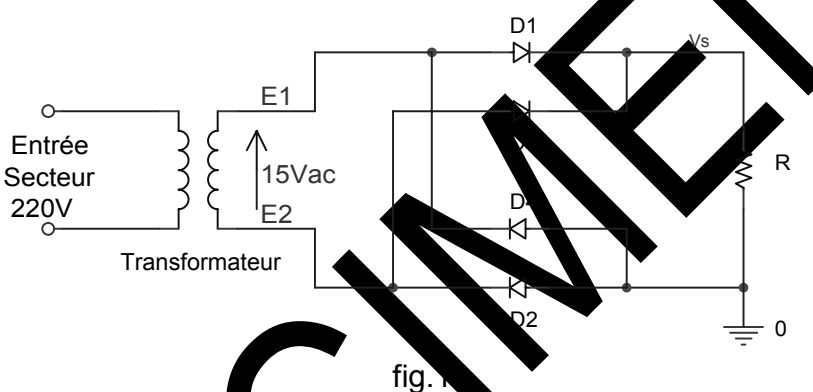
Le schéma fonctionnel de principe est le même que celui du redressement simple alternance.

Seule la fonction Redressement diffère ; la diode D est remplacée par un pont de Grez en plus du pont de Gretz de l'alimentation générale du module (voir TP 1).

Le schéma de principe est donné figure 1.

Les chronogrammes sont donnés figure 3 et 4.

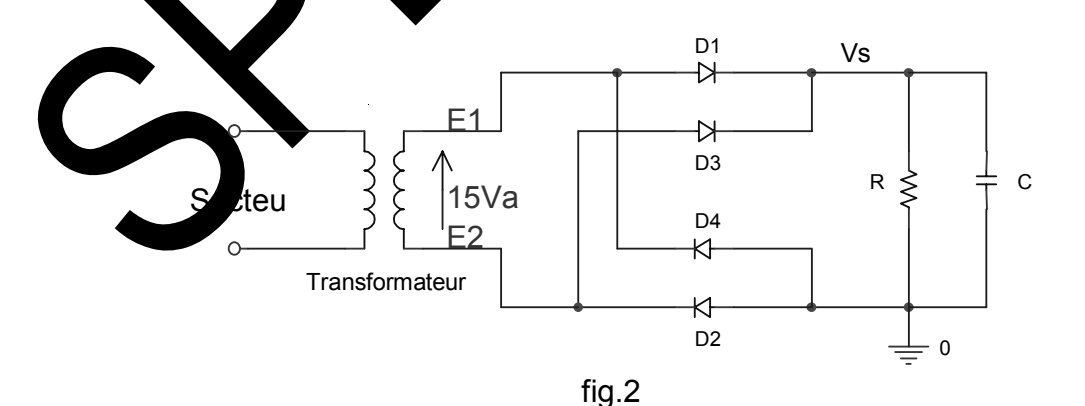
Observer sur la figure 4 la zone encerclée.



Le chronogramme est donné gure 3.

#### 2.2 FILTRAGE : schana de principe

En parallèle un content de lisser la tension aux bornes de la charge R.



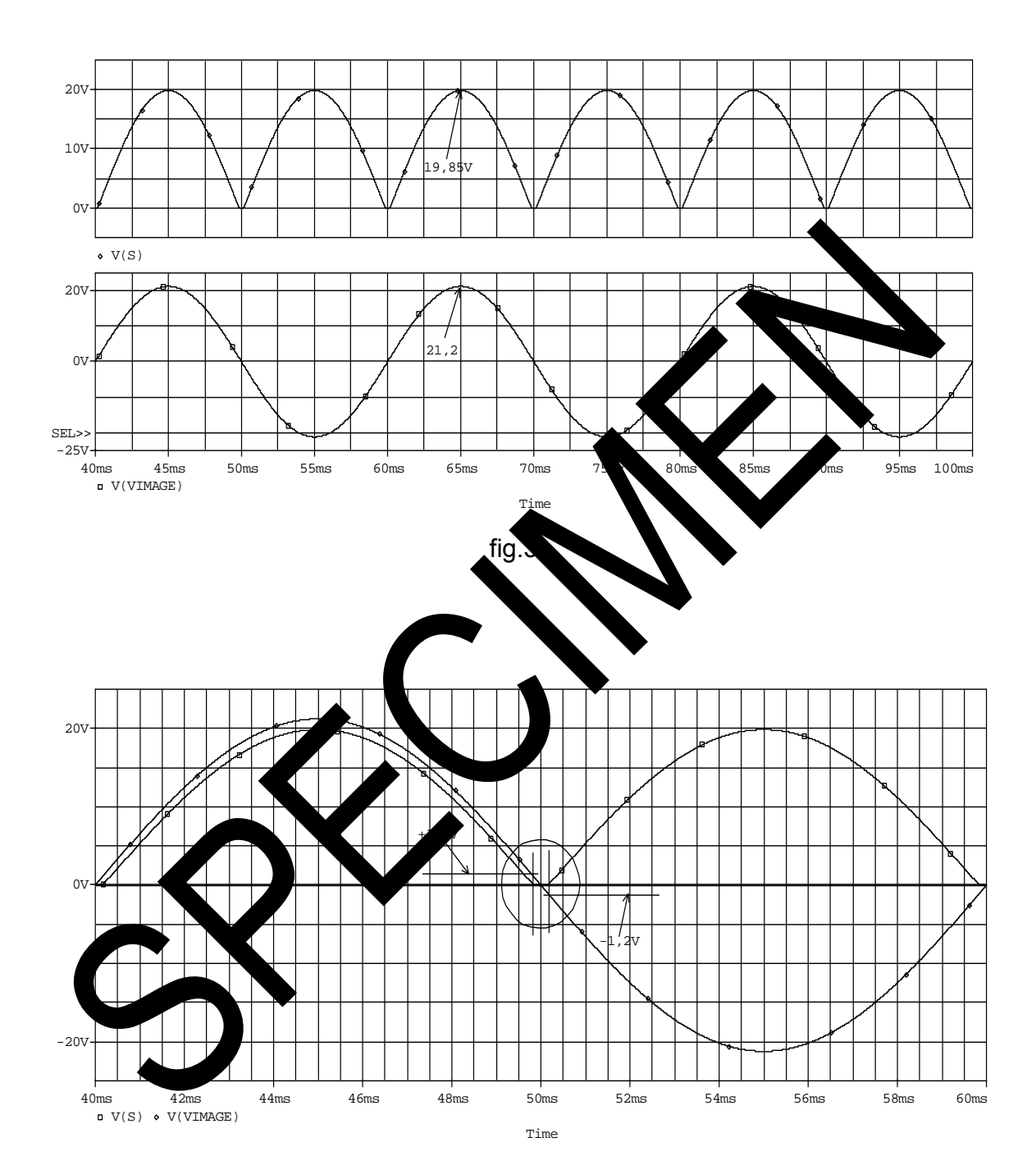
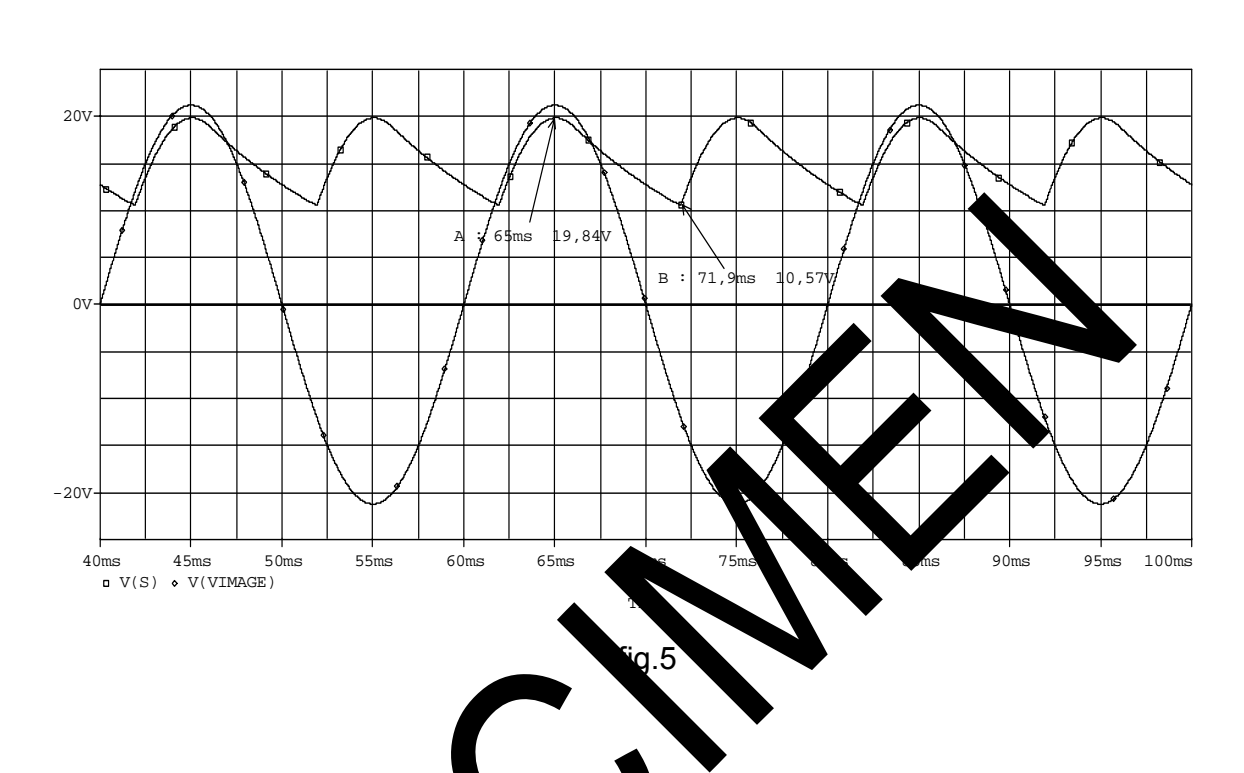


fig.4



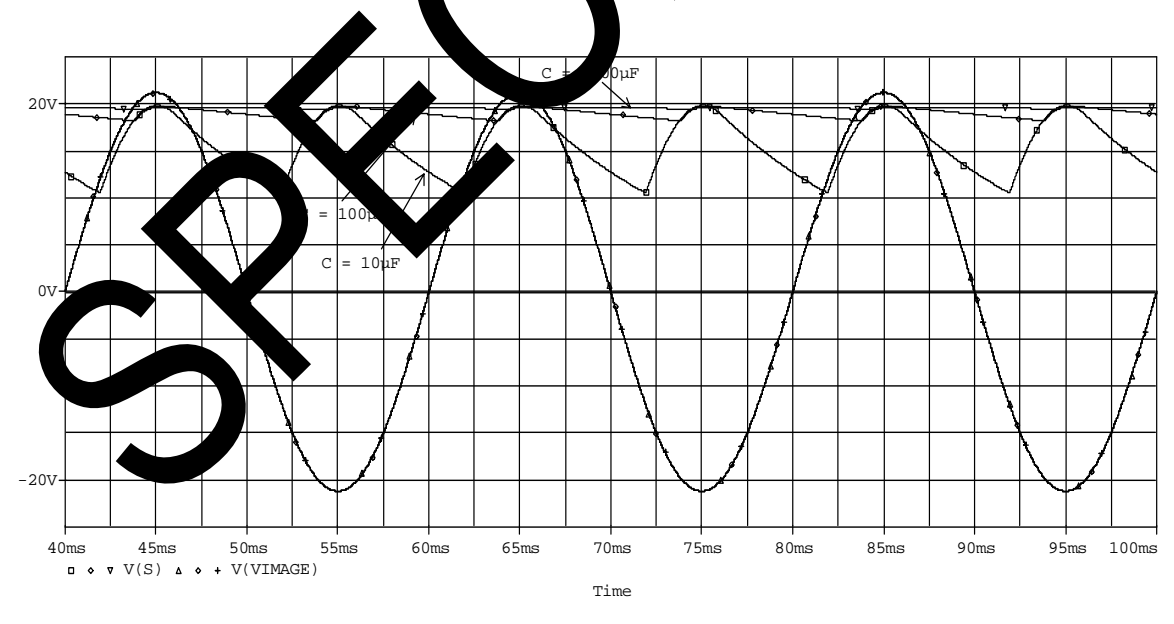
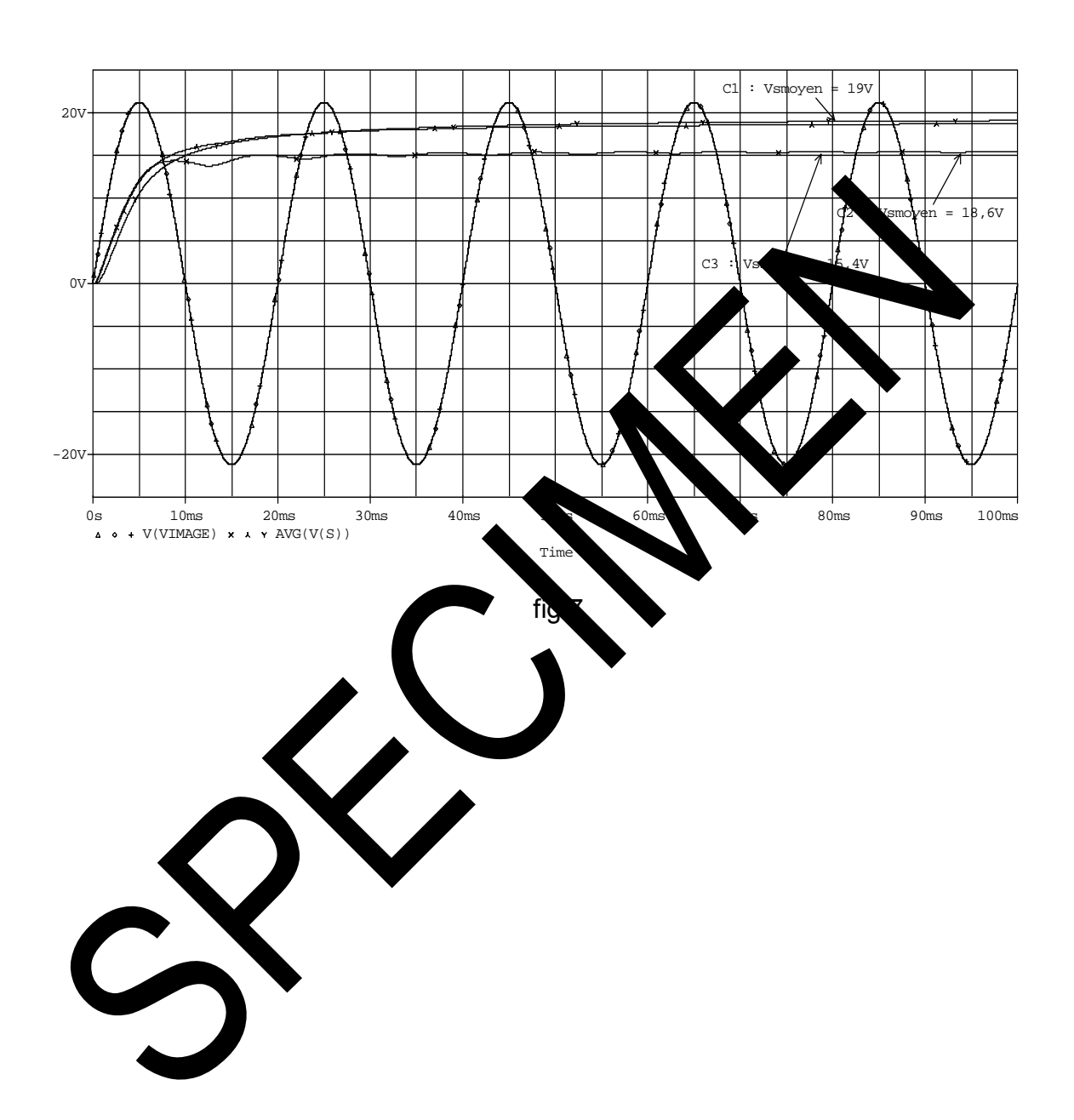


fig.6



#### 2.3 TRAVAUX PRATIQUES

Attention! Utiliser ici la borne E2

#### 2.3.1 Redressement double alternance

- 2.3.1.1 Réaliser le schéma de la figure 8.
- 2.3.1.2 Quelle devait être la tension de sortie crête de Vs d'après le schéma théorique de la figure 1 ?

Réponse

La valeur théorique devrait être :  $15\sqrt{2} - 2x0.65 = 19,9V$  (il faut tenir à apte de la chute de tension aux bornes des diodes D1et D2 ou D3 et D

- 2.3.1.3 Relever les chronogrammes de Vs et Vimage (l'amplitude le Vimage doit être multipliée par 2,5) et les comparer à coux décres fig.3 et 4
- 2.3.1.4 En vous servant du schéma de la figure 2 (Th. 7), expliquer pourquoi la valeur crête de la tension Vs n'est pas e la là cure du gnal 2,5xVimage.

Réponse : voir question 2.3.1.2.

2.3.1.5 Expliquer pourquoi signal Vs (bork S1) reste à zéro tant que l'on a :

Réponse

En effection le le cides en sé le D1-D2 ou D3-D4 (alternance négative de la tension altra lative du per de Graz ne conduisent pas, le courant dans la charge R est nul. Le qui dont une de la ce de potentiel nulle à ces bornes. C'est ce qui explique la 2 de morte sur le chronogramme de la figure 4.

D1-D alternance positive de la tension du secondaire

03-04 : a rnance négative de la tension du secondaire

2. Concusions.

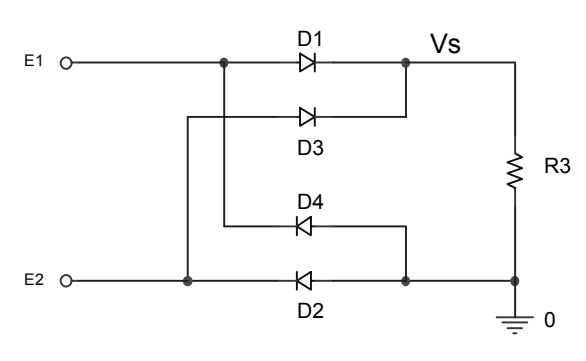


fig.8

#### 2.3.2 Redressement double alternance et filtrage

- 2.3.2.1 Réaliser le schéma de la figure 9.
- 2.3.2.2 Relever les chronogrammes de Vs et Vimage et les comparer à ceux de la figure 6.
- 2.3.2.3 Mesurer avec précision les valeurs crêtes des deux signaux et vérifier par le calcul leur exactitude ainsi que les coordonnées des points A et B (figure 6) pour chaque valeur de C.
- 2.3.2.4 Démontrer que l'équation de la tension Vs entre A et B est de la forme :

$$Vs = V_A e^{\frac{-t}{\tau}}$$

avec  $V_A$  = Tension au point A et la constante  $\tau = \frac{1}{3}C_3$ .

Réponse :

Voir TP 1

2.3.2.5 Vérifier avec cette équation vales de  $t_{\rm c}$  usion  $V_{\rm B}$ , (tension Vs au point B).

Réponse :

Voir TP 1

- 2.3.2.6 Effet de la pleu au condensateur C sur la tension filtrée Vs : Charge la valur de C  $C_2$ , puis  $C_1$ ) et comparer les allures de Vs à c les sul la figure 6
- 2.3.2.7 Rever Evaleur moyenne du signal Vs et la comparer aux valeurs théo ses (figure 7)
- 1 3.2.8 Conclusing

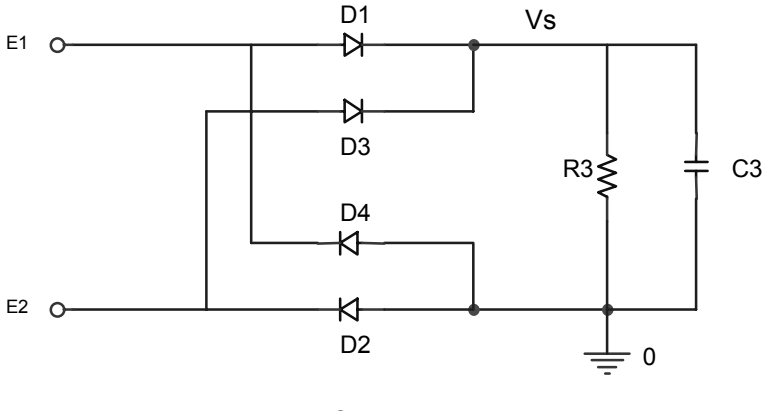


fig.9

#### TP 3 ALIMENTATION STABILISEE

Une alimentation stabilisée est construite autour d'une diode Zéner

#### 3.1 Caractéristique Courant - Tension d'une diode Zéner

La diode est caractérisée par une tension Zéner Vz, une puissance dissipée Pmax à ne pas dépasser et un courant ld minimum (Idmin) assurant la stabilisation à la tension Vz.

Elle possède la propriété d'avoir deux seuils de conduction :

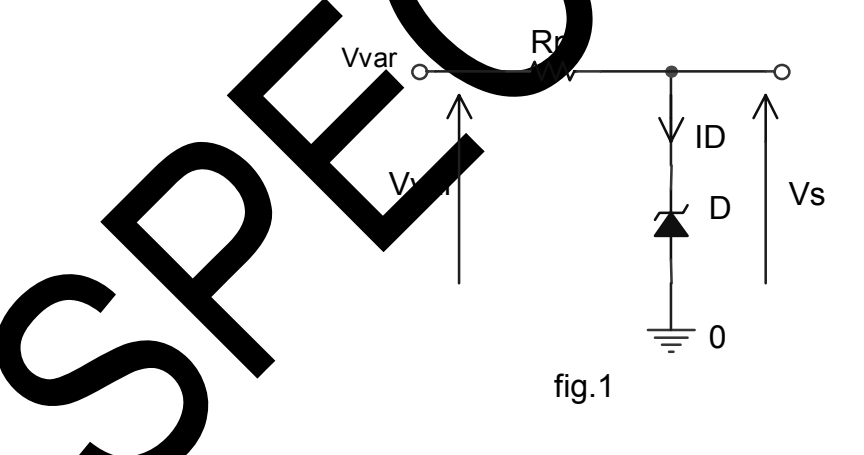
un seuil de diode (entre 0,7V et 1V dans le sens direct).

un seuil de conduction de plusieurs Volts dans le sens "Zu en la travel ant la Zen.".

Posons Pz =Vz.ld la puissance dissipée par la diot. Zéne Le courant ld doit répondre aux **critères** suivages :

⇔ sans la charge : Id.Vz ≤ Pzmax ;⇔ avec la charge : Id ≥ Idmin.

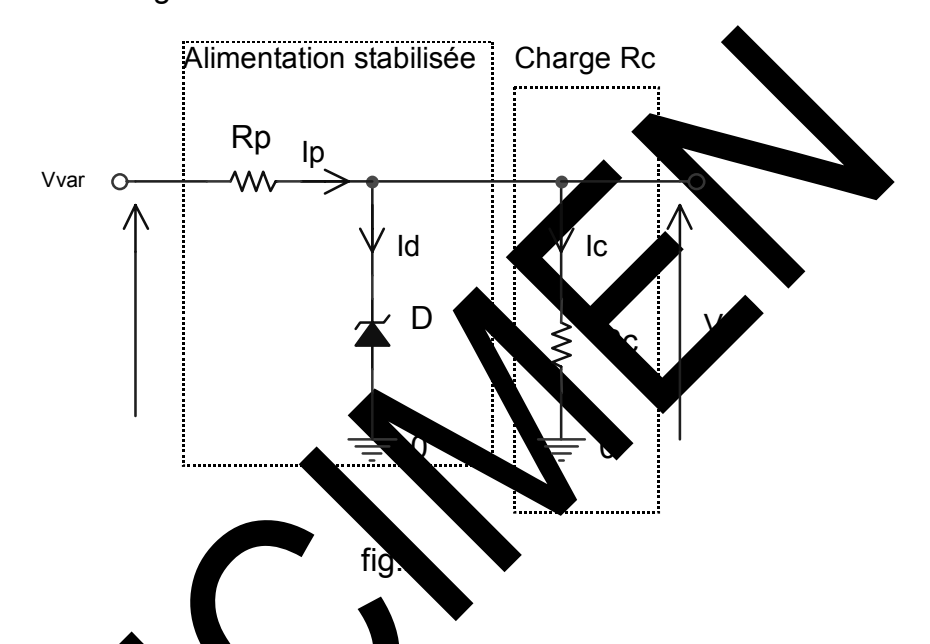
Une tension variable +**Vvar** est applicée au bonn de l'ensemble Rp et D. Le relevé de cette caractéristique est fair à pair du schéma figure 7. Ce relevé correspond à une node de tension Vz 5V. Le signe – devant ld est dût la simulation.



#### 3.2 ALIMENTATION STABILISEE AVEC DIODE ZENER SEULE

#### 3.2.1 Stabilisation par diode Zéner

Le schéma d'une alimentation stabilisée est donné fig.2 La charge est constituée par la résistance Rc La résistance Rp sert à polariser la diode Zéner D; elle est calculée avec les critères respectant les valeurs du courant ld citées plus haut. Vnr est la tension non régulée.



#### 3.3 ALIMENTATION SZABILIS E AVEC LODE ZENER ET TRANSISTOR

Les inconvénients najeurs de la la distation par diode Zéner seule sont les suivants :

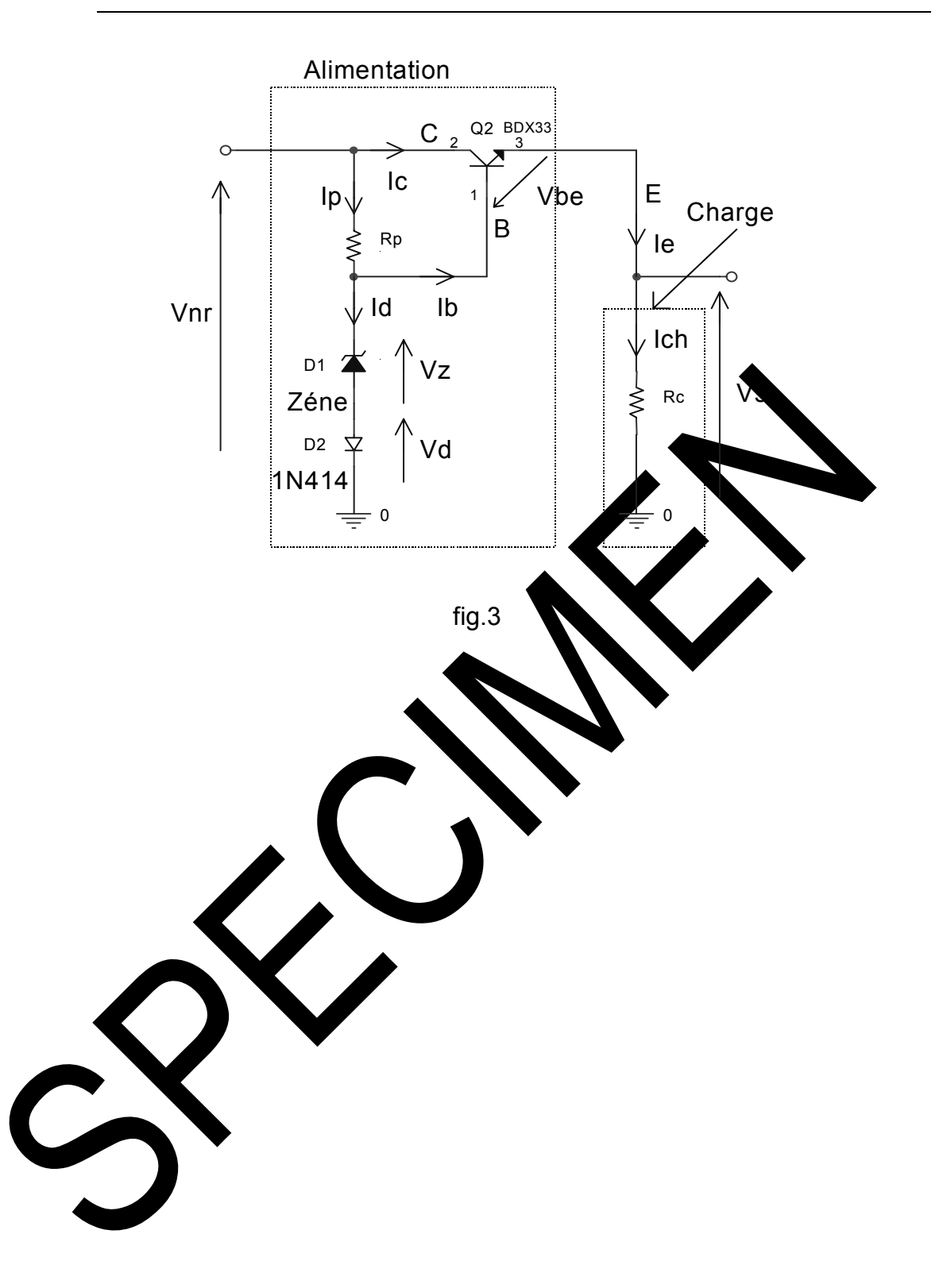
- la tensión aux principle la marge varie en fonction du courant débité dans alle-ci;
- 🖔 le courant dé né dans la charge est relativement faible.
- y bornes de la charge n'est pas réglable.

lour Leon raux 2 premiers inconvénients, il est proposé la stabilisation avec dioue Zéner la Transistor

## Schéma de principe

Il est donné par la figure 3. La somme tensions Vz+Vd est appliquée sur la base d'un transistor de puissance Q2.

Le gain en courant  $\beta$  du transistor permet de considérer le courant lb négligeable devant le courant collecteur lc ; ce qui permet de poser : le  $\cong$  lc  $\cong$  lch (courant dans la charge).



#### 3.4 TRAVAUX PRATIQUES

#### 3.4.1 Relevé de la caractéristique d'une diode Zéner

- 3.4.1.1 Réaliser le schéma de la figure 4 avec : Rp = R2
- 3.4.1.2 Relever la caractéristique ld = f(Vs) avec Vs = Vd sachant que :

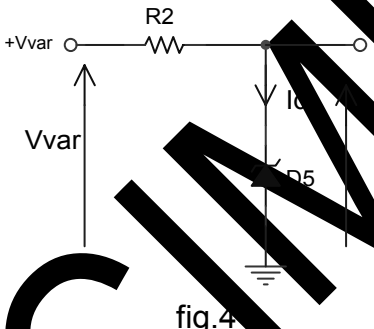
$$Id = \frac{+ Vvar - Vs}{R2}$$

3.4.1.3 Déterminer d'après ce graphique le seuil Vz de la diode.

Comparer ce seuil à la valeur nominale du constructeur (5,1V).

Alimentation stabilisée par diode Zéner seule.

La tension non régulée Vnr est fournie par le redress ment doubt alternance (TP 2 fig 8).



- 3.4.1.4 Réaliser le schéma le la figure cavec : Rc = R3, R2 puis R1, en calculant por chaque aleur de lc, la valeur de la résistance Rp corresportante afin de la carte les critères énoncés en 3.1. Pour cela, l'on pourre utilise na zone Adaptateurs (Z1 à Z4) afin de câbler la résistance R, calculée r ur chaque valeur de Rc.
- 3.4.1.5 L'écusion Vs au boules de Rc est-elle la même pour les différentes veurs par Rc ?

Pénonse

Non o la tension Vz aux bornes d'une diode Zéner varie en fonction de son courant de polaritation.

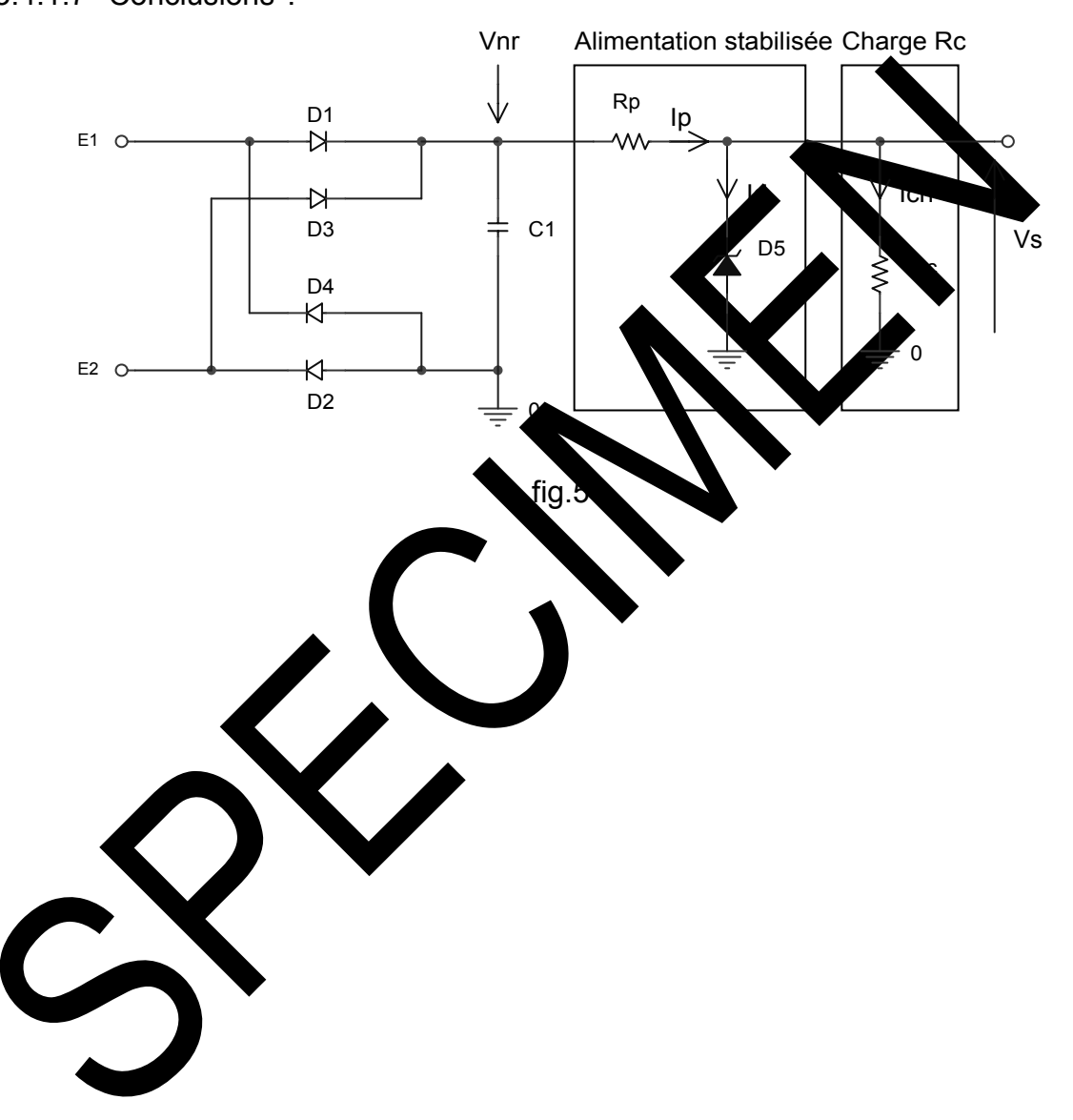
ourant de polarisation varie si Rc varie alors que Rp reste fixe.

#### 3.4.1.6 Inconvénients du montage?

#### Réponse

Variation de la tension stabilisée en fonction de la charge.

#### 3.4.1.7 Conclusions?



#### 3.4.2 Alimentation stabilisée par diode Zéner et transistor

#### 3.4.2.1 Réaliser le schéma figure 6.

Démontrer que la tension Vs est égale à Vz si l'on admet que Vd est égale à Vbe.

#### Réponse

En appliquant la loi des mailles, l'on obtient :

Vs+Vbe-Vz-Vd=0 soit

Vs = Vz + Vd - Vbe = Vz

#### Reprendre les questions du 3.4.1.

#### Réponse

Le courant de polarisation de la Zéner n'est pas fonction de Charge ; el effet, le courant dans la résistance est fourni par le tradistor de s'essance Q

#### Conclusions?

La tension de sortie varie très eu en faction de la that, tant que le transistor Q2 n'est pas saturé.

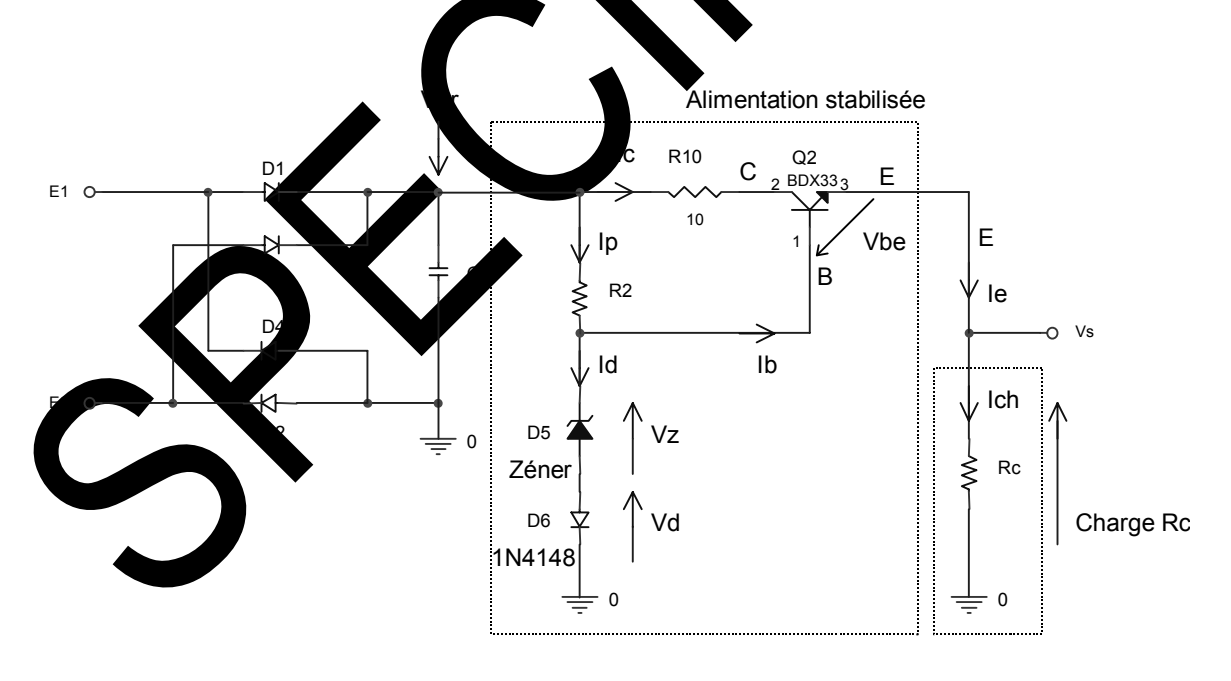
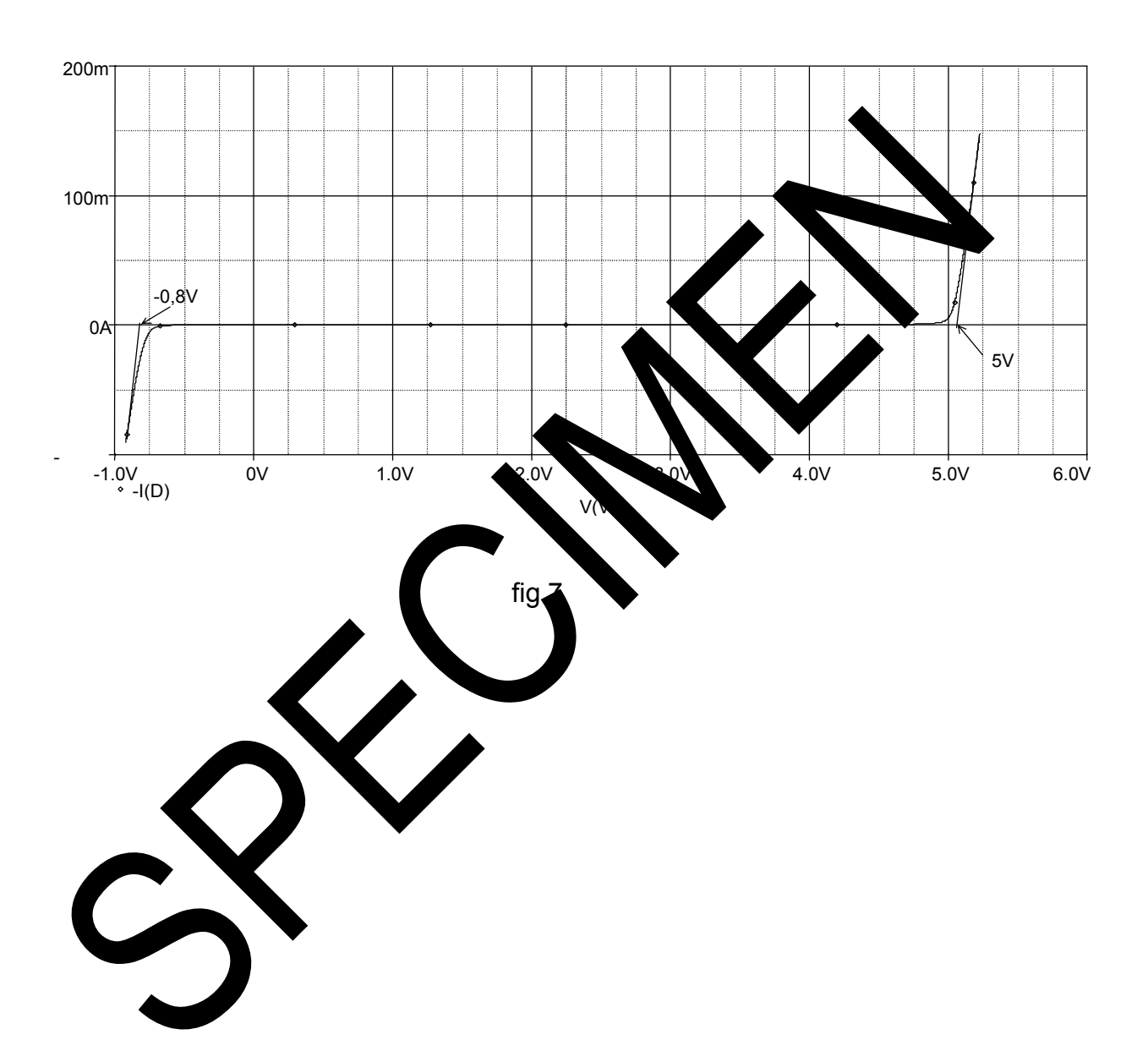
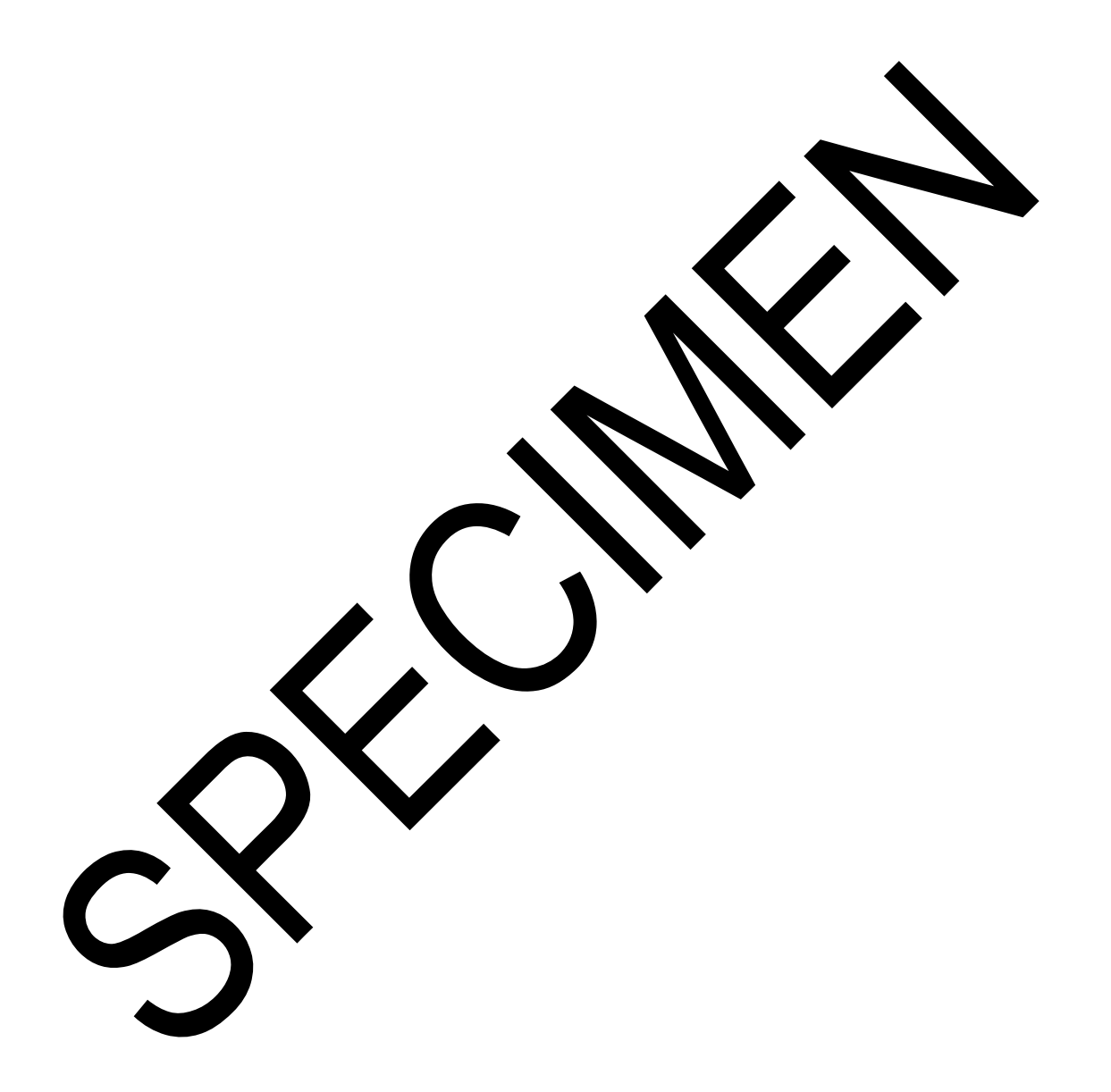
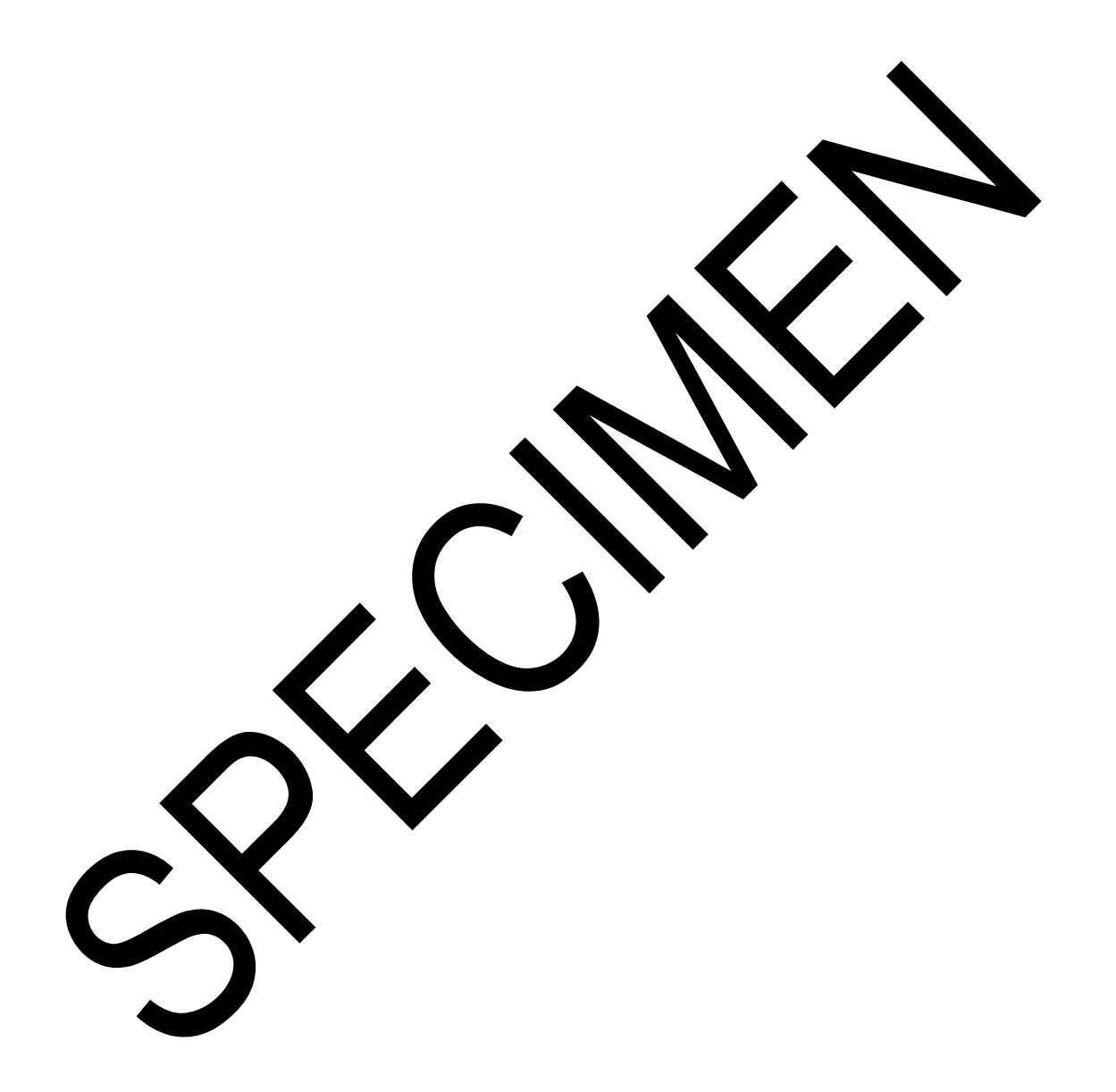


fig.6





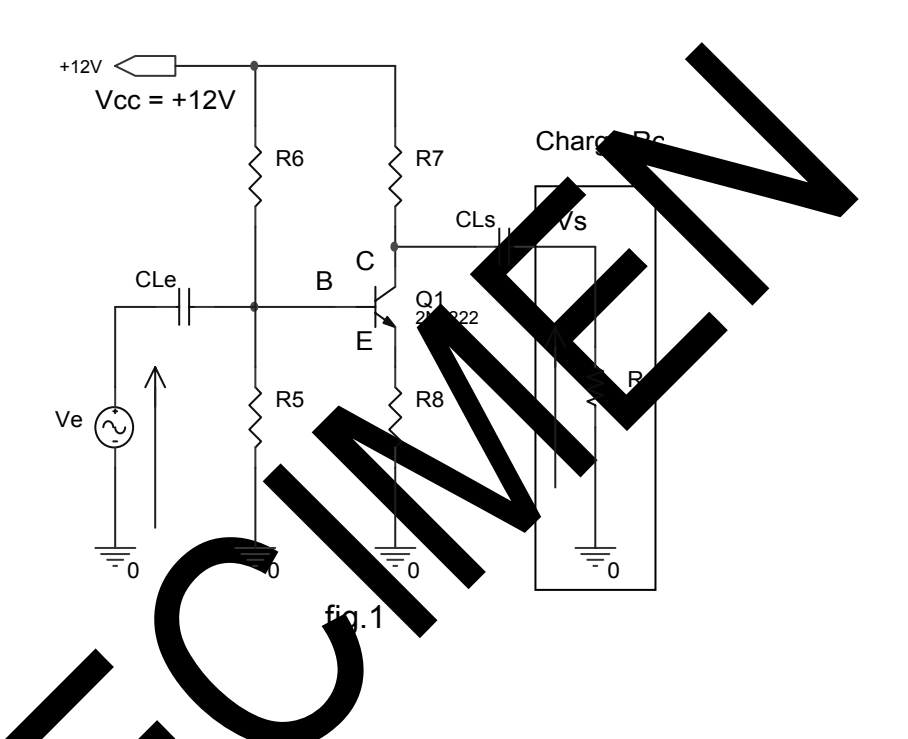


#### TP 4 AMPLIFICATEUR à TRANSISTOR

#### 4.1 AMPLIFICATEUR EMETTEUR COMMUN

Le schéma de principe est donné par la figure 1 ci-dessous.

L'émetteur est commun à l'entrée et à la sortie ; la charge est branchée entre le collecteur et la masse.

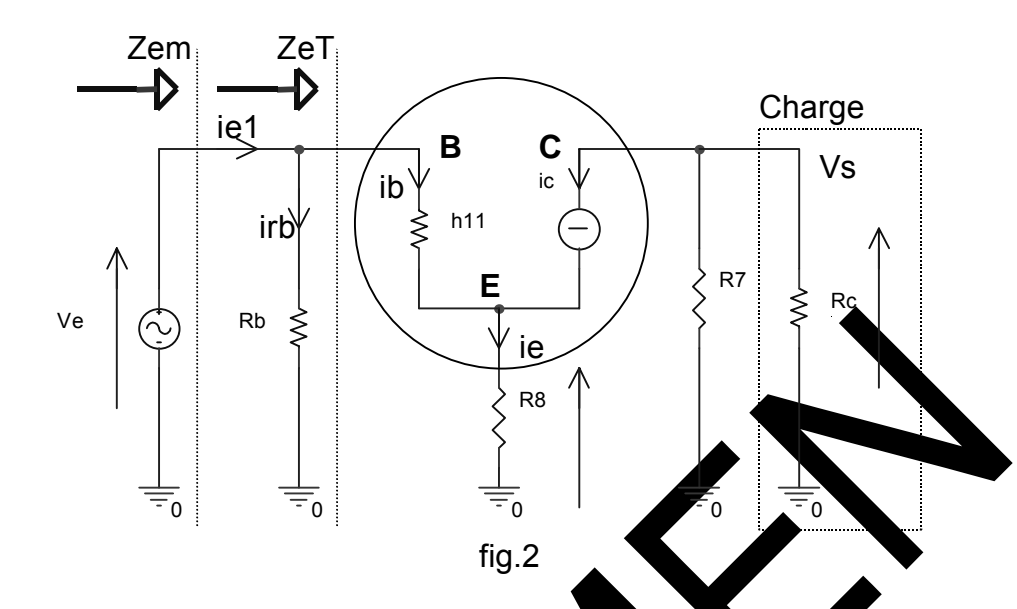


Le modèle équiva, et sir plifié du transistor en petits signaux et en alternatif est donné par la figure 2 dessous dans le cercle.

Le paramète h'h est a psidé a comme nul et le paramètre h22 comme infini. Il en dét que un rodèle a valent du montage fig.2 dont l'explication est la suivante.

, ie et ic sont a spectivement les courants base, émetteur et collecteur du

Zem est l'irrédunce d'entrée du montage (à droite de la flèche correspondante) et ZeT cene du transistor.



Posons Rb = R5 en parallèle avec R6. Vis-à-vis du courant alternatif, les borns et – de l'alix entation Vcc sont considérées comme étant en court ricuit.

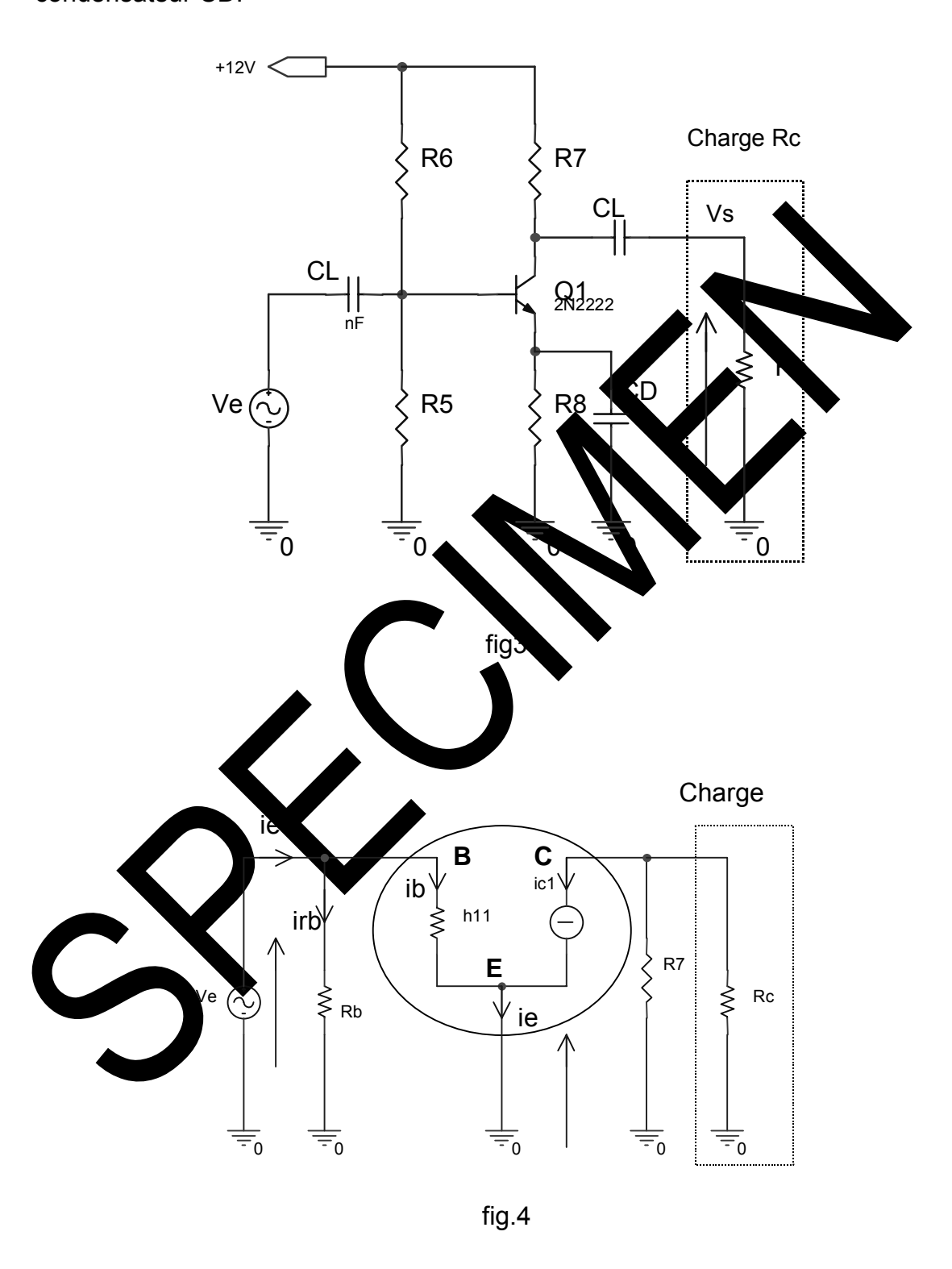
Donc la résistance collecteur trouvent el parallèle avec la résistance de charge Rc.

Les résistances de bate R5 R6 sont ét alement en parallèle. Les condensateurs de liaison d'entrée et de sortie.

Leur impédances du sidérée comme nulle dans la gamme de fréquences du signal d'entée, primetant ai si de ne pas modifier le point de polarisation ou point de apos du ransiste 21.

Cre sort à iso r l'étage d'amplificateur de la tension continue du générateur entrée

CLs permet déviter la mise en parallèle de Rc et R7 en continu. R8 set à et biliser les paramètres du transistor en fonction de la température. Le montage de la figure 3 et son équivalent en petits signaux figure 4 représente un amplificateur émetteur commun à résistance d'émetteur découplée par un condensateur CD.



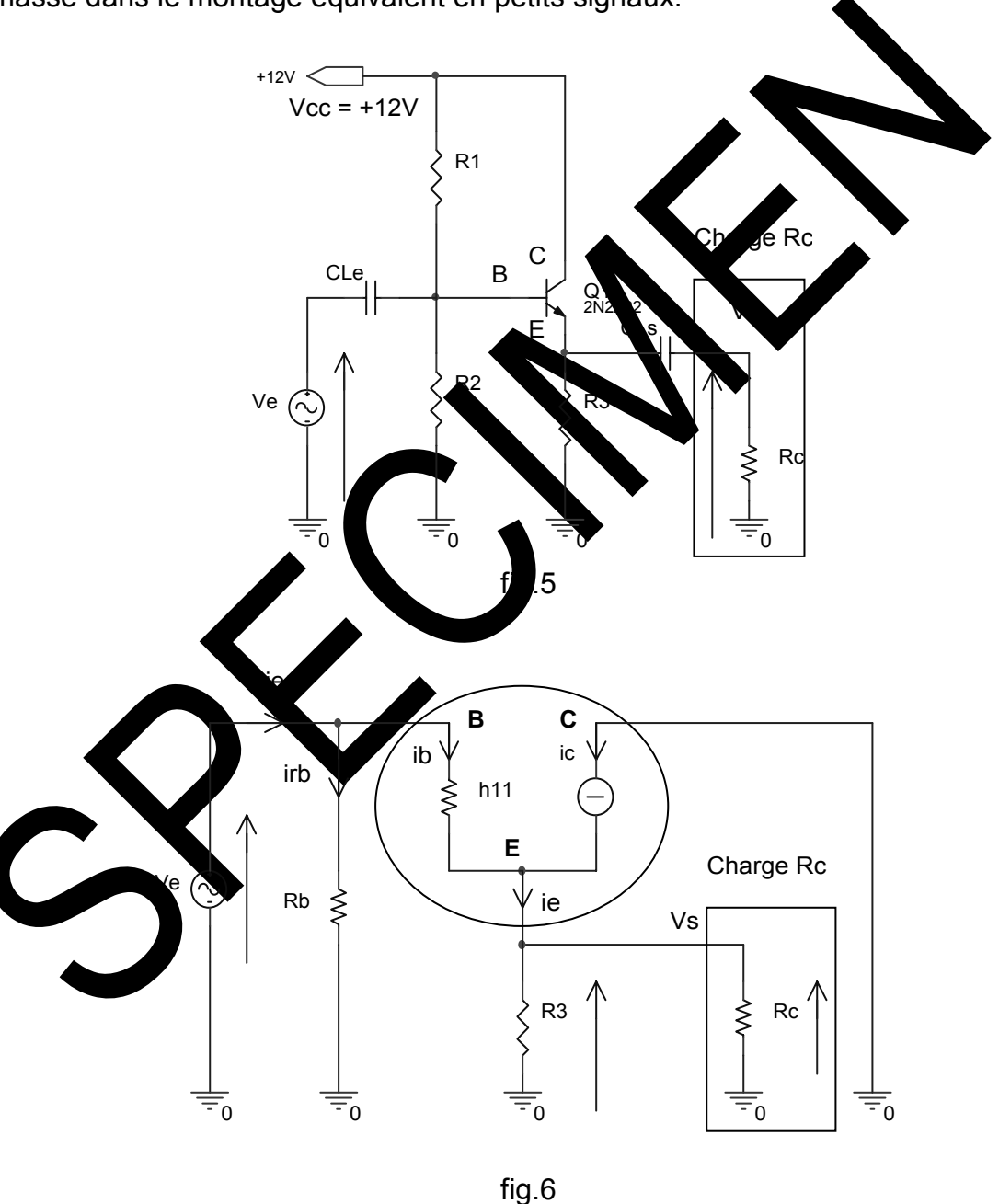
#### 4.2 AMPLIFICATEUR COLLECTEUR COMMUN

Le schéma de principe est donné par la figure 5 ci-dessous.

Le collecteur est commun à l'entrée et à la sortie. La charge est branchée sur l'émetteur.

Les mêmes remarques faites pour l'Emetteur Commun en petits signaux sont valables pour le montage Collecteur Commun.

Cela conduit au schéma de la figure 6 où le collecteur est relié directement à la masse dans le montage équivalent en petits signaux.



37

#### 4.3 TRAVAUX PRATIQUES

# 4.3.1 Amplificateur Emetteur Commun

Calcul théorique de l'amplification en tension

4.3.1.1 A partir du schéma de la figure 1, posons Ra = R7 en parallèle avec Rc. Calculer Ra.

$$\textit{R\'eponse}: Ra = \frac{R7Rc}{R7 + Rc}$$

4.3.1.2 Donner la relation ic =f(ib) dans un transistor en petits righa. Les hypothèses faites plus haut.

Réponse

Ic = h21ib

4.3.1.3 Calculer ie en fonction de ib et ic

Réponse

$$le = ib + ic = ib + h21ib = +h21)ib$$

4.3.1.4 Donner la reation entre le ib, i h11 et R8.

Répa

$$R8ie = 11i$$
  $R8(1+h21)ib = [h11+R8(1+h21)]ib.$ 

4 1.5 Expris or Vs en fonction de ic et Ra.

Répor

$$Vs$$
  $Raic = -h21Raib$ 

4.3.1.6 En déduire l'amplification en tension Av du montage et qu'elle peut se mettre sous la forme :

$$Av = \frac{Vs}{Ve} = -\frac{h21Ra}{h11 + (1+h21)R8}$$

Réponse

Le rapport Vs/Ve donne la relation ci-dessus.

4.3.1.7 Choisir : Cle = CLs = 100μF (zone d'adaptateur) ; relever l'amplification du montage pour quelques fréquences comprises entre 1 et 10kHz. Comparer les résultats à la valeur théorique.

# 4.3.2 Impédance d'entrée Zem de l'amplificateur

Par définition on a Zem =  $\frac{Ve}{ie1}$ .

Ve est câblée sur la sortie Fout :  $200mV_{c-c}$  ; donner àRc les valeurs de R1, puis R2 puis R3.

4.3.2.1 Calculer ie1 = irb + ib en fonction de Ve.

Réponse

ie1 = iRb+ib

$$iel = (\frac{Ve}{Rb} + \frac{Ve}{h11 + (1 + h21)R8})$$

4.3.2.2 En déduire Zem en fonction de 1, b11, h1 et 38

Réponse

$$\frac{1}{\text{Zem}} = \frac{\text{iel}}{\text{Ve}} = \frac{1}{\text{Rb}} + \frac{1}{\text{h}} + \frac{1}{(1+\text{h}21)\text{R8}} = \text{Zem} = \frac{\text{Rb}[\text{h}11 + (1+\text{h}21)\text{R8}]}{\text{Rb} + \text{h}11 + (1+\text{h}21)\text{R8}}$$

4.3.2.3 On place in parallé e avec Lo, un condensateur CD appelé condensateur de aécouplage de l'émetteur ; sa valeur est telle que son implature es considér e comme nulle dans la gamme de fréquences d'asignal les. Ont d'aduit au schéma des la figures 3 et 4. Expliquer surguoi à résista de R8 a-t-elle disparu du montage.

Réponse

188 se rouve en parallèle avec l'impédance du condensateur CD ; en haute fréquence, cette pédance égale à  $1/\text{jCD}\omega$  tend vers 0 et court-circuite R8.

4.3.2.4 Démontrer que l'amplification en tension est maintenant donnée par la relation :

$$Av = \frac{Vs}{Ve} = -\frac{h21Ra}{h11}$$

Réponse

En reprenant l'expression de Av en faisant R8=0, on trouve la relation ci-dessus de Av.

# 4.3.2.5 Quelle est l'influence de CD sur Av?

Réponse

Le condensateur CD a pour effet d'augmenter l'amplification en tension du montage. Utiliser  $CD \ge 2,2\mu F$ .

4.3.2.6 Avec les mêmes valeurs pour qu'au 4.3.1.7, relever Av. Compt er à la valeur calculée.

# 4.3.3 Amplificateur Collecteur Commun

- 4.3.3.1 Réaliser le montage de la figure 5 avec : R1 = R6, R2 = R5 et R3 = R8. Posons Re = R8 en parallèle avec Rc.
- 4.3.3.2 Calculer Re

Réponse

$$Re = \frac{R8Rc}{R8 + Rc}$$

4.3.3.3 A partir de la figure 6, calculer l'amplification et montrer qu'elle peut se mettre sous la forme :

$$Av = \frac{Vs}{Ve} = \frac{(1+h21)Re}{h11+(1+h21)Re}$$

Réponse

Ve = h11ib +(1+h21)Reib (voir le montage émette: commun

Ve = (h11+(1+h21)Re)ib

Vs = (1+h21)Reib.

En faisant le rapport des Vs et Ve, on rouve l'extress q ci-à sus.

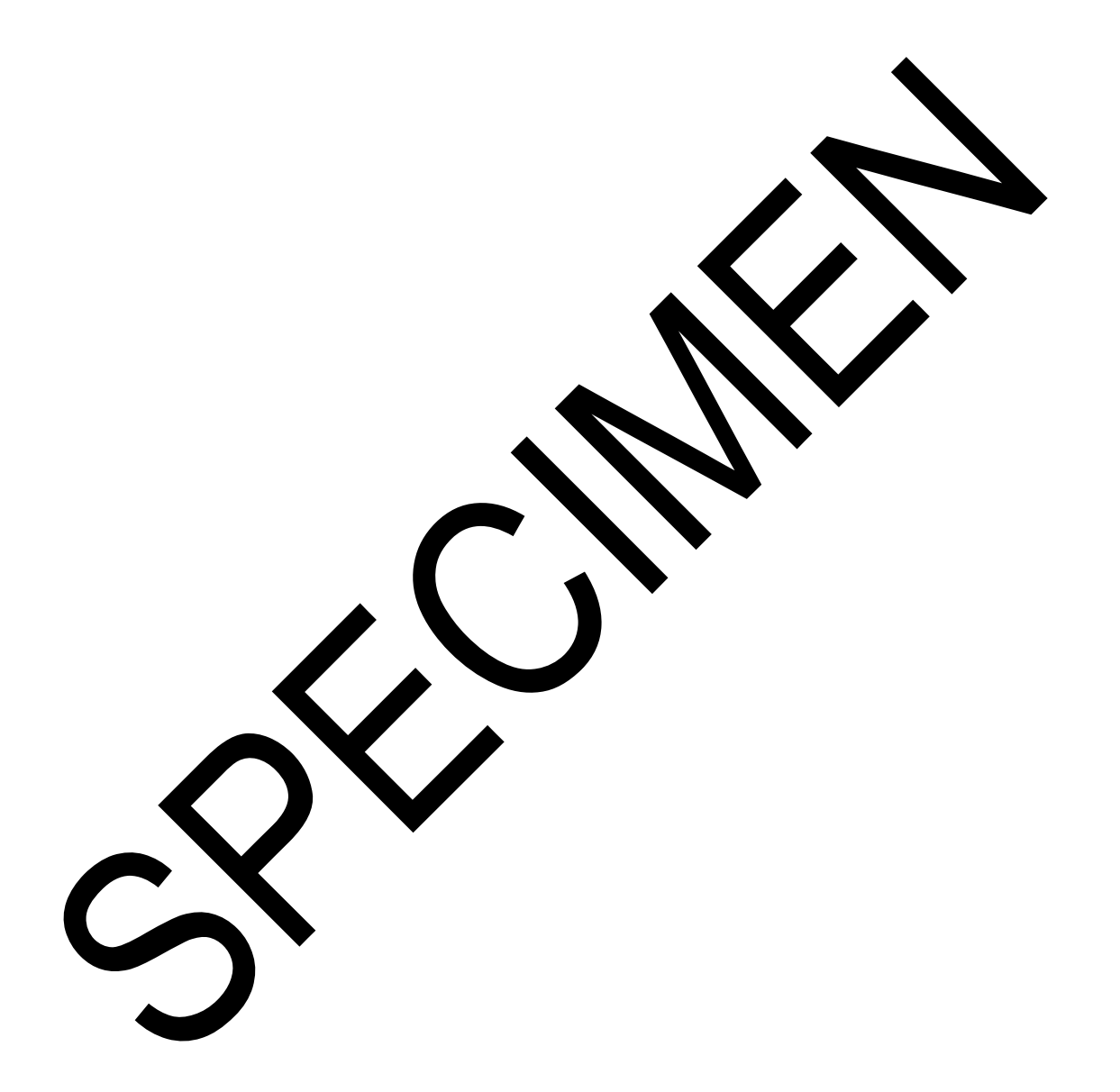
4.3.3.4 Si h21 >> 1 et h11 << h21Re contre sue Acest voisin de 1. Le montage s'appelle alors Emette veui.

Réponse

Avec les con l'ons énonce l'amplification Av est équivalente à :

$$Av = \frac{Vs}{V_0} = \frac{(1+h2)^2 Re}{(21)Re} =$$

4.3.3.5 More of estion qu'au 4.3.1.7.



# TP 5 AMPLIFICATEUR OPERATIONNEL : DOMAINE CONTINU

#### 5.1 RAPPEL QUELQUES DEFINITIONS

L'Amplificateur OPérationnel - **AOP** - ou Amplificateur Linéaire Intégré - **ALI** - est constitué d'une association de transistors en cascades avec un étage amplificateur différentiel en entrée.

Le symbole est donné ci-dessous figure 1 et le modèle équivalent en première approximation est donné figure 2.a et fig.2.b

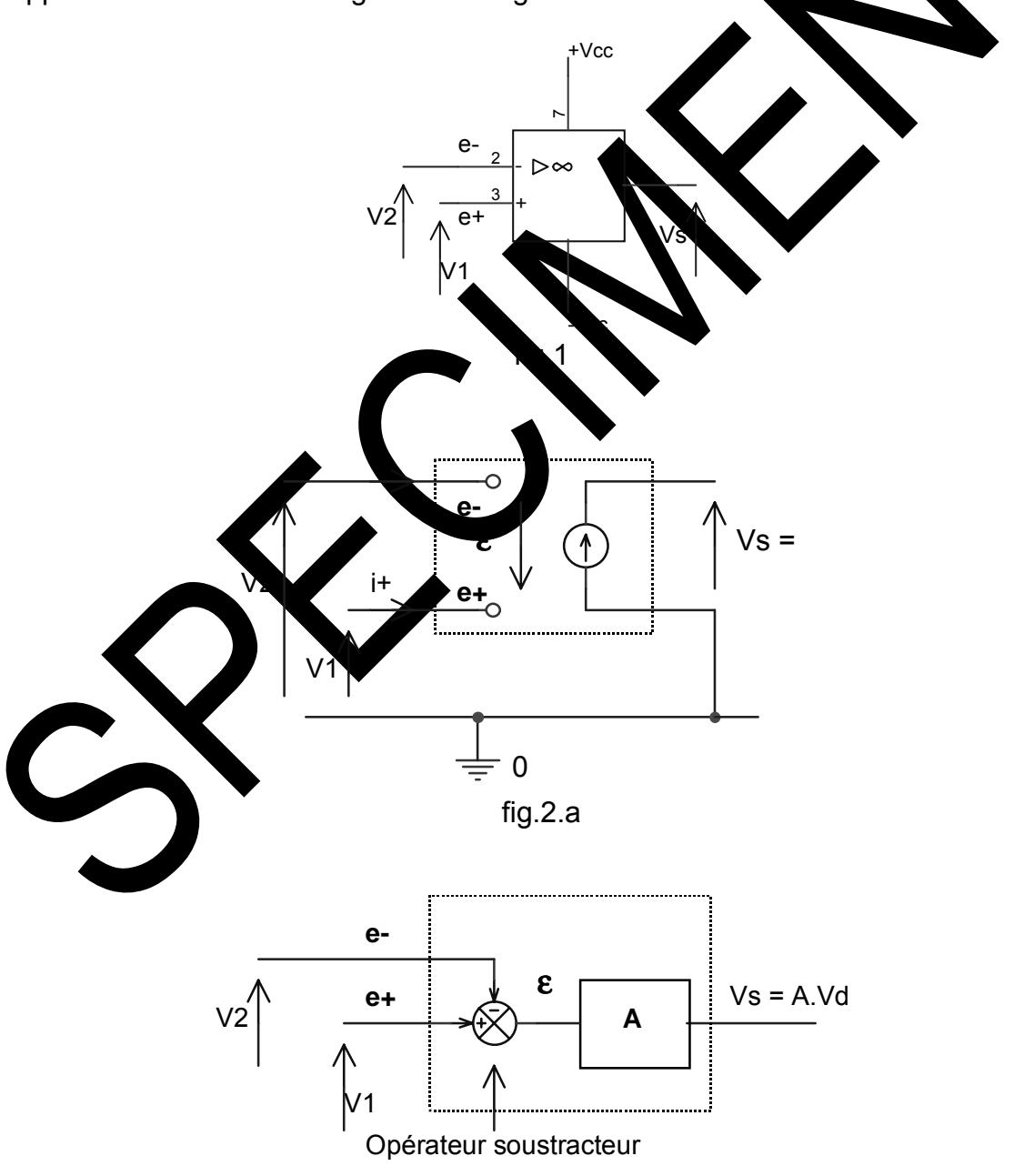


fig.2.b

Dans toute la suite l'AOP sera considéré comme parfait soit :

🔖 **e+** est appelé entrée non inverseuse

🔖 **e-** est appelé entrée inverseuse

 $\mathcal{E}$  = e+ - e- = V1-V2 est la tension différentielle.

 $\$  **Vs** tension de sortie avec Vs = A $\$ 

♣ A est l'amplification en boucle ouverte de l'AOP selon le modèle de la figure
 2.a ou 2.b. L'AOP est utilisé seul

♦ En continu, A = A₀ = infini pour un AOP parfait.

♦ les courants d'entrée i+ et i- sont supposés nuls.

Pour un AOP réel, l'expression complète de A est :

$$A = \frac{A_0}{(1+j\frac{\omega}{\omega_1})(1+j\frac{\omega}{\omega_2})}$$

où  $\omega_1$  et  $\omega_2$  sont deux pulsations de coupure pro  $\alpha_1$  à l'A. P. Si  $\omega_1$  et  $\omega_2$  sont très supérieures à la pubation la l'us autè lu signal d'entrée, alors le gain en boucle ouverte est équiv (a,b) à  $A_0$ 

#### 5.2 AMPLIFICATEUR SUIVEUR

# 5.2.1 Schéma de principe fig

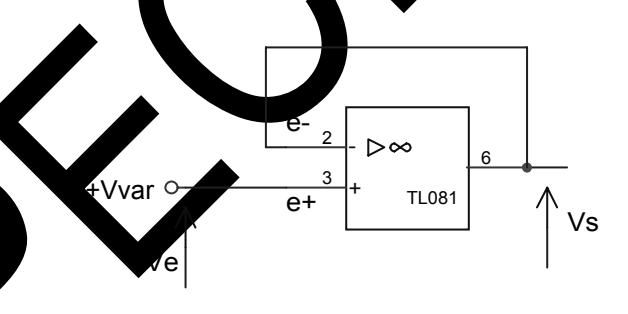


fig.3

#### 5.2.2 Galcul de s

L'AOP étan parfait, nous avons :

 $e + = e^{-}$ 

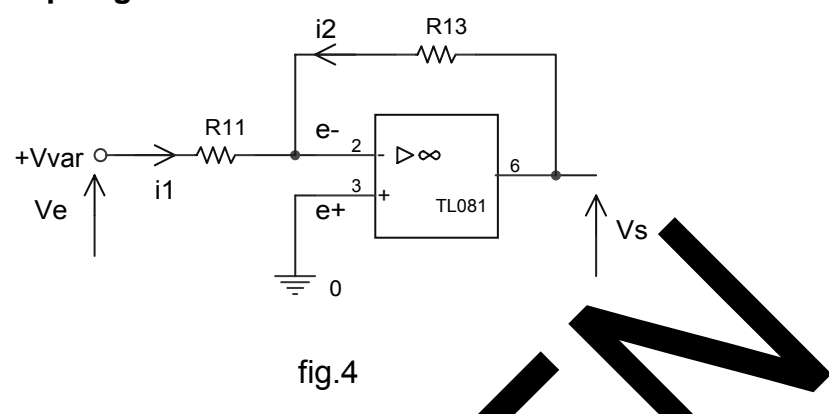
e+ = Ve

e-=Vs

Donc Vs = Ve

#### 5.3 AMPLIFICATEUR INVERSEUR

# 5.3.1 Schéma de principe figure 4



# 5.3.2 Calcul de l'amplification en tension Av

En utilisant la loi des nœuds, le théorèles de su erpositie rou de Millman, démontrer que l'on a :

$$Av = \frac{R13}{V_{e}}$$

Réponse

En effet, e+=e-=0.

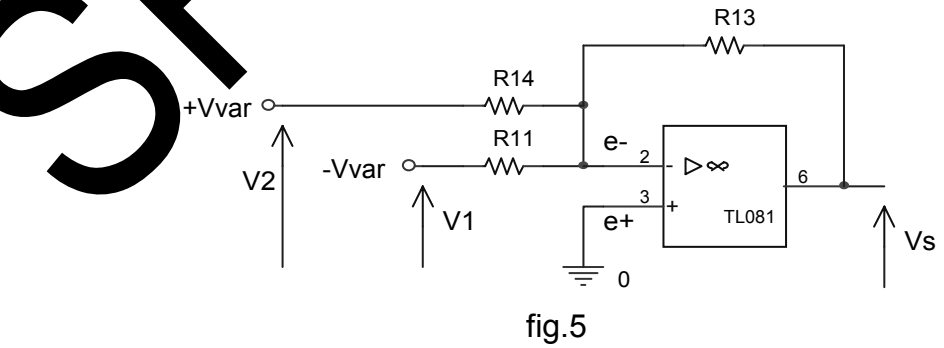
D'après le théorème de uperposition, on a

$$e - = \frac{R13Ve + R11Vs}{R11 \times 13}$$

$$R11Vs + I \cdot 3Ve = 0 \quad d'où la relation : \frac{Vs}{Ve} = -\frac{R13}{R11}$$

# 5.4 AMPLIF ATEUR SOLMA ZUR INVERSEUR

# 5.4.1 Schém. le rincipe fig.5



Calcul de la tension Vs :

En utilisant le théorème de superposition ou de Millman, démontrer que l'on a :

$$Vs = -(\frac{R13}{R11}V1 + \frac{R13}{R14}V2)$$

La somme dans la parenthèse donne le nom de sommateur et le signe – celui d'inverseur à ce montage.

Réponse

En appliquant le théorème de Millman sur l'entrée e- on a :

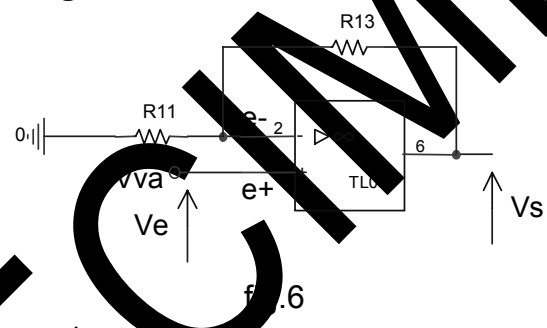
$$e^{-} = \frac{\frac{V1}{R11} + \frac{V2}{R14} + \frac{Vs}{R13}}{\frac{1}{R11} + \frac{1}{R14} + \frac{1}{R13}} = 0 ;$$

ce la donne : 
$$\frac{V1}{R11} + \frac{V2}{R14} + \frac{Vs}{R13} = 0 \Rightarrow \frac{Vs}{R13} = -(\frac{V1}{R11} + \frac{V2}{R11} + \frac{V2}{R11$$

d'où la relation : 
$$Vs = -(\frac{R13}{R1}V1 + \frac{R13}{R14}V2)$$

# 5.5 AMPLIFICATEUR NON INVERSEUR

# 5.5.1 Schéma de principe figure 6



# 5.5.2 Calcul de l'an lificat n en tension Av

de suproosition ou de Millman, démontrer que l'on a : En utilisant

$$Av = \frac{Vs}{Ve} = 1 + \frac{R13}{R11}$$

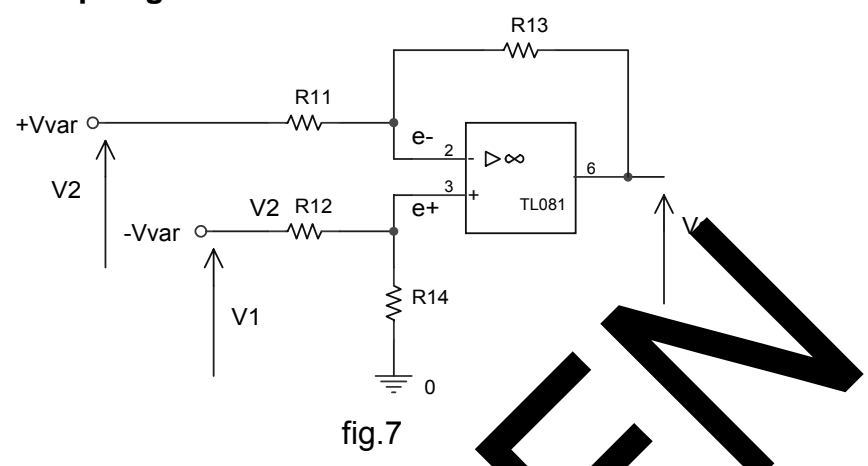
or 
$$e+=Ve$$

or e+ = Ve et e- = 
$$\frac{R11}{R11 + R13}$$
 Vs d'où la relation

$$Ve = \frac{R11}{R11 + R13} Vs \Rightarrow \frac{Vs}{Ve} = \frac{R11 + R13}{R11} = 1 + \frac{R13}{R11}$$

#### 5.6 AMPLIFICATEUR SOUSTRACTEUR

# 5.6.1 Schéma de principe figure 7



#### 5.6.2 Calcul de la tension Vs

Réponse

e + = e -

En utilisant le théorème de superposition ou de l'hanan san l'écurée e- et la règle du diviseur de tension sur l'entrée e+, démontrer une un a.

$$Vs = \frac{R144 R11 R15}{R12 + R14 R11} VA \frac{R13}{R11} V2$$

$$e = \frac{R12V2 + R11}{R11} e = \frac{R12}{R11} V2$$

De ces relaix s or l'expression de Vs ci-dessus.

On south are avoid s = k(1/2) pour réaliser la fonction soustracteur.

Trouver la slation entre les 4 résistances R11, R12, R13 et R14 ; en déduire l'expresion réacteur k.

ppliquer cette pondition en câblant les résistances trouvées et vérifier que l'on tient (V1-V2).

Reponse 
$$Vs = k(V1-V2) \Rightarrow \frac{R14}{R12+R14} = \frac{R11+R13}{R11} = \frac{R13}{R11}$$

ce qui donne après développement la relation :

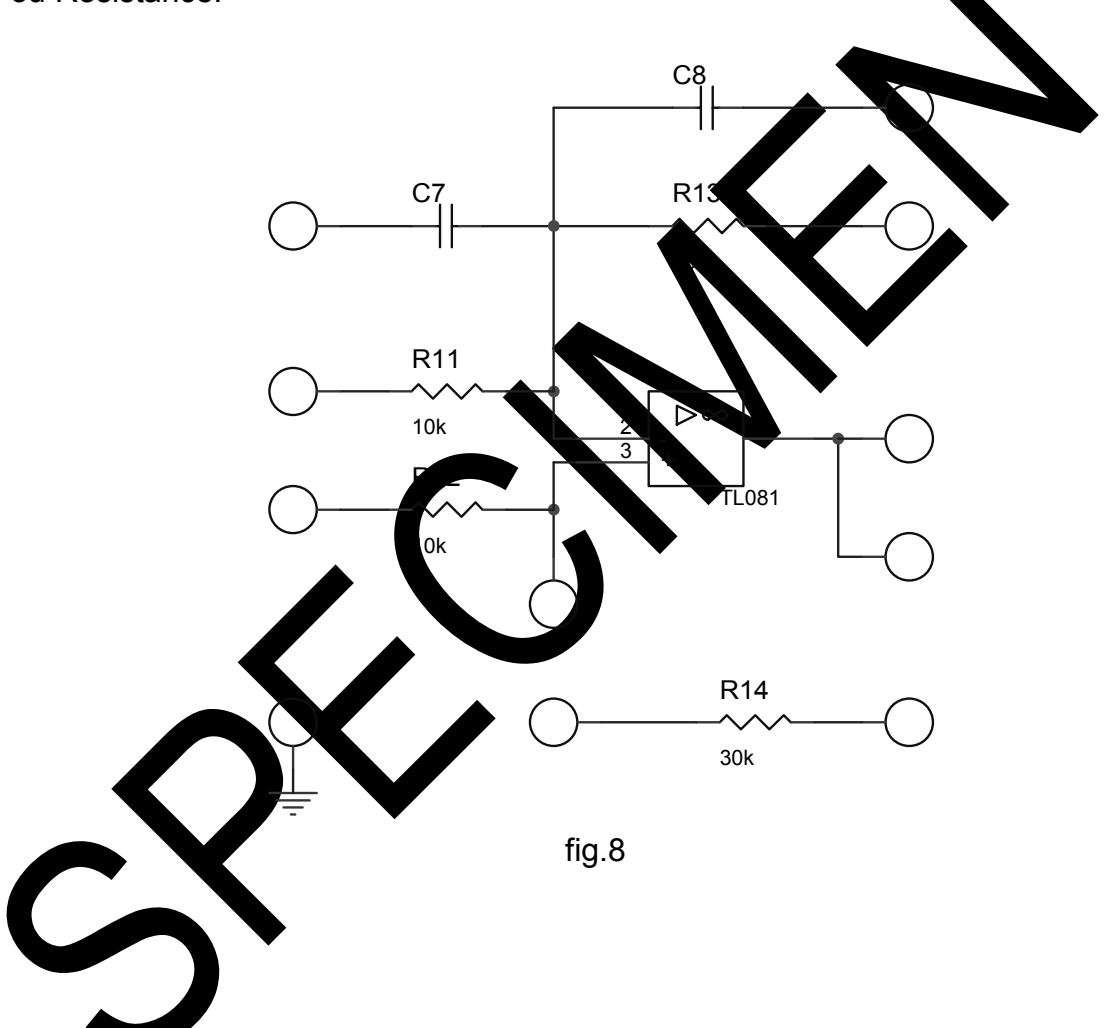
$$\frac{R14}{R12} = \frac{R13}{R11}$$

#### 5.7 TRAVAUX PRATIQUES

# Remarque

Dans toute la suite de ce TP 5 les tensions V1 et V2 seront câblées indifféremment aux bornes +Vvar et –Vvar du module EAD110.

Tous les schémas seront câblés à partir de la figure 8 ci-dessous. Les résistances additionnelles seront câblées à partir des la zones Adaptateurs ou Résistance.



# 5.7.1 Amplificateur suiveur

- 5.7.1.1 Câbler le schéma de la figure 3.
- 5.7.1.2 Donner plusieurs valeurs à Ve et vérifier que l'on a bien Vs = Ve.

#### 5.7.2 Amplificateur inverseur

- 5.7.2.1 Câbler le schéma de la figure 4.
- 5.7.2.2 Avec les valeurs indiquées pour les résistances utilisées, relever la courbe Vs = f(Ve) et vérifier la formule démontrée au paragraphe 5.3.2.

#### 5.7.3 Amplificateur sommateur inverseur

- 5.7.3.1 Câbler le schéma de la figure 5.
- 5.7.3.2 Avec les valeurs indiquées sur la plaquette pour les pour guelques valeurs de V1 et V2, vérifier la elation trouvée et ......4.2.
- 5.7.3.3 Remplacer R14 par une résistance égale à 11 et vérifier le l'on a :

$$Vs = -\frac{R13}{R11}(V1-2)$$

# 5.7.4 Amplificateur non inverseur

- 5.7.4.1 Câbler le schéma de la figure
- 5.7.4.2 Avec les valeurs indicates sur la laque te pour les résistances utilisées, et pour quelques valeurs de V1 et la vérifier la relation trouvée en

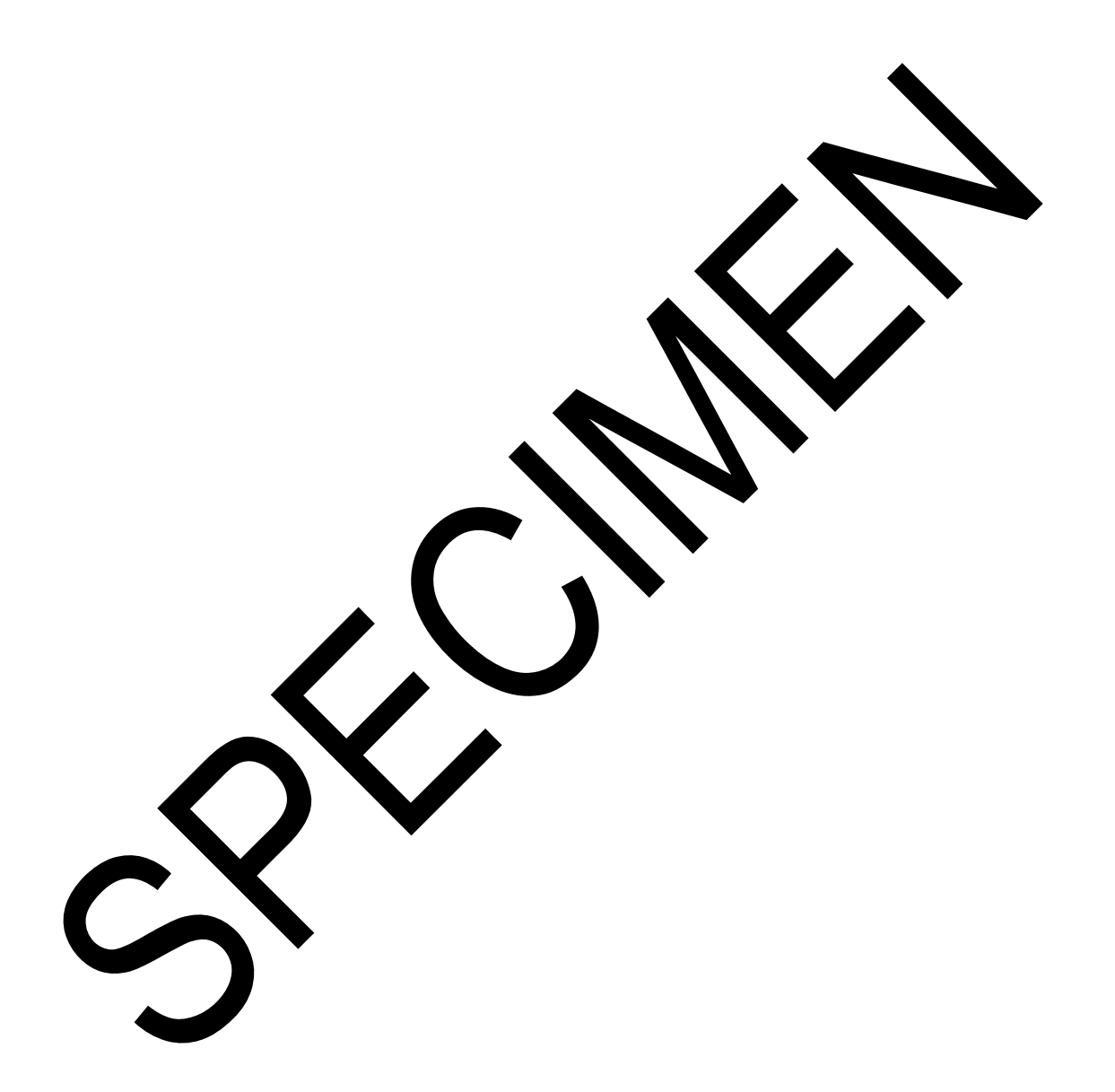
$$5.5.2: \frac{\text{Vs}}{\text{Ve}} = 1 + \frac{\text{R13}}{\text{R11}}$$

# 5.7.5 Amplificateur oustra eur

- 5.7.5.1 Caller le chéh de figure 7.
- 5.7.5.2 A sc les aleurs in iquées sur la plaquette pour les résistances utilisées, et parquelques valeur de V1 et V2, vérifier la relation trouvée en 5.6.2 :

$$f(V) = \frac{R14}{R12 + R14} \frac{R11 + R13}{R11} V1 - \frac{R13}{R11} V2$$

5.7.5.4 Capler les résistances satisfaisant à la relation Vs =k(V1-V2) trouvée en 5.6.2 et relever la courbe Vs =k(V1-V2) en indiquant la valeur de k.



# TP 6 AMPLIFICATEUR OPERATIONNEL : DOMAINE ALTERNATIF

# Remarque

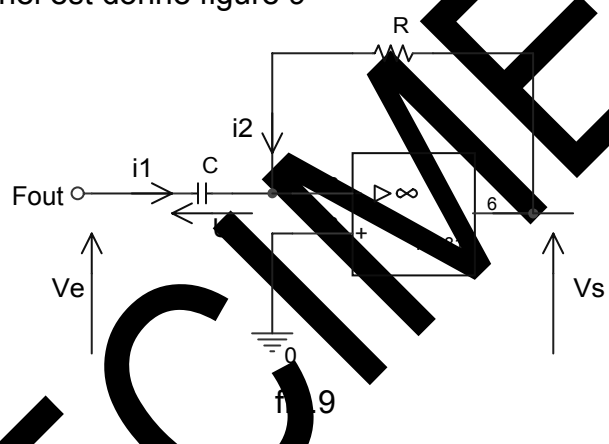
Tous les schémas étudiés dans le domaine continu sont bien évidemment valables dans le domaine alternatif.

Le signal d'entrée dans toute la suite de ce TP est délivré par la sortie **Fout** de l'oscillateur.

#### **6.1 DERIVATEUR**

#### 6.1.1 Schéma fonctionnel

Le schéma fonctionnel est donné figure 9



# 6.1.2 Expression de la ten on de sortie Vs(t)

L'AOP étant resides comme d'affait, appliquer la loi des nœuds en e- et démontre que l'o a :

$$Vs(t) = -RC \frac{dVe(t)}{dt}$$
$$= -\tau \frac{dVe(t)}{dt}$$
avec  $\tau = RC$ 

#### Réponse

En effet le courant dans l'entrée – de l'AOP étant nul, et e+=e-=0 on a :

$$i1 + i2 = 0$$

$$i1 = \frac{CdUc}{dt}$$
;  $Uc = Ve$ ;  $i2 = \frac{Vs}{R}$ ; soit:  $C\frac{dVe}{dt} + \frac{Vs}{R} = 0$ 

$$\textit{Cela donne}: \ Vs = -RC \frac{dVe}{dt}$$

#### 6.1.3 Dérivateur réel

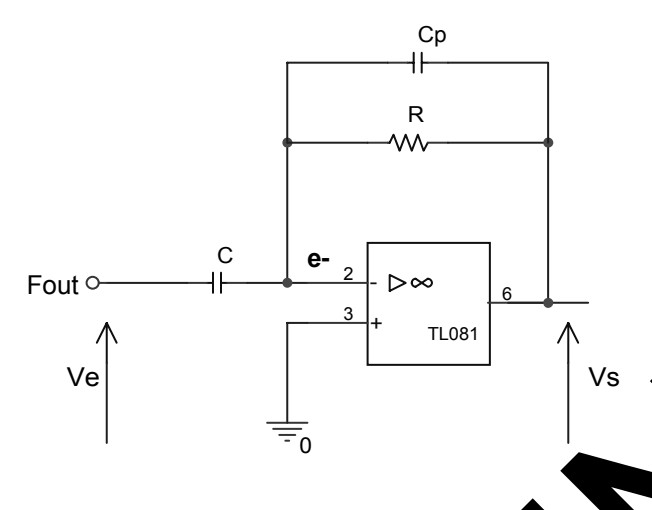


fig.10

Expliquer la présence du condensateur Cp ajoutés

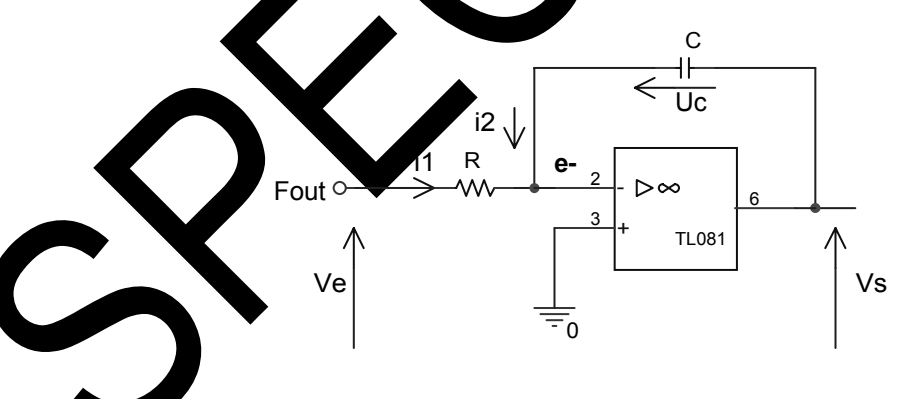
# Réponse

Le condensateur Cp sert à limiter la brade passa le la l'AOP cont la fonction de transfert en boucle ouverte est du seu la seré (vou débu du TP 5).

# **6.2 INTEGRATEUR**

# 6.2.1 Schéma fonctionnel

Le schéma fonctionn est de né figure 1



52

fig.11

# 6.2.2 Expression de la tension de sortie Vs(t).

L'AOP étant considéré comme parfait, appliquer la loi des nœuds en e- et démontrer que l'on a :

$$Vs(t) = -\frac{1}{RC} \int Ve(t) dt + V_0$$

avec 
$$\tau = RC$$

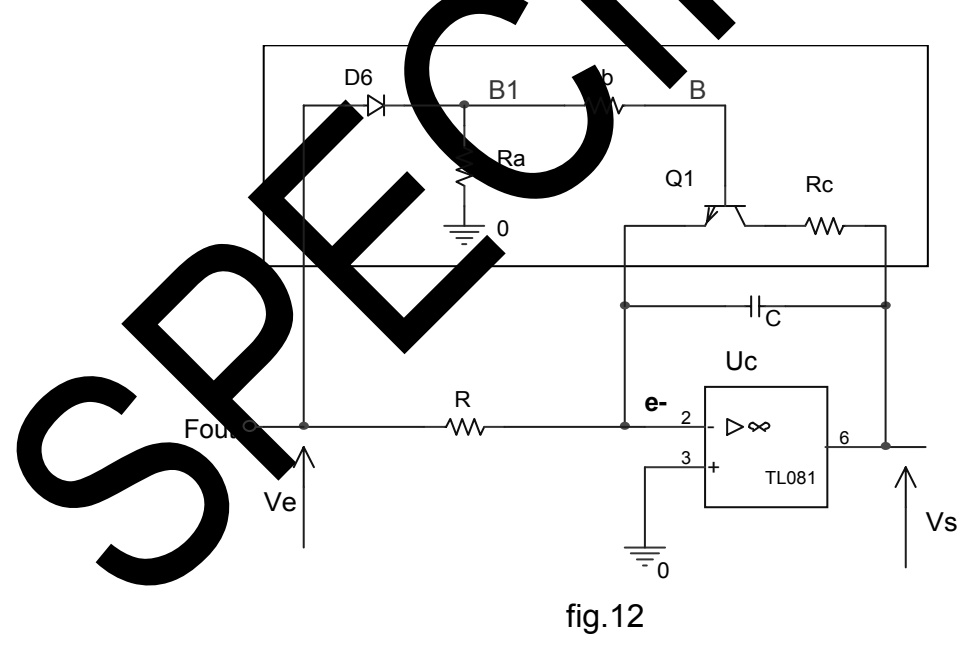
et V<sub>0</sub> la constante d'intégration.

Réponse

Comme pour le dérivateur, le courant dans l'entrée – de l'AOP étant nt et e+ = e- = 0 entraîne :

$$\begin{split} &i1+i2=0\\ &i1=\frac{Ve}{R}\;;\qquad i2=-\frac{CdUc}{dt}\;;\quad Uc=-Vs\;;\quad soil C\frac{dVs}{dt}+\frac{V}{R}=0\\ &Cela\;entra \hat{\imath} ne:C\frac{dVs}{dt}=-\frac{Ve}{R}\;\;\Rightarrow\;dVs=-\frac{1}{RC}\int Vedt +\frac{1}{RC}\int Vedt +\frac{1}{$$

# 6.2.3 Intégrateur réel



Expliquer le rôle du montage dans la zone en pointillé.

#### Réponse

La zone dans le pointillé sert à décharger le condensateur C en début de chaque cycle de charge.

En effet, sur le niveau positif de Ve, le transistor Q1 se sature pour décharger C.

Sur le niveau négatif de Ve, Q1 se bloque et permet à C de se charger.

#### **6.3 TRAVAUX PRATIQUES**

# 6.3.1 Dérivateur sans le condensateur Cp en parallèle avec R

Réaliser le schéma de la figure 9 avec les valeurs suivantes :

$$R = R11 = 10k\Omega$$
  $C = C8 = 100nF$ .

Ces composants sont câblés autour de U1.

On applique depuis la sortie Fout une signal triangulaire Ve(t) cara térisé par les données suivantes :

période  $\cong 2ms$ ; amplitude positive +2,5V; amplitude négative -2,5V.

6.3.1.1 Quelle forme doit avoir le signal de sort ( (t)

Réponse

Le signal Ve(t) durant sa montée ou sa les ante et de la forme at. Sa dérivée est donc une constante égale à a. Ceci de l'être v. Yier a sa sa quéstions ci-dessous.

6.3.1.2 Calculer les pentes 1 V/ms du signal Ve(t)

Réponse

Soit V1 la résion crêté positive, de la tension crête négative et T la période du signale d'entrée. La cente de signal d'entrée est obtenue par la relation :

a 
$$T^{(V_1, V_2)}$$

6 3.1.3 Connaissant  $\tau$  = RC , calculer l'amplitude de Vs(t) durant les pentes ves régatives de Ve(t).

Jinse

D'après la relation établie dans la partie théorique, on a :

$$Vs(t) = -RC \frac{dVe(t)}{dt}$$
$$= -\tau \frac{dVe(t)}{dt}$$

avec 
$$\tau = RC$$

On aura donc  $Vs(t) = a\tau$ .

- 6.3.1.4 Observer les oscillations sur les fronts montants et descendants de Vs(t). Proposer une explication.
- 6.3.1.5 Conclusion?

#### 6.3.2 Dérivateur avec le condensateur Cp en parallèle avec R

On donne C = 1nF.

- 6.3.2.1 Réaliser le schéma de la figure 10. (C sera câblé dans la zone adaptateur)
- 6.3.2.2 Dans les mêmes conditions qu'en 6.3.2, constater l'absence des oscillations.
- 6.3.2.3 Conclusion?

#### 6.3.3 Intégrateur

Réaliser le schéma de la figure 11.

On applique depuis la sortie Fout, une signal re a ngula se Ve(t) aractérisé ainsi:

période 60ms;

amplitude positive +3V de durée 0ms amplitude négative -2V de durée 3 ms

Les éléments R et C ont por valeur :

 $R = 100k\Omega$  C = 100nF.

L'intégrateur étant verseur on va

 $Ve(t) > 0 \rightarrow upe per equative our Vs(t)$ 

Ve(t) < 0 and enterositive our Vs(t).

6.3.3.1 Qual planomène constatez-vous?

TEDE SE

La some de l'intégrateur tend vers +Vsat ou –Vsat selon que le signal d'entrée possède un « Jet positif ou négatif.

En effet, au début de chaque cycle d'intégration, il y a accumulation due charge de la constante d'intégration.

# 6.3.4 Intégrateur : annulation de la constante d'intégration

La constante d'intégration  $V_0$  vue en théorie doit être annulée en début de chaque période d'intégration (début de la charge de C c'est à dire début de la partie négative de  $V_0$ ).

Cette annulation est obtenue grâce à l'ensemble Q1, D6, Ra Rb et Rc dans le rectangle de la façon suivante :

- lorsque Ve est positive, le transistor Q1 se sature et décharge le condensateur C.
- lorsque Ve est négative, Q1 se bloque et laisse le condensateur C s charger jusqu'à ce que Ve repasse en positif.

Réaliser le schéma de la figure 12.

Ra = 
$$100\Omega$$
, Rb =  $1k\Omega$ , Rc =  $47\Omega$ 

Ce résultat est donné en simulation par la figure

6.3.4.1 Connaissant la valeur de la consta te ce tel ps v = RC, calculer la pente du signal de sortie Vs(t) insi q e son implitude au bout du temps de charge Tn, durée de cartie égatic de Ve(t).

Réponse

Il a été démon plus habitue :

$$Vs(t) = -\frac{1}{Rc} \int Ve^{-t} dt + V_0$$

ave 
$$\tau = RC$$

lci, la lastante V<sub>0</sub> est annulée en début de chaque cycle.

Pour un anal d'entrée Ve rectangulaire donc d'amplitude constante, on a :

$$\sqrt{s(t)} = -\frac{c}{\tau}t$$

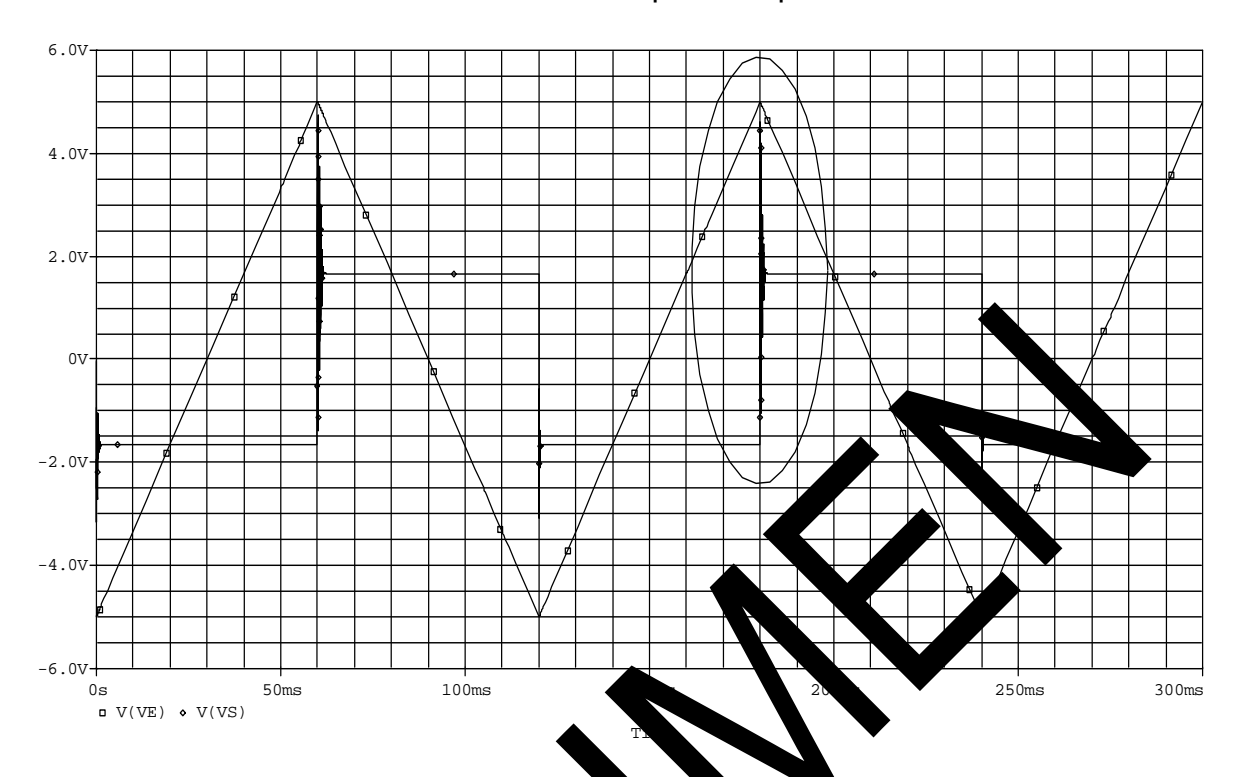
La pente du signal de sortie 
$$Vs(t)$$
 est donc :  $a = -\frac{Ve}{\tau}$ 

La tension Vs est mise à 0 par le système d'annulation de V<sub>0</sub> pour Ve>0.

Au bout du du temps Tn on aura : 
$$Vs(t) = -\frac{Ve}{\tau}Tn$$
 .

# 6.3.4.2 Vérifier sur le résultat obtenu à l'oscilloscope.

# Dérivateur sans condensateur Cp. Trait épais = oscillations



# fig.

# Dérivateur sans condensateur p zone d'oscillation dilatée

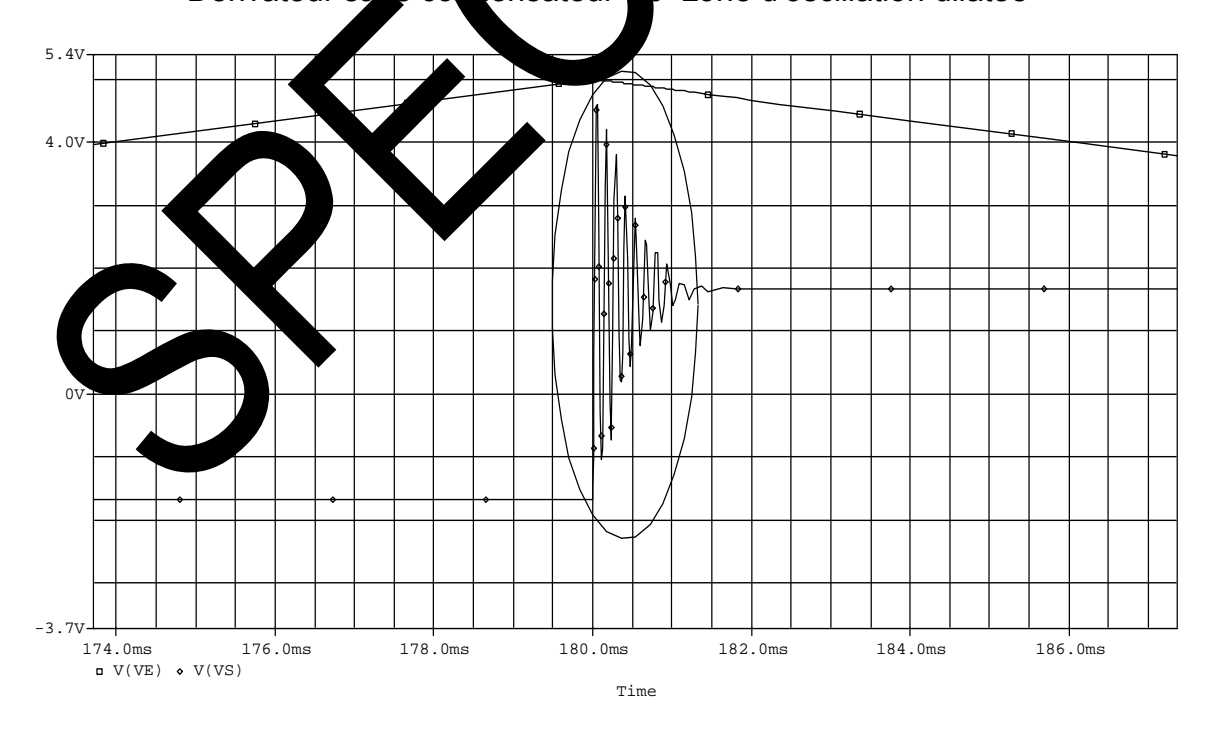
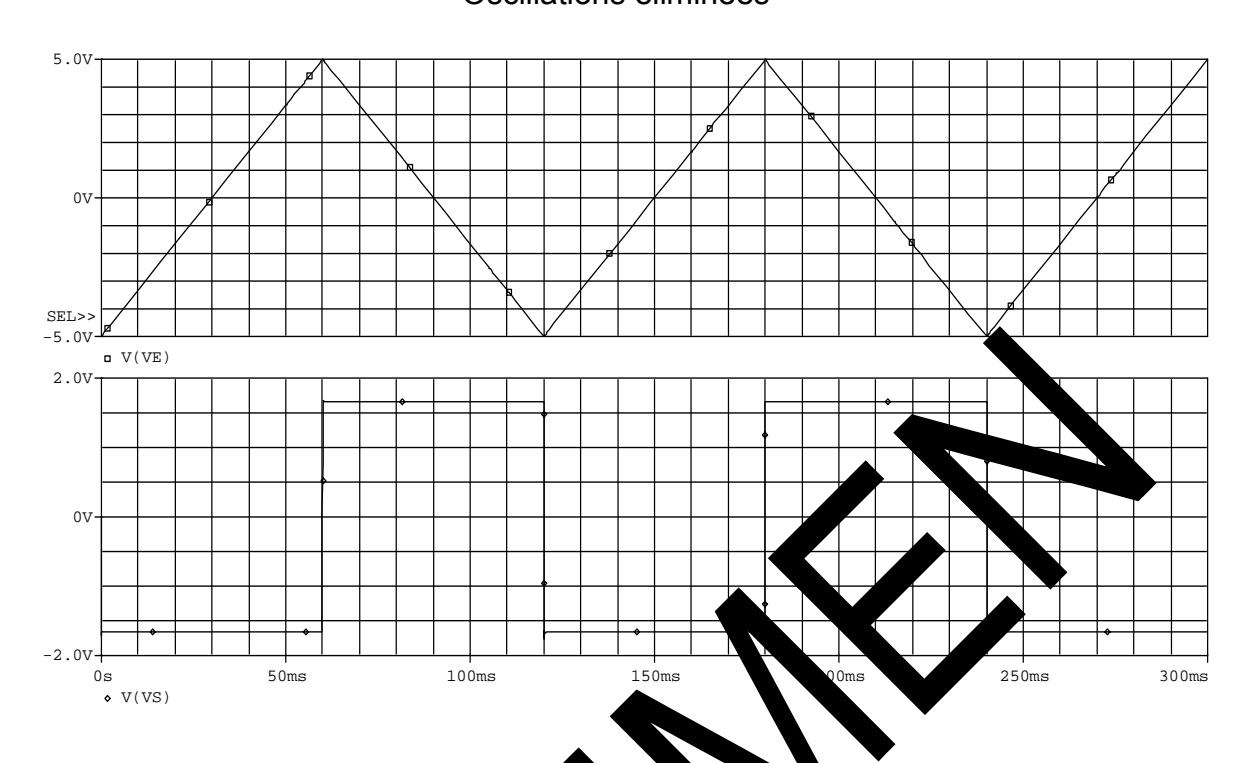


fig. 14

# Dérivateur avec condensateur Cp : Oscillations éliminées



n 15

# Intégrateur av c décharge de len début de cycle

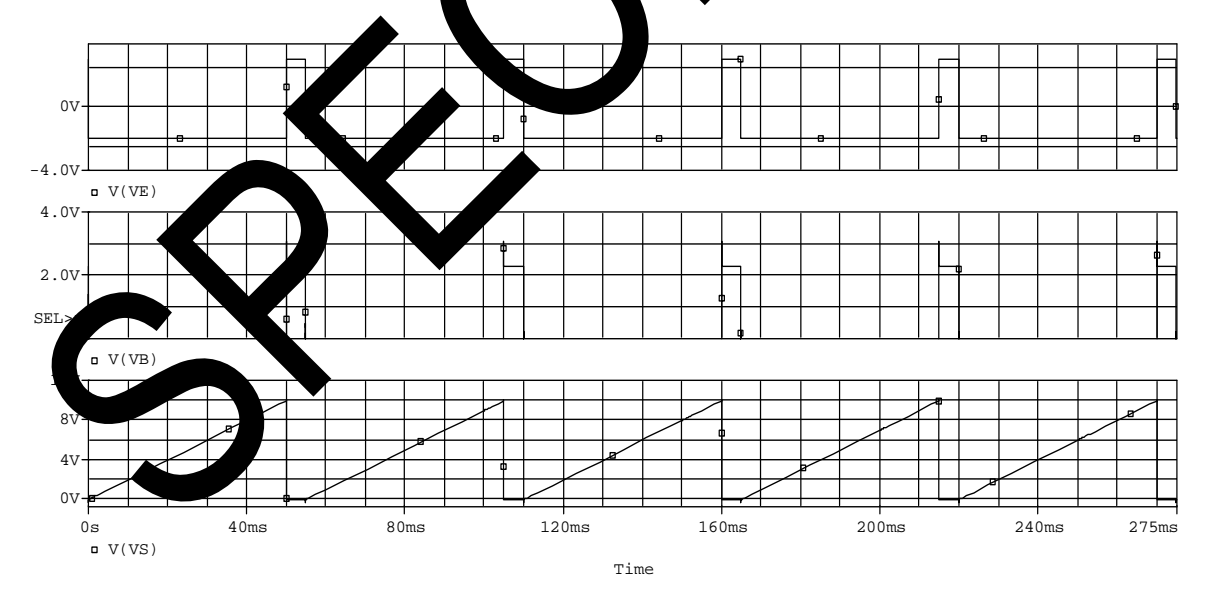


fig. 16

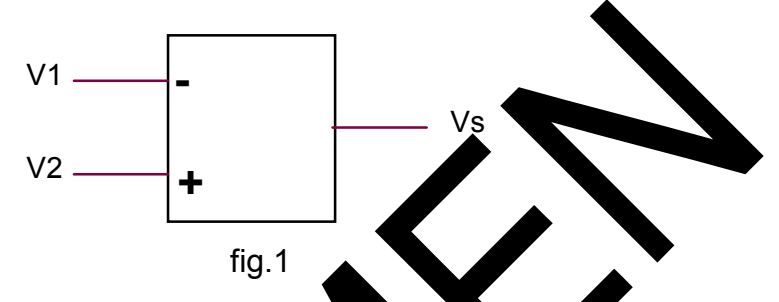
## TP 7 COMPARATEUR

#### 7.1 SCHEMA FONCTIONNEL

Le schéma fonctionnel est donné par la figure 1.

L'une des entrées reçoit un signal V1 et l'autre un signal V2.

Si V1 est appelé signal d'entrée Ve et V2 signal d'entrée Vréf et vis et versa. Comme son nom l'indique, le but du comparateur est de comparer ces deux signaux dont l'un est la référence et l'autre le signal variable.



La sortie Vs du comparateur est :

Vs = +Vsat si V1 > V2 ou

Vs = -Vsat si V1 < V2.

Vsat est la tension de saturation de VOP, le consiste de +Vcc ou –Vcc tensions d'alimentation du composant.

#### 7.2 APPLICATIONS

Le signal variable 11 peut èt. l'image d'une grandeur physique (température, pression, humidit niveau de liquide dans un récipient, position d'un objet mobile). Dans ce ca Vé est un signal continu très lentement variable.

Le comparateur set alors à rétecter une valeur limite à ne pas dépasser. La sortie le comparateur delivre alors un signal : +Vantsi V1 2, ou –Vsat si V1 < V2.

ette serveux ervir à déclencher un signal d'alarme sonore ou lumineux.

Le signal dest l'image d'un phénomène périodique par exemple la vitesse de rotation de moteur.

Le comparateur peut servir à mettre en forme le signal V1 en vue d'un traitement numérique (création d'un signal TTL).

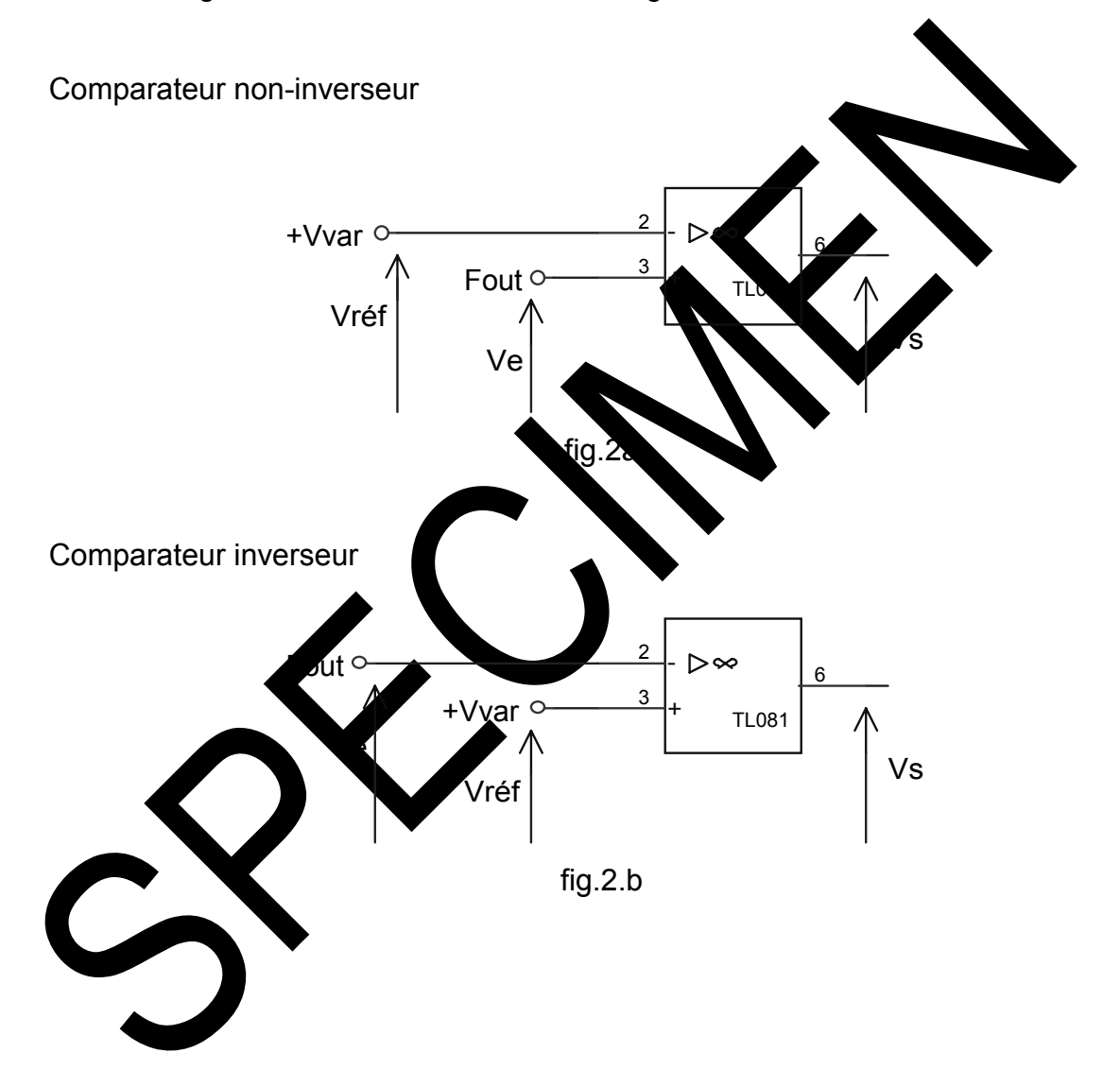
#### 7.2.1 Mise en forme : cas idéal

Les schémas de principe sont donnés figures 2a et 2b.

Ve est un signal sinusoïdal sans composante continue et non "bruité" c'est à dire sans signal parasite superposé à Ve.

Le signal +Vvar permet de mettre en évidence le rôle du signal Vréf sur la forme du signal de sortie Vs.

Les chronogrammes attendus sont donnés figure 2 à 8.

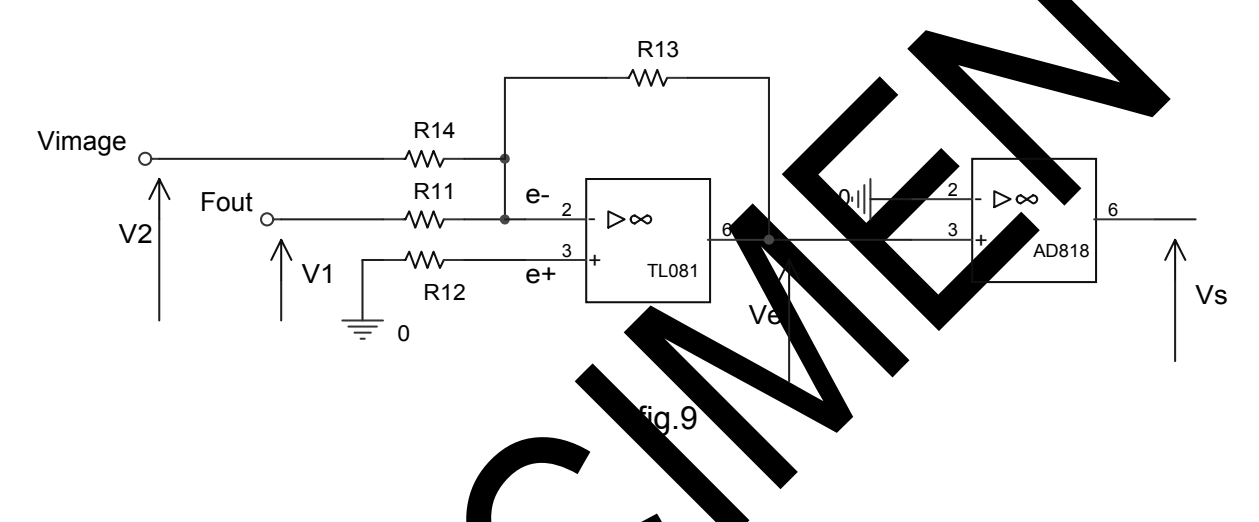


#### 7.2.2 Mise en forme : cas réel

Le plus souvent, le signal Ve est entaché de bruit c'est à dire superposé à un signal parasite de faible amplitude, périodique ou aléatoire de fréquence très supérieure à celui de Ve.

Dans ce cas, l'utilisation du comparateur s'avère très délicate voir impossible. En effet, lors du franchissement de la tension de référence, le signal parasite peut provoquer plusieurs commutations du comparateur et générer ainsi plusieurs impulsions qui ne correspondent pas à celles attendues.

Pour simuler un tel signal, il est proposé le schéma ci-dessous figure 9.



Vimage est le signal défini de la le TP 1 gure 13. C'est le signal sans parasite (identique à Ve0 figure 6).

Le signal Ve est à somme ondere voir le montage sommateur-inverseur) de Vimage et de Fout c'er le signal bruité.

Les chrono an nes rrespor ants sont donnés figure 6.

#### 7.3 TRAVAUX PARTIQUES

#### 7.3.1 Mise en forme idéal

7.3.1.1 Réaliser le schéma de la figure 2.a, observer les formes du signal Vs en fonction de Vréf.

#### 7.3.2 Mise en forme réel

- 7.3.2.1 Réaliser le schéma de la figure 9.
- 7.3.2.2 Déterminer l'expression de Ve en fonction de V1 et V2.

Réponse

La sortie Ve s'exprime sous la forme : 
$$Ve = -(\frac{R13}{R1}V1 + \frac{R}{R14}V1 + \frac{R}{R14}$$

- 7.3.2.3 La fréquence de V2 est de 50Hz (période 2. ns) : ¿gler celle de V1 aux alentours de 2kHz et son amplitude vous e de la crête à rête. Observer la forme du signal Vs obtenu.
- 7.3.2.4 La période des impulsions obtents corre poir Lelle à celle de Vimage ?

Réponse

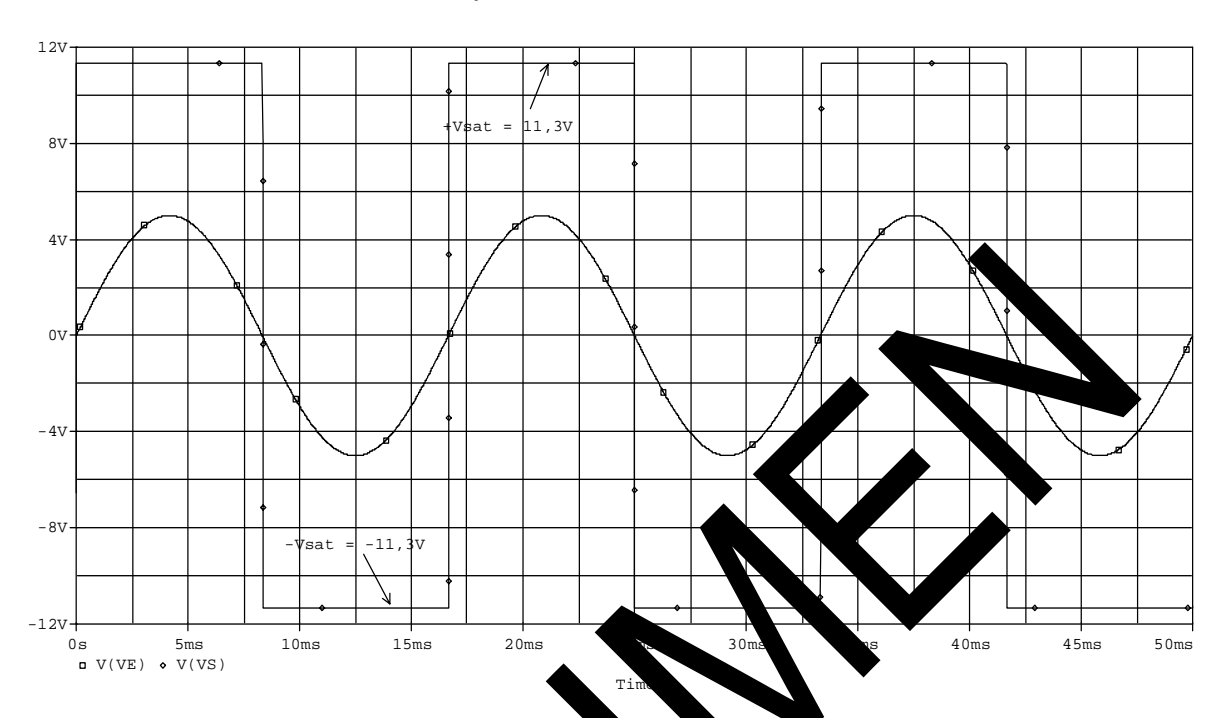
Non ; on observe des os l'attons à la puisde du ignale Fout.

7.3.2.5 Conclusions l'efficité du comparateur ?

Réponse

Pour par la sté le compateur simple s'avère peut efficace pour effectuer une mise et simple correcte.

# Comparateur non-inverseur



# $V_{1} = 0$

# d mparateur nverseur

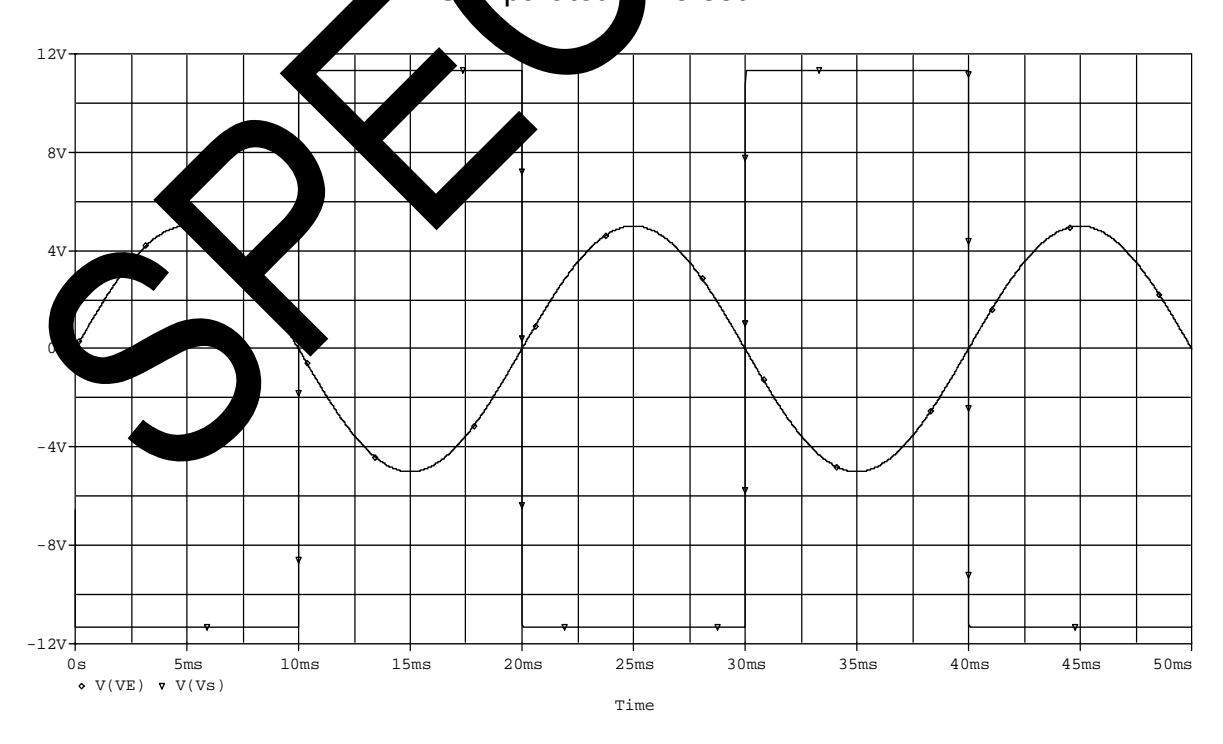
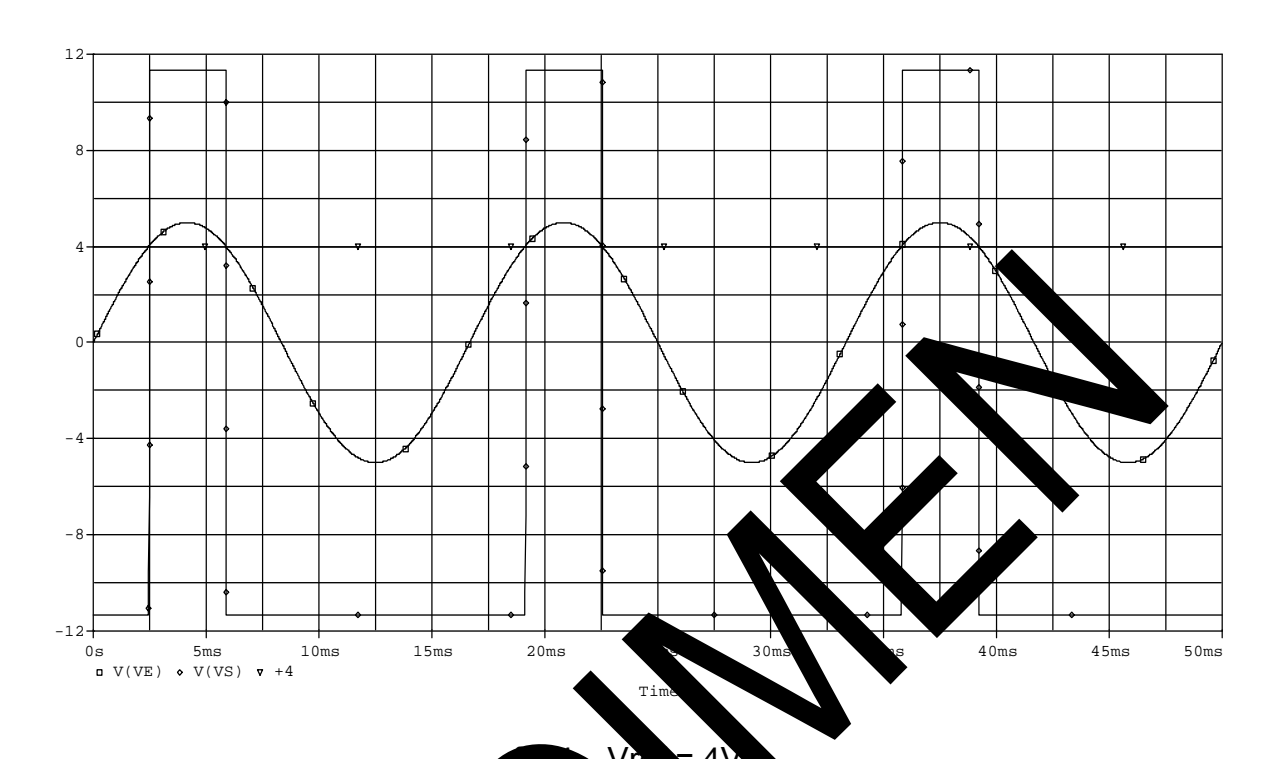


fig.3 Vréf = 0



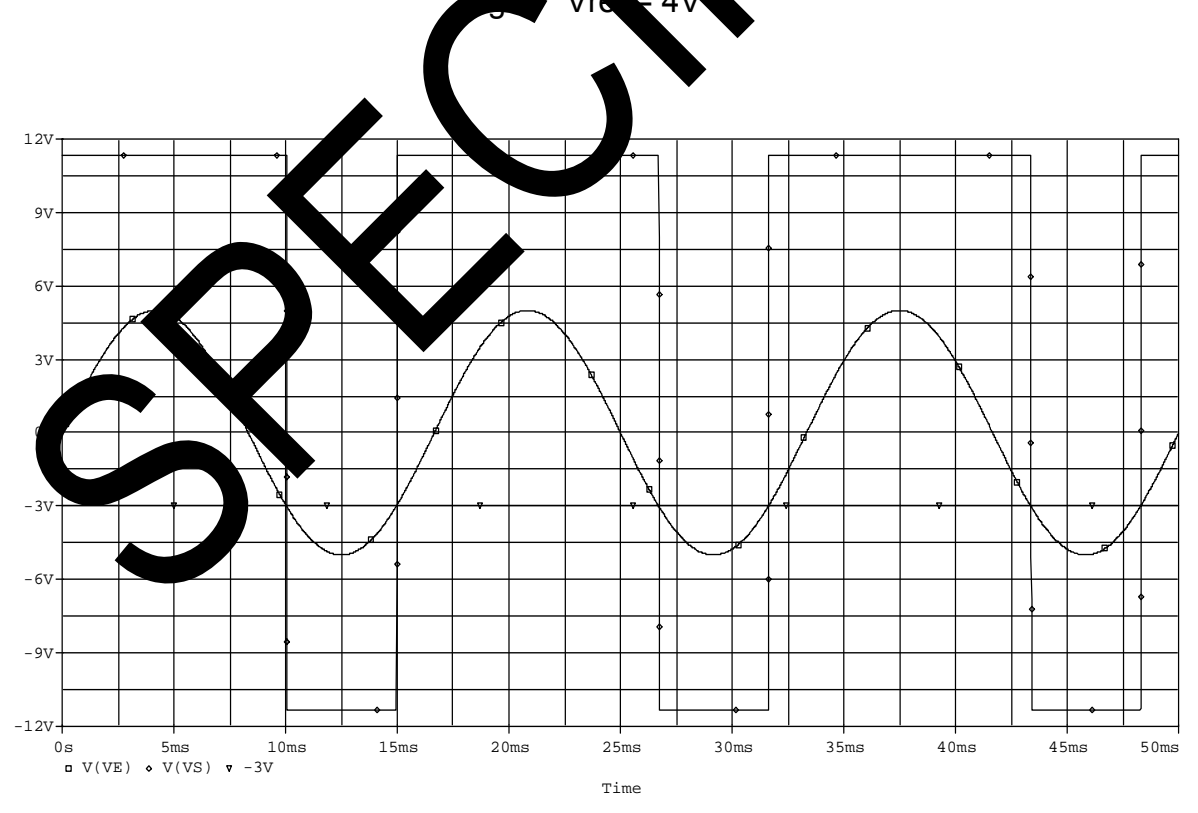


fig.5 Vréf = -3V

# Temps de montée de Vs

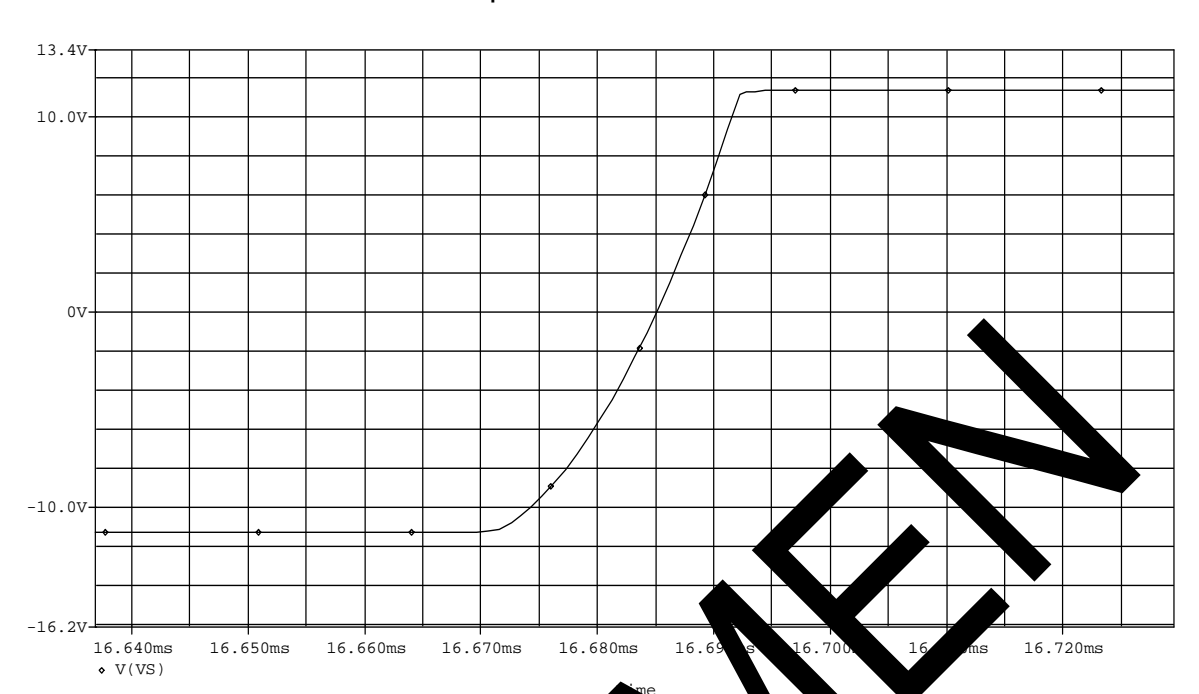


fig.6

# Tonps de descenta le Vs

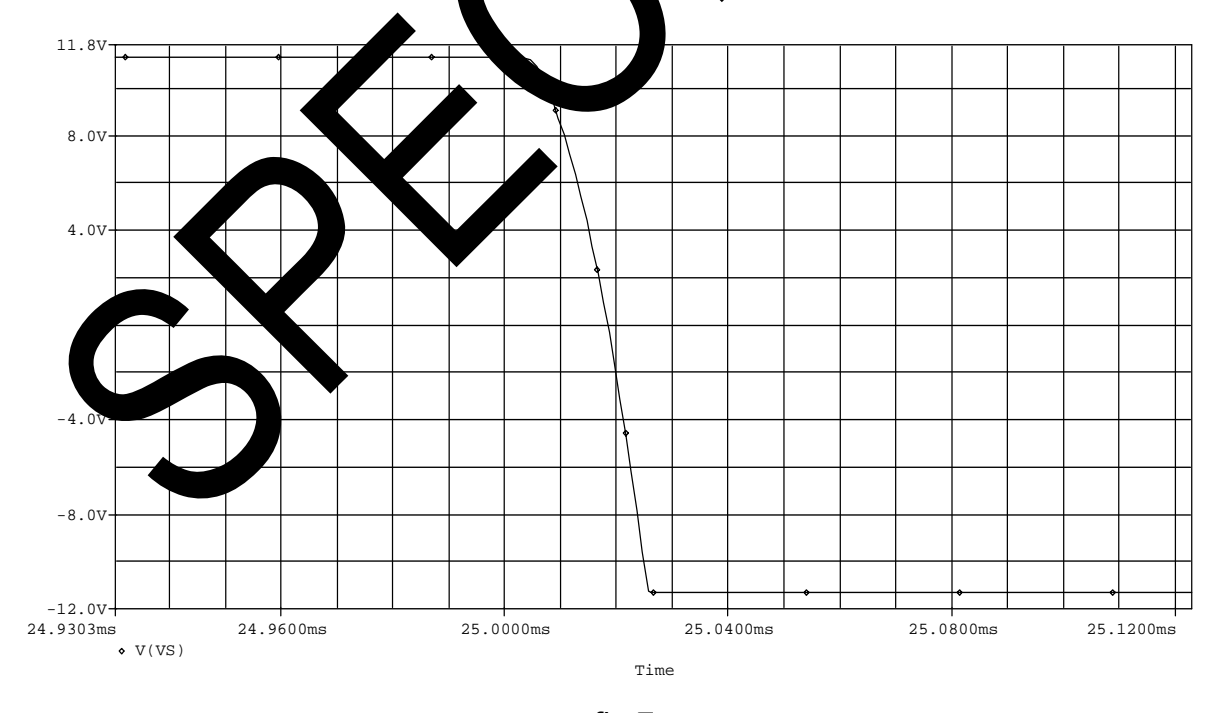
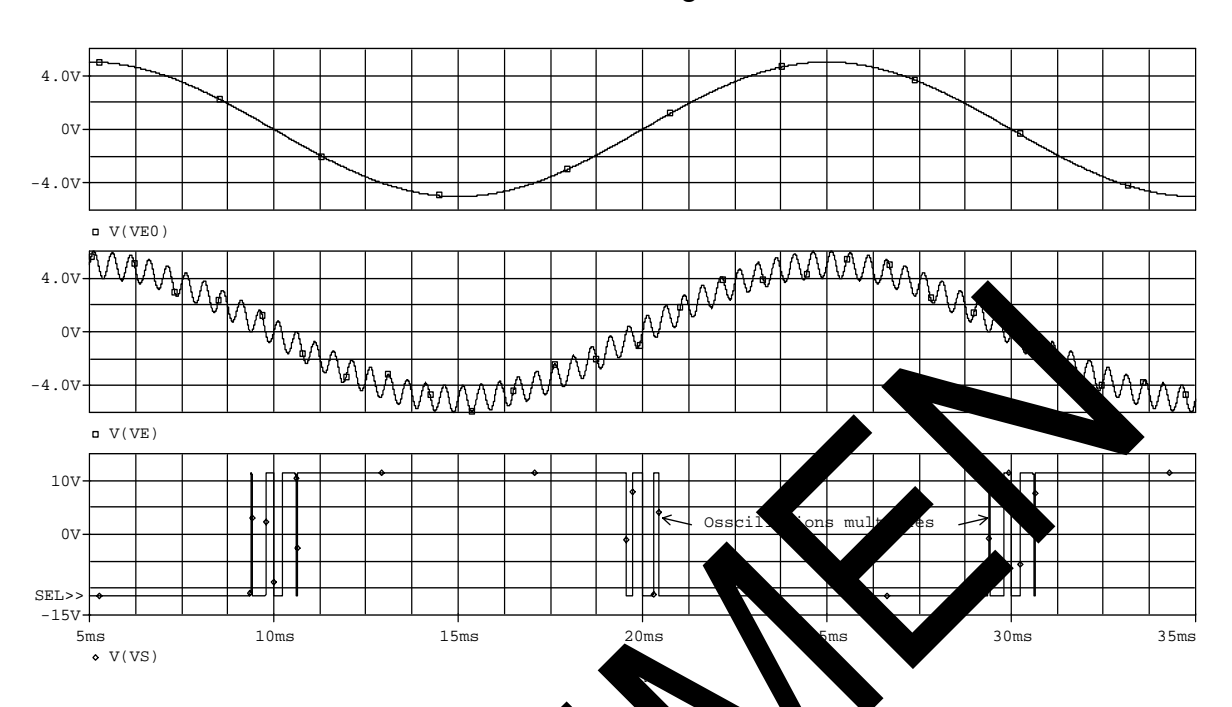


fig.7

# Mise en forme d'un signal bruité



# TP 8 COMPARATEUR-TRIGGER ou COMPARATEUR à 2 SEUILS

#### 8.1 COMPARATEUR POUR SIGNAL BRUITE

Nous avons vu dans le TP 7 les limites du comparateur dans le cas d'un signal bruité

Le chronogramme ci-dessous fig.1 indique que le signal de sortie Vs obtenu ne reflète pas la période du signal d'entrée Ve (oscillations multiples à se du passage par la référence 0V

Pour remédier à cela, il faut faire appel au comparateur-trig

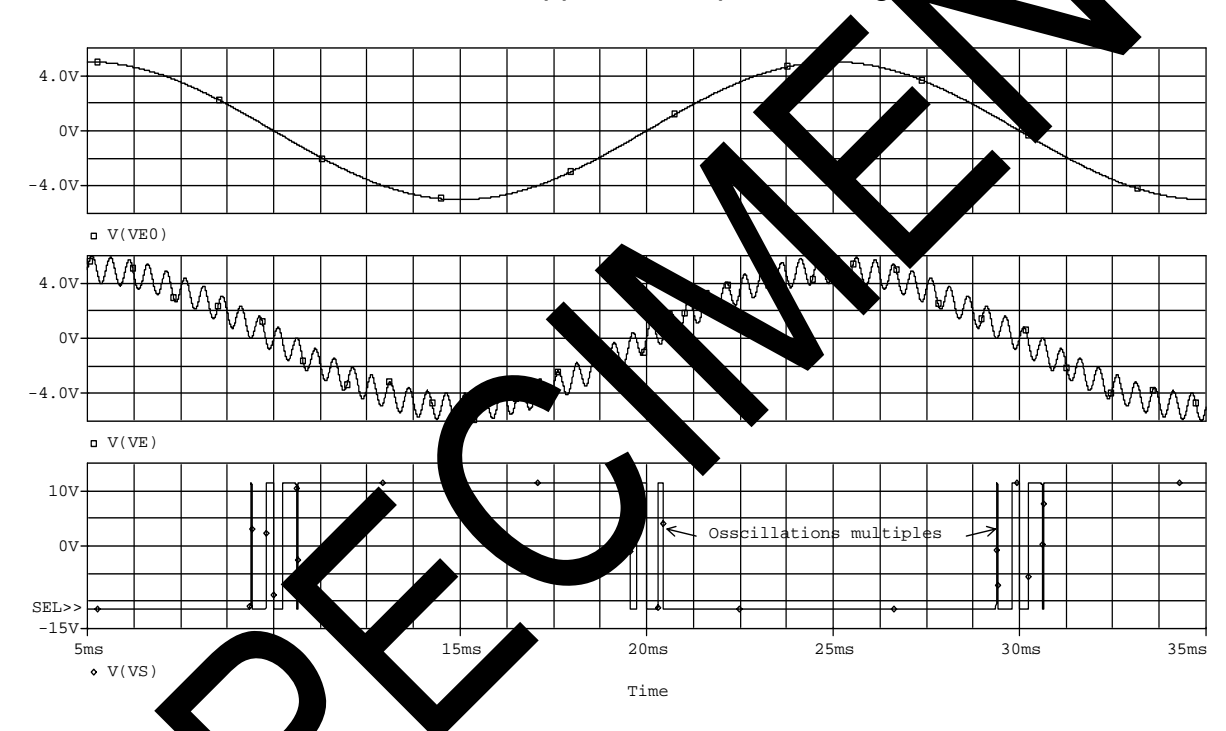


fig.1

#### 8.2 COMPARATE R-TRIGGER

Appelé souve it simplement trigger, cette fonction réalise la comparaison entre deux signal :

\$\documents\ d'une part un signal variable Ve et,

♦ Vs prend deux valeurs : +Vsat et –Vsat.

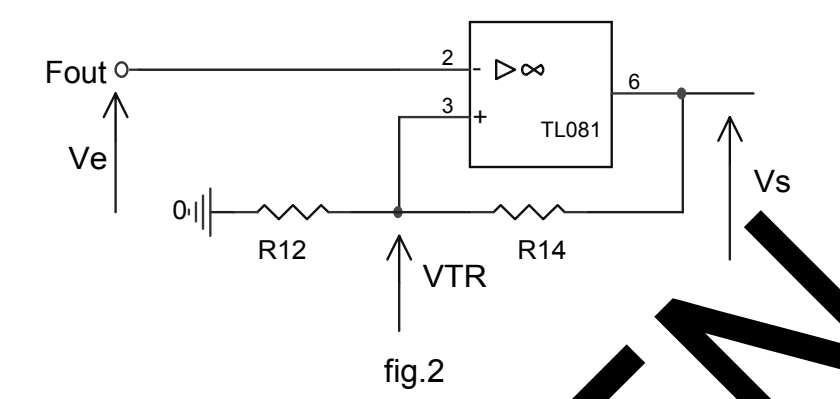
Tout se passe comme si l'on avait 2 références : une dans le sens croissant de Ve et l'autre dans le sens décroissant de Ve.

Comme pour les comparateurs, nous avons le trigger inverseur et le trigger non inverseur.

#### 8.3 TRIGGER INVERSEUR

# 8.3.1 Schéma de principe

Il est donné par la figure 2.



# 8.3.2 Principe de fonctionnement

Le signal Ve est appliqué sur l'entrée – de l'AO

Si Vs = +Vsat, la tension VTR (TR pour le la pelle VTR+ avec :

$$VTR = VTR + \frac{12}{212 + 14} (... / sat)$$

Si Vs = –Vsat, la tension V R est appela VT avec :

$$VTR = \frac{R12}{R12 + R14} (-Vsat)$$

La différence = V 2+ - V7 x- s'appelle l'hystérésis du trigger avec

$$\Delta V = 2 \frac{R12}{R12 + R14} Vsat.$$

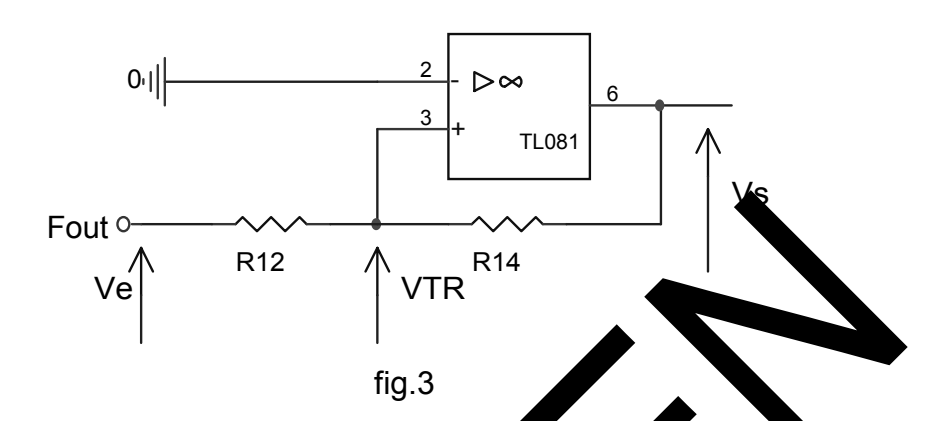
e chrongement est donné par la figure 4 et le cycle d'hystérésis par la figure

Les flexamindiquent le sens de parcours du signal de sortie Vs en fonction du sens de variation de Ve.

#### 8.4 TRIGGER NON-INVERSEUR

#### 8.4.1 Schéma de principe

Il est donné par la figure 3.



# 8.4.2 Principe de fonctionnement

Le signal Ve est appliqué sur l'entrée + de l'AOP lci, l'entrée + de l'AOP (VTR) est comparé à l'en ée

L'entrée – étant à 0, la sortie du la charge de niveau chaque fois que VTR passe d'un coté où le l'au le de

Quel que soit l'état du trigge on a

$$TR = \frac{R12}{12 + R14}$$
 sat  $\frac{12 + R14}{12 + R14}$ 

Si Vs = +Vsat, po que trigger bascule de +Vsat à -Vsat, il faut que VTR devienne négative.

où : 
$$VTR -= -\frac{R12}{R14} (+Vsat)$$
.

Si Vs = -Vsa pour que le trigger bascule de -Vsat à +Vsat, il faut que VTR devient sitive.

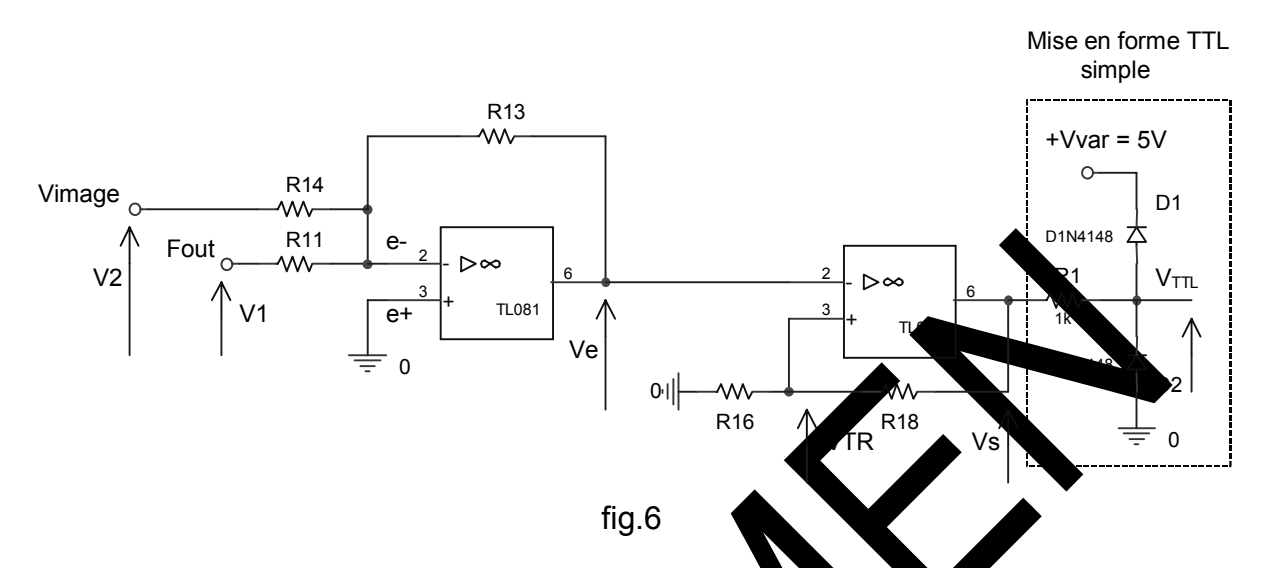
Cela donne 
$$Ve > -\frac{R12}{R14}(-Vsat) \text{ soit } Ve > \frac{R12}{R14}(+Vsat)$$

D'où : 
$$VTR + = \frac{R12}{R14}(+Vsat)$$

La différence  $\Delta V = VTR+ - VTR-$  est donnée par :  $\Delta V = 2\frac{R12}{R14}V$ sat Le chronogramme est donné par figure 5.

# 8.5 APPLICATION: MISE FORME D'UN SIGNAL BRUITE

Réaliser grâce à la figure 6 ci-dessous, le signal bruité Ve de la figure 1.



Observer sur la figure 7 que le signal de sortie Vs est bien su age de Ve pour la période.

Les oscillations multiples ont dispara tant a mp. vol. crête à crête du bruit reste inférieure à l'hystérésis ∆V du trigger.

La sortie  $V_{TTL}$  peut être obte que par un schema simple utilisant la sortie Vvar réglée à 5V.

D1 et D2 sont des c'ades dites le clamang,

D1 sert à limiter sortie de 15 V<sub>TTL</sub> +Vd soit environ 5, 65V,

D2 sert à limiter V. le 3V à -0,65V.

#### 8.6 TRAVAUX PRATIQUES

#### 8.6.1 Trigger inverseur

- 8.6.1.1 Réaliser le schéma de la figure 2.
- 8.6.1.2 Démontrer les relations donnant VTR+, VTR- et ΔV.

Réponse

Voir le paragraphe 8.3.2

- 8.6.1.3 Relever les chronogrammes.
- 8.6.1.4 Conclusions?

#### 8.6.2 Trigger non-inverseur

- 8.6.2.1 Réaliser le schéma de la figure 3..
- 8.6.2.2 Démontrer les relations donnant VTR+, VTR et ΔV

Réponse

Voir le paragraphe 8.4.2

- 8.6.2.3 Relever les chronogrammes
- 8.6.2.4 Conclusion

## 8.6.3 Application

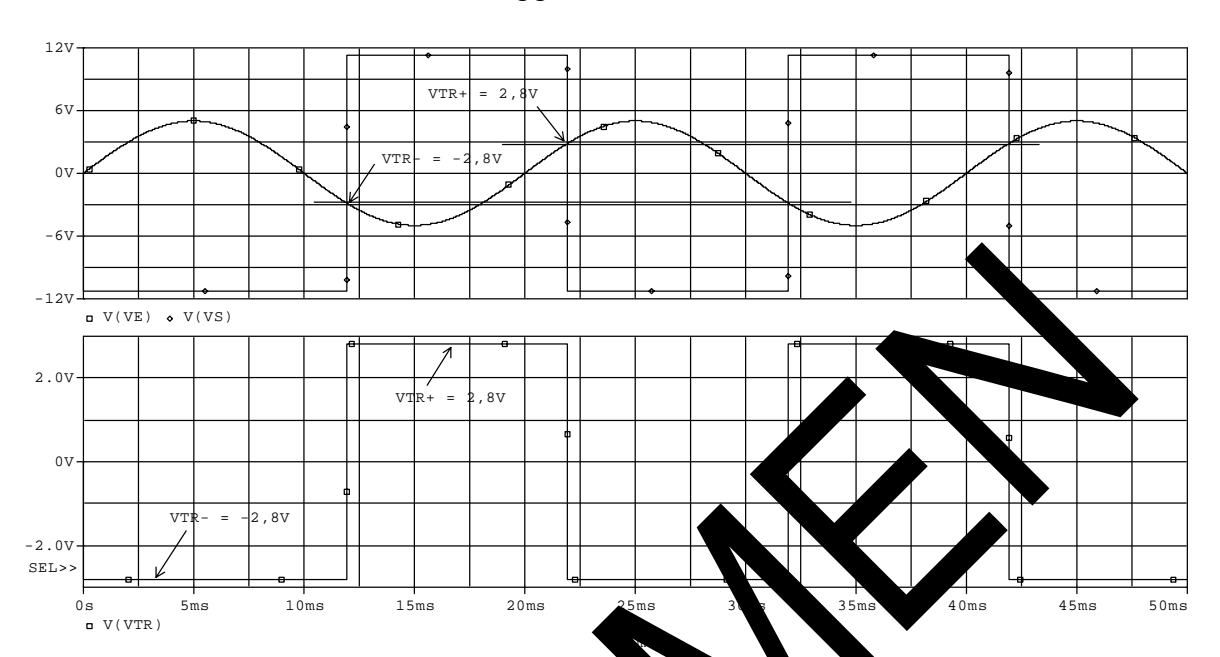
- 8.6.3.1 ealiser | schéme de la figure 6.
- 8.6.2.2 Reliables chronogrammes.
- Régler amplitude du bruit inférieure puis supérieure à  $\Delta V$ , et relever les agrantes.
- $8.6.\overline{3.4}$  Cong sions?

Réponse

Tant que l'amplitude du bruit est inférieure à l'hystérésis  $\Delta V$ , le signal de sortie a une période identique à celle du signal d'entrée.

Les oscillations observées avec le comparateur simple n'apparaissent plus.

# Trigger inverseur



#### 4

# Cycle Histérésis d'un trigger inverseur

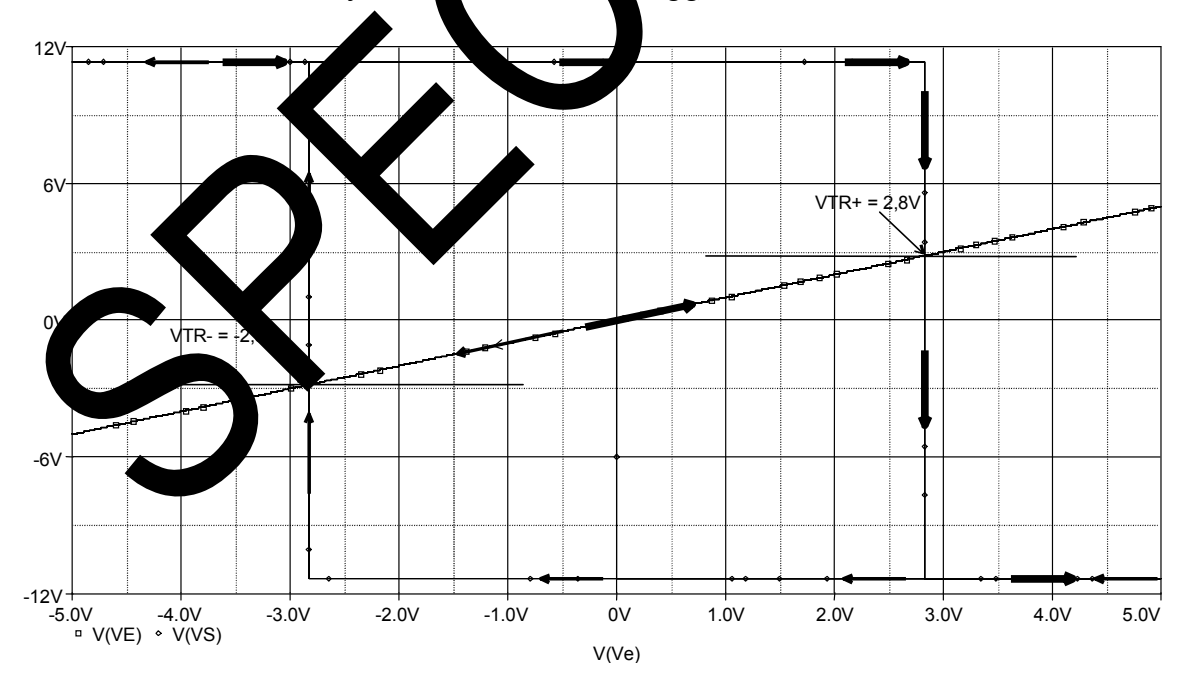


fig.4 bis

## Trigger non-inverseur

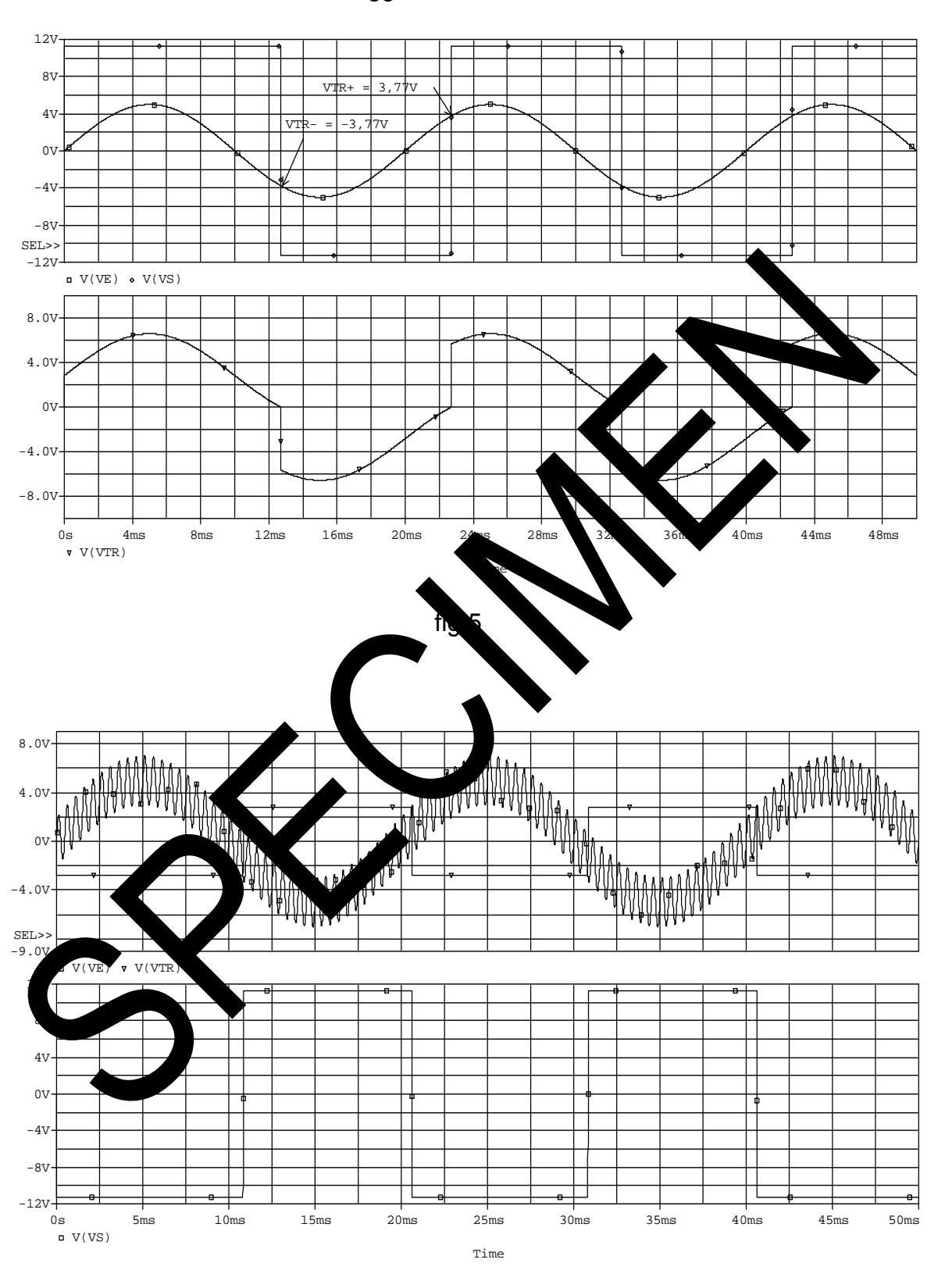
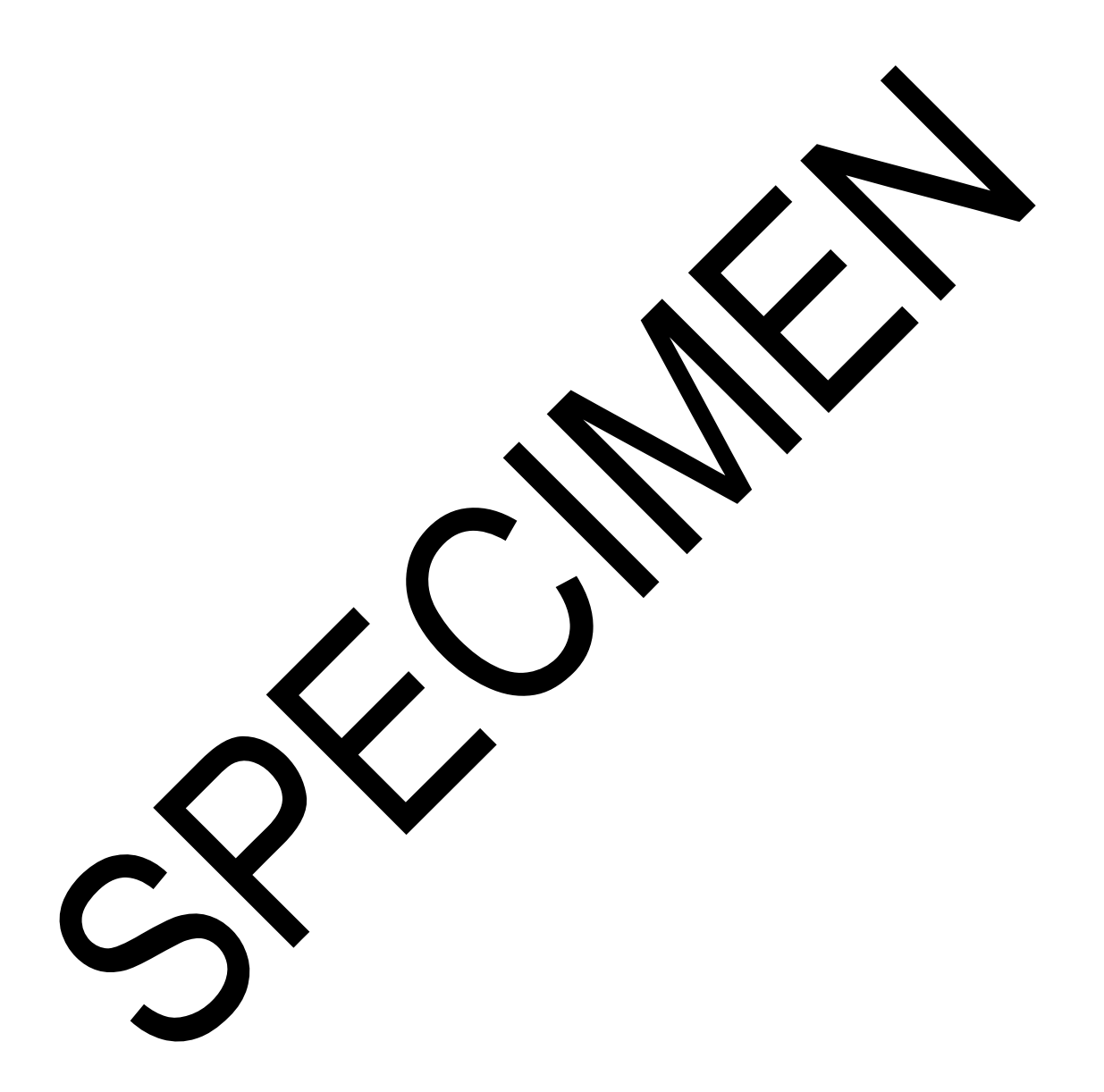


fig.6



# TP 9 FILTRES DU 1<sup>er</sup> ORDRE

Seuls les filtres actifs seront étudiés dans ces TP.

### 9.1 RAPPELS

Filtrer un signal c'est atténuer ou supprimer de son spectre une gamme de fréquences selon les besoins.

On distingue 4 principaux types de filtres :

- passe-bas,
- passe-haut,
- passe-bande,
- réjecteur ou coupe bande.

L'ordre du filtre dépend de l'efficacité souhaitée d'aminer le fréque ses non désirées de sa bande passante.

Cet ordre peut aller de 1 à 8 voir plus dans les sausus

Il est donné par le degré du polynôme en  $j\omega$  ou la de lénor receur de sa fonction de transfert ou transmittance ; est l'opérates de Laplace.

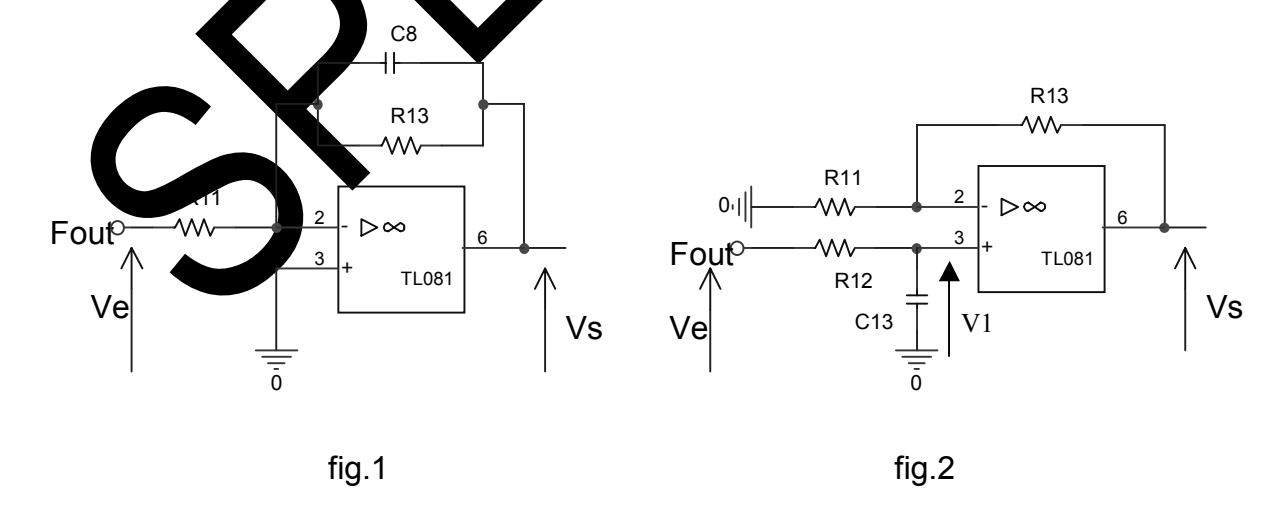
L'étude portera sur les filtres d'ordre 1 à

### 9.2 FILTRES PASSE-BAS DU OKDRE

Comme son nom l'indique il visse passe basses fréquences et élimine les hautes.

### 9.2.1 Schémas de Sincipe

Deux schémon prosés figure 1 et 2.



### 9.2.2 Calcul de la transmittance schéma fig.1

Démontrer que la transmittance est donnée par la relation :

$$T(j\omega) = -\frac{R13}{R11} \; \frac{1}{1+jR13C8\omega}$$

## 9.2.3 Calcul de la transmittance schéma fig.2

Démontrer que la transmittance est donnée par la relation :

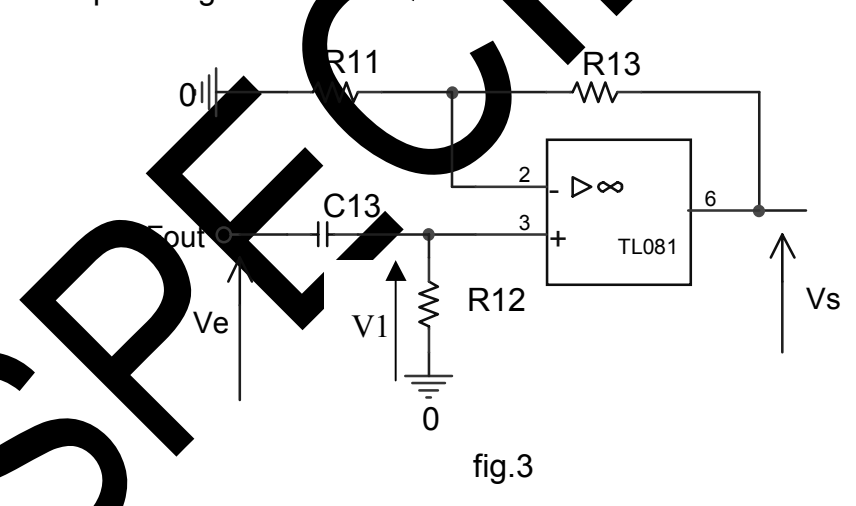
$$T(j\omega) = \frac{1}{1+jR12C13\omega} (1+\frac{R13}{R11})$$

## 9.3 FILTRE PASSE-HAUT DU 1er ORDRE

Comme son nom l'indique il laisse passer haute la quel les callimine les basses.

### 9.3.1 Schéma de principe

Il est donné par la figure 3.



### 9.3.2 Calla la transmittance

Démontrer que la transmittance est donnée par la relation :

$$T(j\omega) = \frac{jR12C13\omega}{1+jR12C13\omega}(1+\frac{R13}{R11})$$

### 9.4 TRAVAUX PRATIQUES

## 9.4.1 Filtre passe-bas du 1er ordre : schémas figures 1 et 2

9.4.1.1 Mettre la transmittance sous la forme ci-dessous en identifiant les paramètres  $T_0$ , et  $\omega_0$  :

$$T = \frac{T_0}{1 + j\frac{\omega}{\omega_0}}$$

Pour chacun des filtres :

Réponse

Filtre 1

Le montage est de type inverseur ; donc la tradmittal donnée par l

$$T(j\omega) = -\frac{Z2}{Z1}$$
 avec  $Z1 = R11$   $Z2 = \frac{1}{R^3 + \frac{1}{jC8\omega}}$ ; ce qui donne :

$$T(j\omega) = -\frac{R13}{R11} \frac{1}{1+jR1} \frac{1}{C8\omega}; ce qui) x identification donne :$$

$$T_0 = -\frac{R13}{R11} t \omega_0 \frac{1}{R13C8}$$

Filtre 2

Le montage et d'a spe non-inverseur. En utilisant le signal V1 à l'entrée V+ de l'AOP, la trassinance est donné par :

$$T = Vs$$
  $\frac{V_1}{Ve} = (1 + \frac{R13}{R11}) \frac{1}{1 + jR12C13\omega}$ 

nsm. nce T est de la forme :

$$T = \frac{T_0}{1 + j\frac{\omega}{\omega_0}} \quad avec \quad T0 = 1 + \frac{R13}{R11} \quad et \quad \omega_0 = \frac{1}{R12C13}$$

9.4.1.2 Calculer le module et l'argument  $\varphi$  de T.

Réponse

En utilisant les formes canoniques, on trouve :

Filtre 1

$$|T| = T_0$$
 et  $\varphi = -\pi - Arctan(\frac{\omega}{\omega_0})$ 

Filtre 2

$$|T| = |T_0|$$
 et  $\phi = -Arctan(\frac{\omega}{\omega_0})$ 

9.4.1.3 Déterminer la fréquence de coupure, en pulluire la barrie passante

Réponse

La fréquence de coupure est  $\omega_0$  et à bande, assant, la de 0 à  $f_c = \omega_0/2\pi$  dans les deux cas.

9.4.1.4 Déterminer les asynctotes du gl n quand  $\omega$  varie de 0 à l'infini. Spécifier leur pente signé exist

Les asymptes sont the horizontale à  $20\lg|T_0|$  et une oblique de –20dB/décade.

- 9.4.1.5 Traces dia ammes Bode Gain et phase du filtre.
- 9.4.1.6 compare les perses des asymptotes et les bandes passantes à celles or enuer par le calcul.
- 9 Conc. Sion ?

# 9.4.2 Filtre passe-haut du 1<sup>er</sup> ordre : schéma figure 3

9.4.2.1 Mettre la transmittance sous la forme ci-dessous en identifiant les

paramètres 
$$T_0,$$
 et  $\omega_0$  : 
$$T=T_0\frac{j\frac{\omega}{\omega_0}}{1+j\frac{\omega}{\omega_0}}$$

Réponse

La transmittance est donnée par :

$$T = \frac{Vs}{V1} \frac{V1}{Ve} = (1 + \frac{R13}{R11}) \frac{jR12C13\omega}{1 + jR12C13\omega}$$
; par identification from the property of the propert

$$T0 = 1 + \frac{R13}{R11}$$
 et  $\omega_0 = \frac{1}{R12C13}$ 

9.4.2.2 Reprendre les questions 2 à 7 lessus.

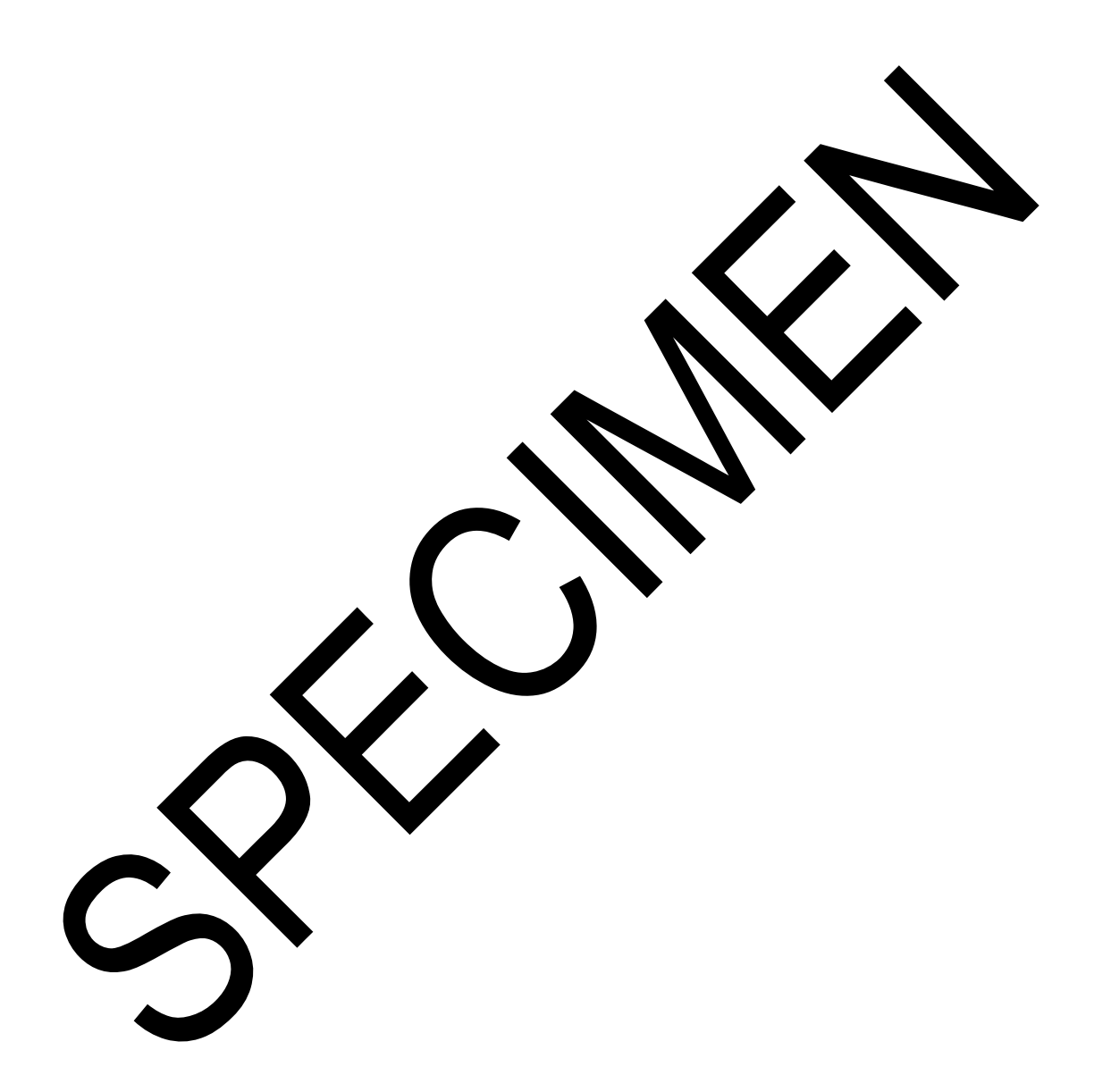
Réponse

$$|T| = T_0$$
 et  $\varphi = \frac{\pi}{2}$ -Antan $(\frac{\pi}{\omega_0})$ 

La fréquence de coupul est  $\omega_0$  et la finde sassante va de  $f_c = \omega_0/2\pi$  à l'infini (filtre passe-haut) en tréorie. La pratique, la équence de coupure haute est limitée par la transmittance (L'AOP re Voir TP ) ragraphe 5.1).

Asymptotes

Of tune a ympto obligate de +20dB/décade et une horizontale à  $20\lg\lvert T_0 \rvert$ 



## TP 10 FILTRES ACTIFS DU SECOND ORDRE

### 10.1 FILTRE DU SECOND ORDRE

Il existe plusieurs structures pour réaliser les filtres actifs du second ordre :

structure à contre-réactions multiples, structure de Salenn et Key, structure de Rauch, filtre universel, gyrateurs, ...

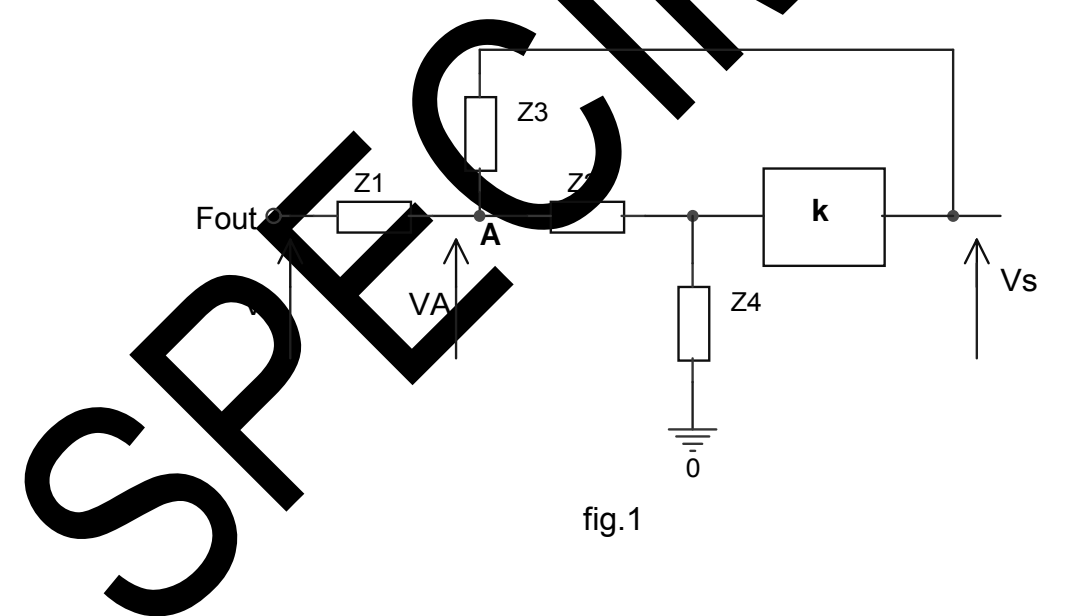
Ici, seules les structures de Salenn et Key et de Rauch serons étudies

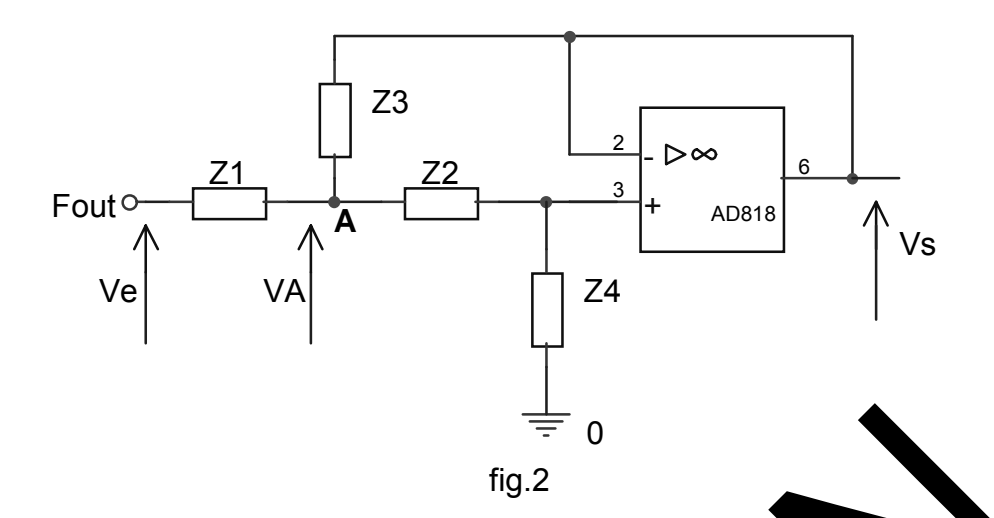
Afin d'étudier facilement les atténuation de -20 à -40db (écade nous unit ons U2 (AOP type AD818).

### 10.2 Structure de Salenn et Key

### 10.2.1 Schéma de principe

Il est donné par la figure 1 ci-dessous : l'est un c'efficient camplification d'un amplificateur avec une impédance d'entit est apos le incie. La figure 2 montre le cas ou k = 1.





En appliquant entre autres, le théorème de Millmann et A, la gnsmitte de la structure figure 1 peut se mettre sous la forme :

$$T(j\omega) = \frac{kZ1Z4}{Z1(Z3 + Z4(1-k) + Z2)} + \frac{Z2}{Z2} + \frac{Z3 + Z4}{Z3 + Z4}$$

Pour k = 1 figure 2 on trouve :

# 10.2.2 Filtre passe-bas du 2ème ordre

Le schéma structurel est donné par la figure 3.a avec k = 1 (AOP suiveur).

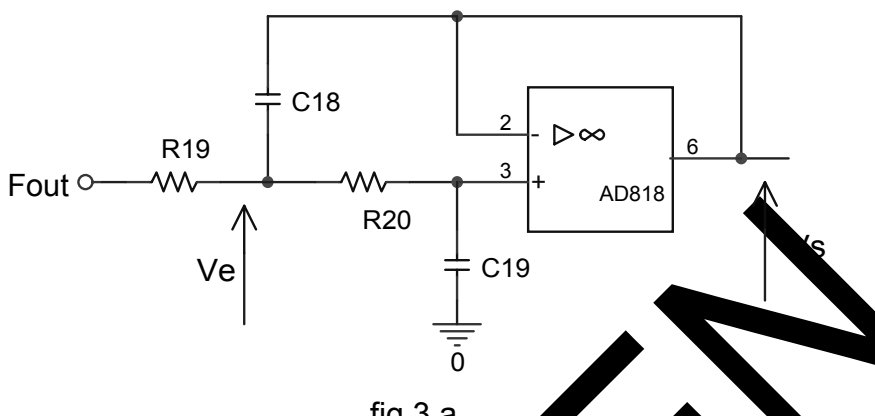


fig.3.a

La simulation donne la réponse harmonique fi

Posons R19 = R20 = R et C18 = C19 =

La transmittance est donné par la relation

$$T(j\omega) = -\frac{1}{1 + jRC\omega)^2}$$

Posons a btient

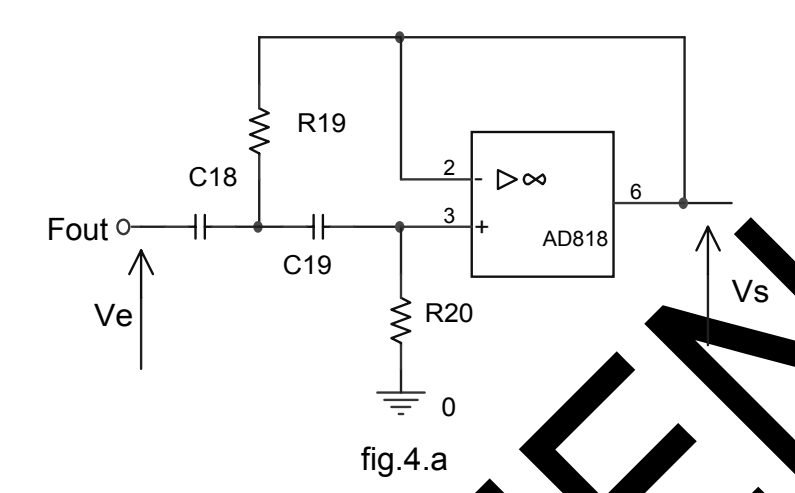
$$T(j\omega) = \frac{1}{(1+j\frac{\omega}{\omega 0})^2}$$

e est :

$$T(j\omega) = \frac{1}{1 + j2m\frac{\omega}{\omega 0} + (j\frac{\omega}{\omega 0})^2}$$

# 10.2.3 Filtre passe-haut du 2ème ordre

Le schéma structurel est donné par la figure 4.a avec k = 1 ( AOP suiveur).



La simulation donne la réponse harmon ; e figu. 4.b

Posons R19 = R20 = R et C18 = C19 = La transmittance est donnée par la relation

$$T_{0}\omega) = \frac{RC\omega^{2}}{(1+C\omega)^{2}}$$

Posons 
$$\omega 0 = \frac{1}{RC}$$
 on obtact  $T_0 \omega_1 = \frac{\frac{\omega}{\omega 0}}{(1 + j\frac{\omega}{\omega 0})^2}$ 

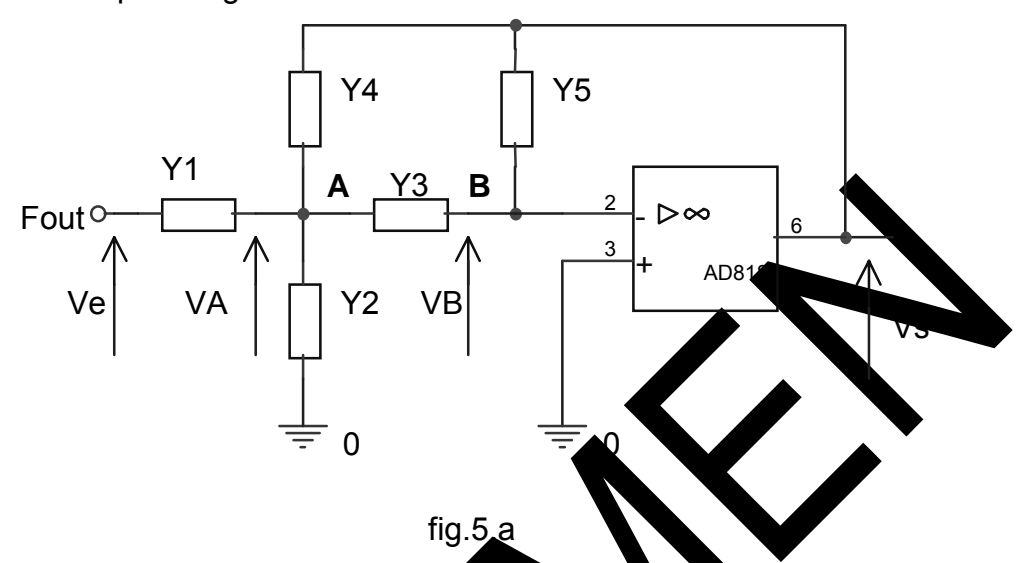
a forme canon, ye est :

$$T(j\omega) = \frac{(j\frac{\omega}{\omega 0})^2}{1 + j2m\frac{\omega}{\omega 0} + (j\frac{\omega}{\omega 0})^2}$$

### 10.3 STRUCTURE DE Rauch

## 10.3.1 Schéma de principe

Il est donné par la figure 5.a.



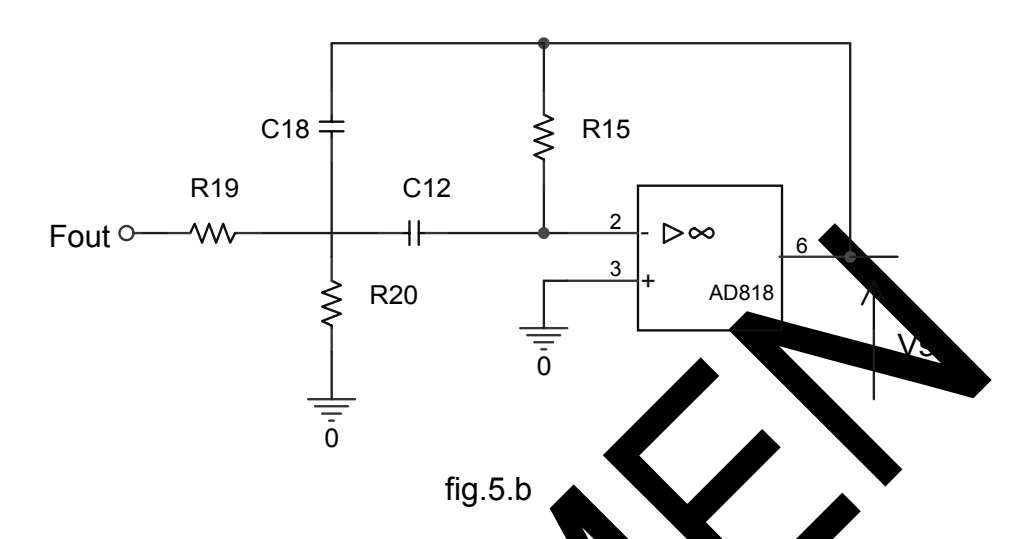
Les paramètres Y1 à Y5 ont des admittals es respondant à aux impédances Z1 à Z5.

En appliquant le théorème d'Millman en X et B, và transmittance est donnée par la relation :

$$T(j\omega) = -\frac{Y1Y3}{Y5(1-x)^2 Y2 + Y3 + Y4) + Y3Y4}$$

# 10.3.2 Filtre passe-bande du 2ème ordre structure de Rauch

Le schéma structurel est donné par la figure 5.b



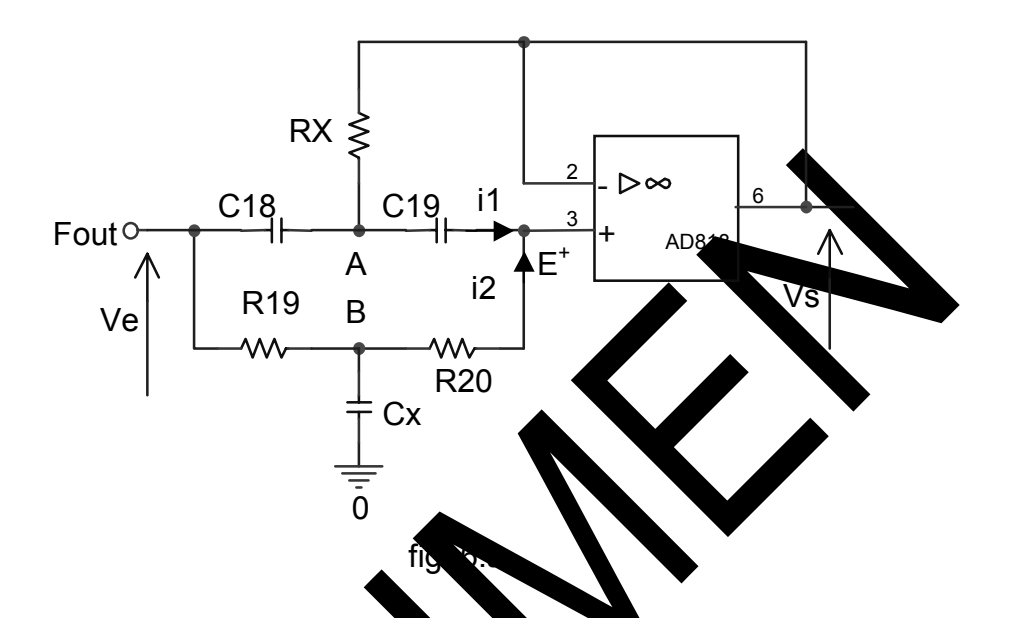
Posons : R15 = R19 = R20 R et 1 2 = 1 = C La transmittance est données R la function .

$$T(j\omega) = -\frac{2m\frac{\omega}{\omega 0}}{1+j2r\frac{\omega}{\omega 0}+(j\frac{\omega}{\omega 0})^2}$$

l paral ètres 5, co et m sont fonction des éléments du montages. s diagranmes de Bode de la réponse harmonique sont données fig. 35 ° .c.

## 10.3.3 Filtre réjecteur de bande

Le schémas structurel est donné par la figure 6.a et les digrammes de Bode de en simulation par la figure 6.b



On pose : C18 = C19 = C : C18 = C19 = C : C18 = C19 = C : C19 = C19 =

La transmittance du réjecte peut se nettre sous la forme :

$$\frac{1+(j\frac{\omega}{\omega 0})^2}{(1+j\frac{\omega}{\omega 0})^2}$$

La form canonique est de la ée par la relation :

$$T(j\omega) = -\frac{1 + (j\frac{\omega}{\omega 0})^2}{1 + j2m\frac{\omega}{\omega 0} + (j\frac{\omega}{\omega 0})^2}$$

### **10.4 TRAVAUX PRATIQUES**

# 10.4.1 Filtre passe-bas 2<sup>ème</sup> ordre structure de Sallen et Key

10.4.1.1 Démontrer les relations des paragraphes 10.2.1 et 10.2.2 en identifiant les paramètres m et  $\omega 0$ .

Réponse

Appliquer le théorème de Milleman au point A. Cela donne :

$$VA = \frac{\frac{Ve}{Z1} + \frac{Vs}{Z3}}{\frac{1}{Z1} + \frac{1}{Z3} + \frac{1}{Z2 + Z3}} \quad et \quad Vs = \frac{Z4}{Z3 + Z4} VA.$$

Avec ces deux relation on démontre que la transmente est année par la relation :

$$T(j\omega) = \frac{Z1Z4}{Z1Z3 + Z2(Z1 + Z2 + Z3 + Z4)}$$

Avec les valeurs indiquées on trave

$$T(j\omega) = \frac{1}{(1+jRC\omega)^2} \text{ average} = \frac{1}{RC}; \text{ ce spidenne} \quad T(j\omega) = \frac{1}{(1+j\frac{\omega}{\omega 0})^2}$$

La forme canon e est

$$T(j\omega) = \frac{1}{1+j(2\omega)^2} - \frac{1}{1+j(2\omega)^2}$$
  $d'où m = 1$ 

### 10.4.1.2 Démontrer que la fréquence de coupure fc est donnée par la relation :

$$fc = f0\sqrt{\sqrt{2} - 1}$$

$$avec f0 = \frac{\omega 0}{2\pi}$$

Réponse

La bande passante est déterminée par la fréquence à laquelle le gain a chuté de 3dB par rapport au gain maximal. Soit  $|T \max|$  est le module correspondant au gain maximal et |Tc| le module à la fréquence fc.

Cela donne: 
$$\frac{|Tc|}{|Tmax|} = \frac{1}{\sqrt{2}}$$
; ici,  $|Tmax| = 1$ .

$$\left| Tc \right| = \frac{1}{\sqrt{\left[ \left( 1 - \left( \frac{\omega_c}{\omega_0} \right)^2 \right]^2 + \left( 2m \frac{\omega_c}{\omega_0} \right)^2}} \; ; \; \text{en appliquant } ' \; \text{ felation ci-access, on obtient } :$$

$$\frac{1}{\sqrt{\left[\left(1-\left(\frac{\omega_{\rm c}}{\omega_{\rm 0}}\right)^2\right]^2+\left(2m\frac{\omega_{\rm c}}{\omega_{\rm 0}}\right)^2\right]}}=\frac{1}{\sqrt{2}}$$
 be qui en raînt

$$[(1-(\frac{\omega_{\rm c}}{\omega_{\rm 0}})^2]^2+(2m\frac{\epsilon}{\omega_{\rm 0}})^2=2$$
 comme = 1, cela donne :

$$[(1-(\frac{\omega_{c}}{\omega_{0}})^{2}]^{2}+(2\frac{\omega_{c}}{\omega_{0}})^{2}]^{2}$$

Pos =  $(\omega_h^2)^2$  on about à une équation de la forme :

$$x + 2x = 1 = 2 \implies (x+1)^2 = 2$$

d 
$$\dot{\omega}$$
  $\dot{\omega}$   $\dot{\omega}$ 

c'est dire  $\omega_{\rm c}=\omega_0\sqrt{\sqrt{2}-1}\;$  ; avec la relation f =  $\omega/2\pi$ , on retrouve :

$$f_c = f_0 \sqrt{\sqrt{2} - 1} .$$

10.4.1.3 Relaver les diagrammes de Bode gain et phase ; vérifier que la pente de l'asymptote oblique est bien de : - 40dB/décade.

Réponse

Quand  $\omega$  tend vers l'infini, la transmittance est équivalente à :

$$T \approx \frac{1}{\left(j\frac{\omega}{\omega_0}\right)^2}$$

soit:

$$20 |g|T| = 20 |g \frac{1}{\left(\frac{\omega}{\omega_0}\right)^2} = -40 |g(\frac{\omega}{\omega_0})|$$

10.4.1.4 Comparer ces diagrammes à ceux donnés par la mulation.



10.4.2 Filtre passe-haut du 2ème ordre structure de Sallen et Key

10.4.2.1 Démontrer les relations des paragraphes 10.2.3 en identifiant les paramètres m et  $\omega 0$ .

Réponse

Avec un calcul identique à celui effectué sur le passe-bas, on trouve :

$$\omega_0 = \frac{1}{RC} \text{ et } m = 1.$$

10.4.2.2 Démontrer que la fréquence de coupure fc est dont le par la relation :

$$fc = f0\sqrt{\sqrt{2}-1}$$

avec f0 = 
$$\frac{\omega 0}{2\pi}$$

Réponse

Reprendre les mêmes calculs que présédemme

10.4.2.3 Relaver les diagrammes de L de gant et pluse ; vérifier que la pente de l'asymptote oblique est bien, de 40db lécade

Réponse

Reprendre les emes cal ls que pré demment.

10.4.2.4 Comperer contagrammes à ceux donnés par la simulation.

## 10.4.3 Filtre passe-bande du 2ème ordre structure de Rauche

10.4.3.1 Démontrer les relations des paragraphes 10.3.1 et 10.3.2 en identifiant les paramètres m et  $\omega$ 0. Posons f0 =  $\omega$ 0/2 $\pi$ .

Réponse

Appliquer le théorème de Millman aux point A. on obtient :

$$VA = \frac{Y1Ve + Y4Vs + Y3Vb}{Y1 + Y2 + Y3 + Y4}$$
 or  $Vs = \frac{Y3}{Y5}VA$  (amplificateur inverseur).

De ces deux relations, nous trouvons celle annoncée en 10.3.1, fig.5.

$$T(j\omega) = -\frac{Y1Y3}{(Y1+Y2+Y3+Y4)Y5+Y3Y4}$$

En remplaçant les admittances par leurs valeurs (fig. b) et posant :

Y1 = Y2 = Y5 = 1/R et  $Y3 = Y4 = jC\omega$ , la trans.

$$T(j\omega) = -\frac{jRC\omega}{2 + j2RC\omega + (jRC\omega)^2} + \frac{1}{2} \frac{jRC\omega}{2}; \text{ la forme canonique }$$

la plus courante est : 
$$T(\omega) = -T_0$$

$$\frac{J^2 - U_0}{1 + (j \frac{\omega}{\omega_0})^2}$$
 cela donne par

identification:

$$\omega_0 = \frac{2}{RC} \qquad m = \sqrt{2} \qquad \text{et} \qquad T_0 = \frac{1}{2}$$

10.4.3.2 Démontrer que les fréquences de coupure basse f1 et haute f2 ainsi que la largeur  $\Delta f$  de la bande passante sont données par les relations :

f1 = f0(m + 
$$\sqrt{m^2 + 1}$$
)  
f2 = f0(-m +  $\sqrt{m^2 + 1}$ )  
 $\Delta f$  = f2 - f1 = 2mf0

Réponse

Comme pour le passe-bas, aux fréquences f1 et f2, le gain chute de B par rapport au gain maximal qui est ici de :  $\left|\mathsf{Tmax}\right| = \frac{1}{2}$ .

Cela donne: 
$$\frac{|Tc|}{|Tmax|} = \frac{1}{\sqrt{2}}$$
; ici,  $|Tmax| = \frac{1}{\sqrt{2}}$ 

$$\left| \text{Tc} \right| = \frac{\frac{1}{2} (2m \frac{\omega_c}{\omega_0})}{\sqrt{\left[ (1 - (\frac{\omega_c}{\omega_0})^2]^2 + (2m \frac{\omega_c}{\omega_0})^2 \right]}} \; ; \; \text{en apply the at la rection, a dessus, on obtient} \; :$$

$$\frac{(2m\frac{\omega_{c}}{\omega_{0}})}{\sqrt{[(1-(\frac{\omega_{c}}{\omega_{0}})^{2})^{2}+(2m\frac{\omega_{c}}{\omega_{0}})^{2}}} = \frac{1}{\sqrt{2}} ce^{-\omega i \text{ entraîne}}$$

$$(1 \frac{\omega_0^2 (\frac{\omega_0^2}{\omega_0})^2}{(1 + (2m\frac{\omega_c}{\omega_0})^2)^2} = \frac{1}{2}$$

Posol :  $x = (\frac{\omega_c}{\omega_0})^2$  on aboutit à une équation de la forme :

$$x^2 = [1 - x^2]^2 + 4m_2x^2$$
 soit:  $[1 - x^2]^2 - 4m^2x^2 = 0$  (identité remarquable).

On en tire un produit :

$$[x^2 - 1 - 2mx][x_2 - 1 + 2mx] = 0$$

On aboutit à 2 équations du  $2^{\text{ème}}$  degré en x dont seules les racines positives sont à prendre en compte (x est le rapport de 2 pulsations positives par définition).

$$X^2 + 2mx - 1 = 0$$

$$\Delta = 4m^2 + 4 = 4(m^2 + 1)$$
 soit

$$x_1 = -m + \sqrt{m^2 + 1} > 0$$
 or  $x1 = \frac{\omega l}{\omega 0}$  et  $f1 = \frac{\omega 1}{2\pi}$  cela donne :

$$\omega 1 = x_1 \omega 0$$
 d'où

$$f1 = f0(-m + \sqrt{m^2 + 1})$$

b)

$$X^2 - 2mx - 1 = 0$$

$$\Delta = 4m^2 + 4 = 4(m^2 + 1)$$
 soit

$$x_1 = m + \sqrt{m^2 + 1} > 0$$
 or  $x_2 = \frac{\omega l}{\omega 0}$   $f2 = \frac{\omega 2}{\kappa}$  condonne:

$$\omega 1 = x_2 \omega 0$$
 d'où

$$f1 = f0(m + \sqrt{m^2 + 1})$$

La largeur de bande est donnée par tion :

$$\Delta f = f2 - f1 = f0[(m + \sqrt{m^2 + 1}) - (-m \sqrt{m^2 + 1})]$$
 soit  $\Delta f = 2mf0$ 

Avec la valeur de m dét minée plus haux  $m = \frac{\sqrt{2}}{2}$ ), on trouve :

$$\Delta f = f0\sqrt{2}$$

10.4.3.3 Relever les liarrammes de Bode gain et phase ; vérifier que les pentes des 5, ptot oblique sont bien de : -20dB/décade et +20dB/décade.

Re, msg

En fais, at tendre  $\omega$  vers 0 puis vers l'infini on trouve deux asymptotes :

$$20lg \ 02m\frac{\omega}{\omega 0}$$
 soit + 20dB/décade et

$$20 \lg \frac{T_0 2m}{\frac{\omega}{\omega 0}} = -20 \lg \left| T02m \frac{\omega}{\omega 0} \right| \text{ soit } -20 \text{dB/décade}$$

10.4.3.4 Comparer ces diagrammes à ceux donnés par la simulation.

## 10.4.4 Filtre réjecteur du 2ème ordre

10.4.4.1 Démontrer les relations des paragraphes 10.3.3 en identifiant les paramètres  $T_0$ , m et  $\omega 0$ . Posons  $f_0 = \omega 0/2\pi$ .

#### Réponse

Posons : C18 = C19 = C; Cx = 2C; R19 = R20 = R; Rx = R/2 et  $p = j\omega$  (p opérateur de la place).

L'AOP est monté en suiveur. La tension à l'entrée E+ est égale à Vs.

Soient VaA et VB les tensions aux points A et B.

Les courants d'entrée sont nuls. Cela signifie figure 6.a que N

Calcul de i1 et i2 : i1 = 
$$(VA - Vs)Cp$$
 et i2 =  $\frac{VB - Vs}{(1)}$ 

D'après le théorème de Millman, nous avons :

$$VA = \frac{CpVe + CpVs + \frac{Vs}{\frac{2}{R}}}{Cp + CP + \frac{2}{R}} = \frac{R(\sqrt{e + Vs} + 2)}{\sqrt{1 + \sqrt{sp}}}$$
(2)

$$VB = \frac{\frac{Ve}{R} + \frac{Vs}{R}}{\frac{1}{R} + \frac{1}{R} \cdot 2Cp} \qquad \frac{Ve + Vs}{2(1 + RCP)}$$
(3)

En combine t les relevons (1), (2) et (3), on trouve :

$$T(f) = \frac{1 + (Cp)^2}{1 + (RC\omega)^2} = \frac{1 + (jRC\omega)^2}{1 + j2RC\omega + (jRC\omega)^2}$$
; une des formes

Canonic ses est: 
$$T(j\omega) = T_0 \frac{1 + (\frac{\omega}{\omega 0})^2}{1 + j2m \frac{\omega}{\omega 0} + (\frac{j\omega}{\omega 0})^2}$$

$$0 = 1, m = 1 \text{ et } \omega 0 = \frac{1}{RC}$$

10.4.4.2 Démontrer que les fréquences de coupure basse f1 et haute f2 ainsi que la largeur  $\Delta f$  de la bande rejetée sont données par les relations :

f1 = f0(m + 
$$\sqrt{m^2 + 1}$$
)  
f2 = f0(-m +  $\sqrt{m^2 + 1}$ )  
 $\Delta f$  = f2 - f1 = 2mf0

Réponse

Avec un calcul identique à celui du filtre passe-bande, on trouve les relation ci-dessus.

- 10.4.4.3 Relever les diagrammes de Bode gain et physé ainsi que latténuation à la fréquence f0.
- 10.4.4.4 Observer la largeur de la bande rejeté en rela açant Ryalar R, puis R/10. Conclusion ?
- 10.4.4.5 Comparer ces diagrammes à con donné par la sin diation.



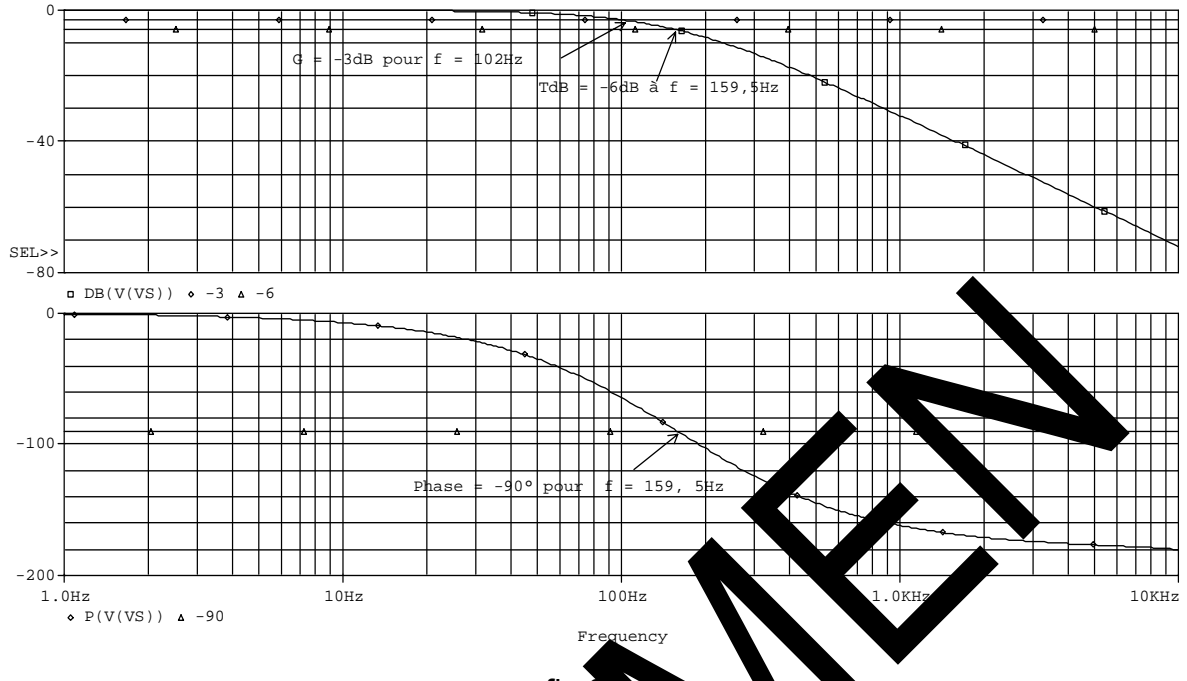


fig.3.

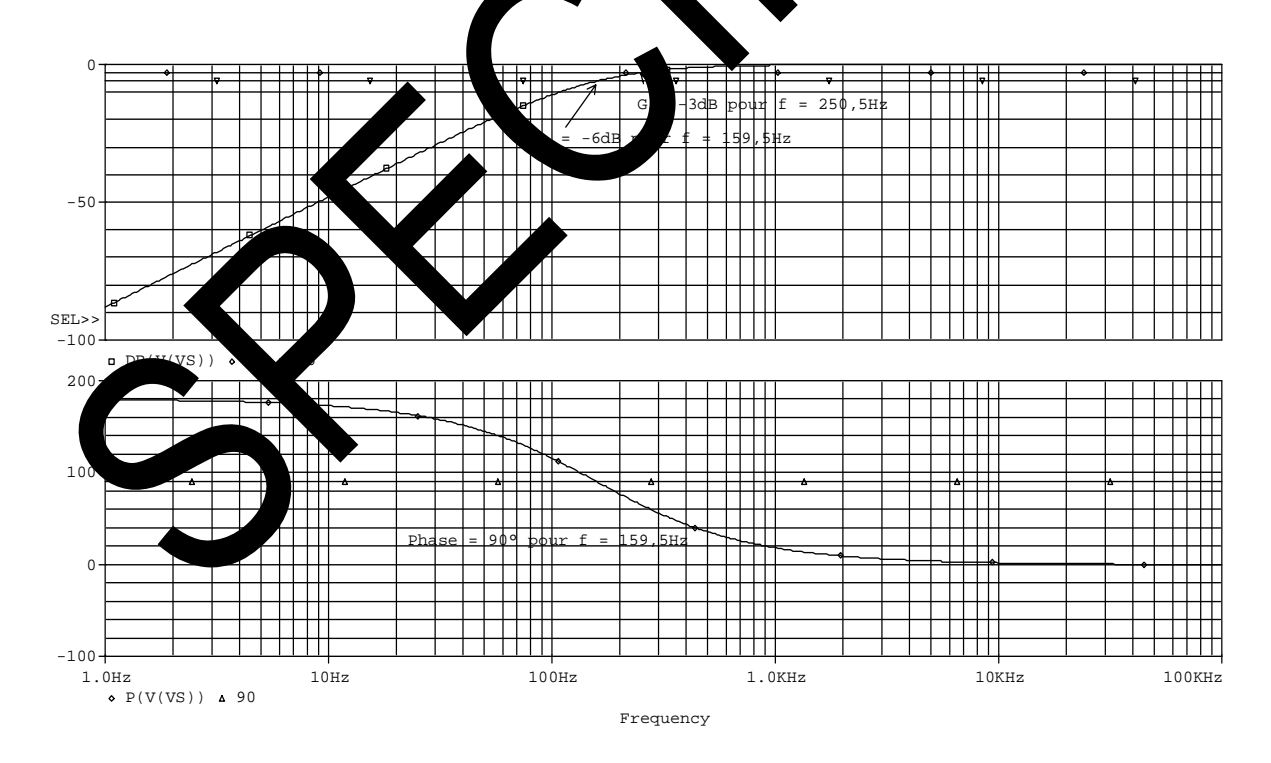
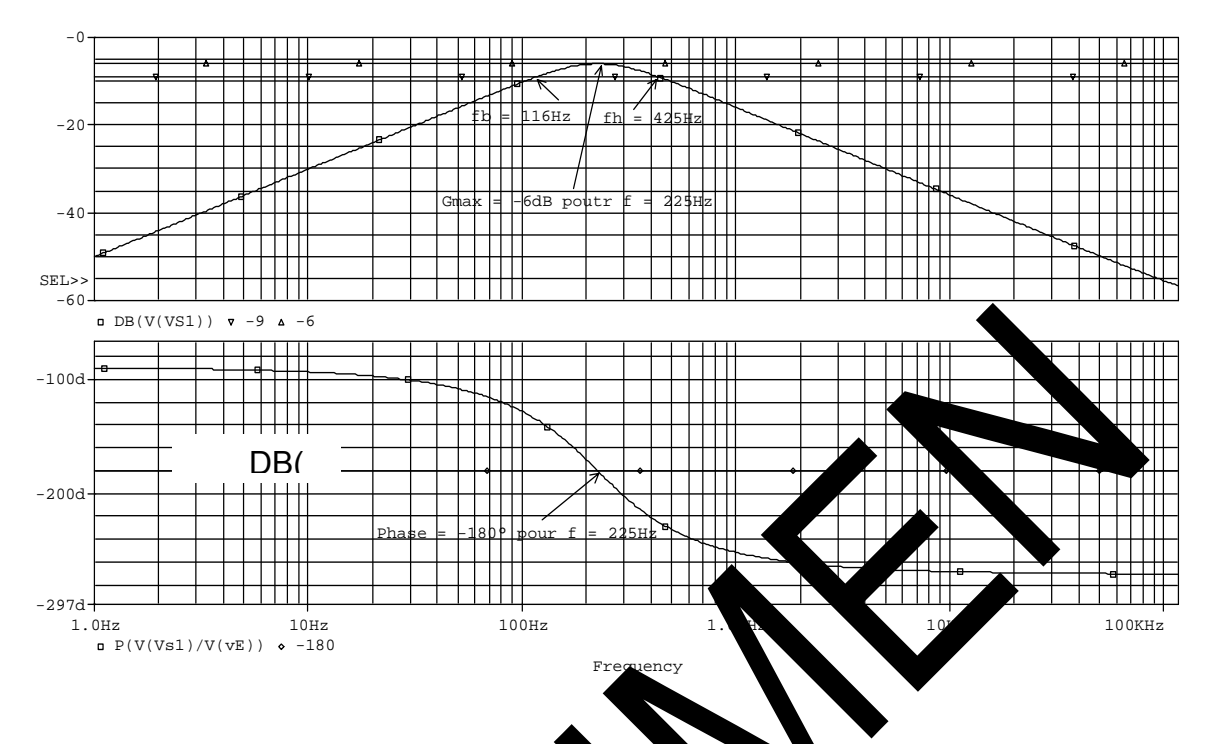
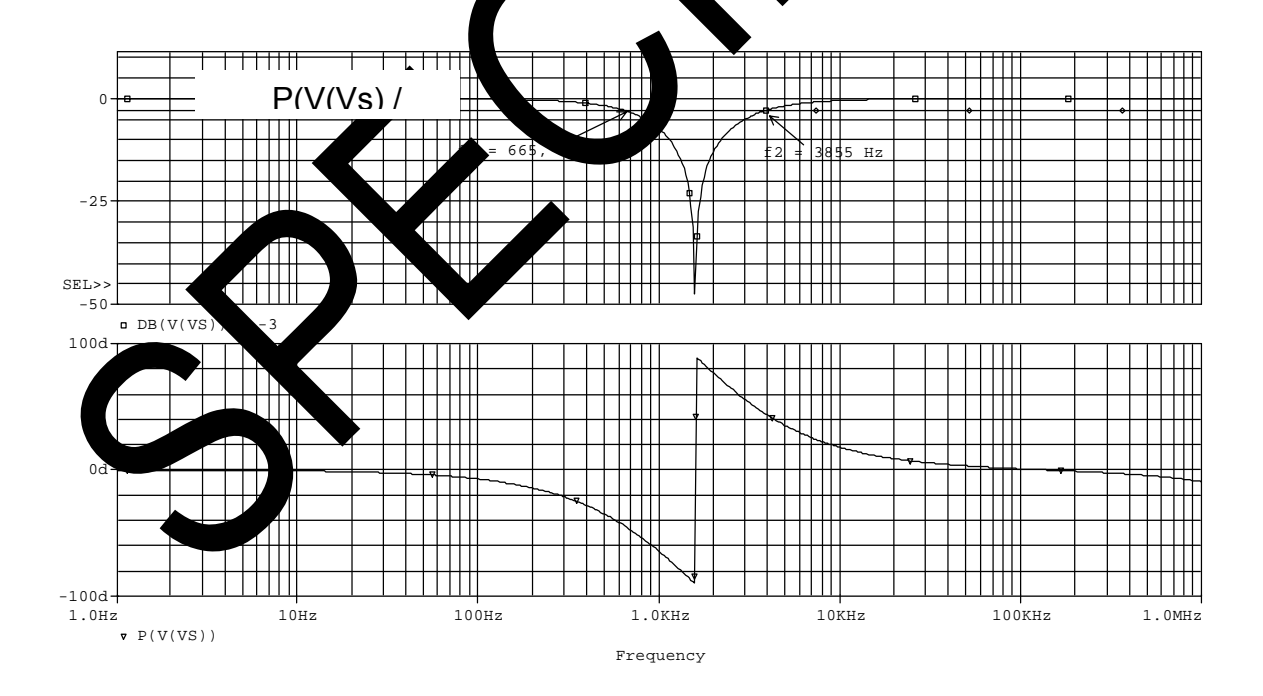


fig.4.b







6.b

### TP 11 PRODUIT GAIN x BANDE d'un AOP

### 11.1 BUT

### Attention!

Le mot gain ici est assimilé à l'amplification linéaire et non à des dB!

Le but de ce TP est de mettre en évidence que la bande passante à un montage à AOP diminue lorsque le gain augmente et inversement.

Cela se traduit par le fait que le produit Gain x Bande-Fassants est constant en théorie.

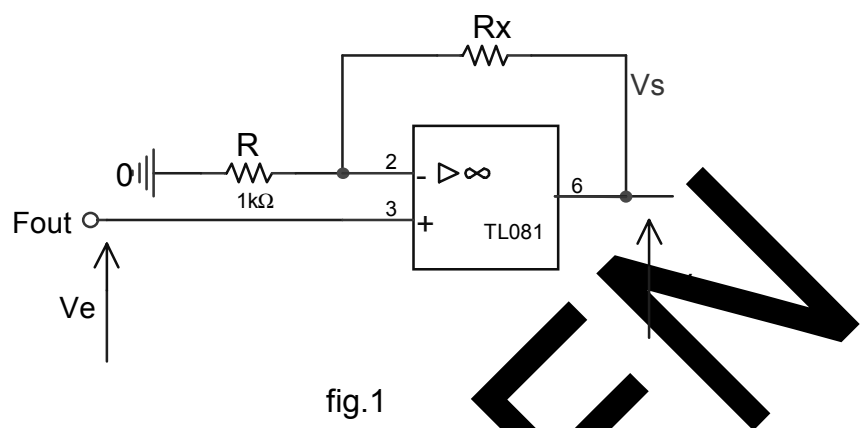
Pour cela, il suffit de tenir compte du gain réel en la ucle orgerte de AOP (AOP réel, voir TP 5) et faire le calcul de la transmittance de manage considéré.

Ici, l'on se contentera de le vérifier sur un monta, e un interdur. Le schéma est donné par la figure 1 et a ésultat e la simulation par la figure 2. La transmittance est de la forme :

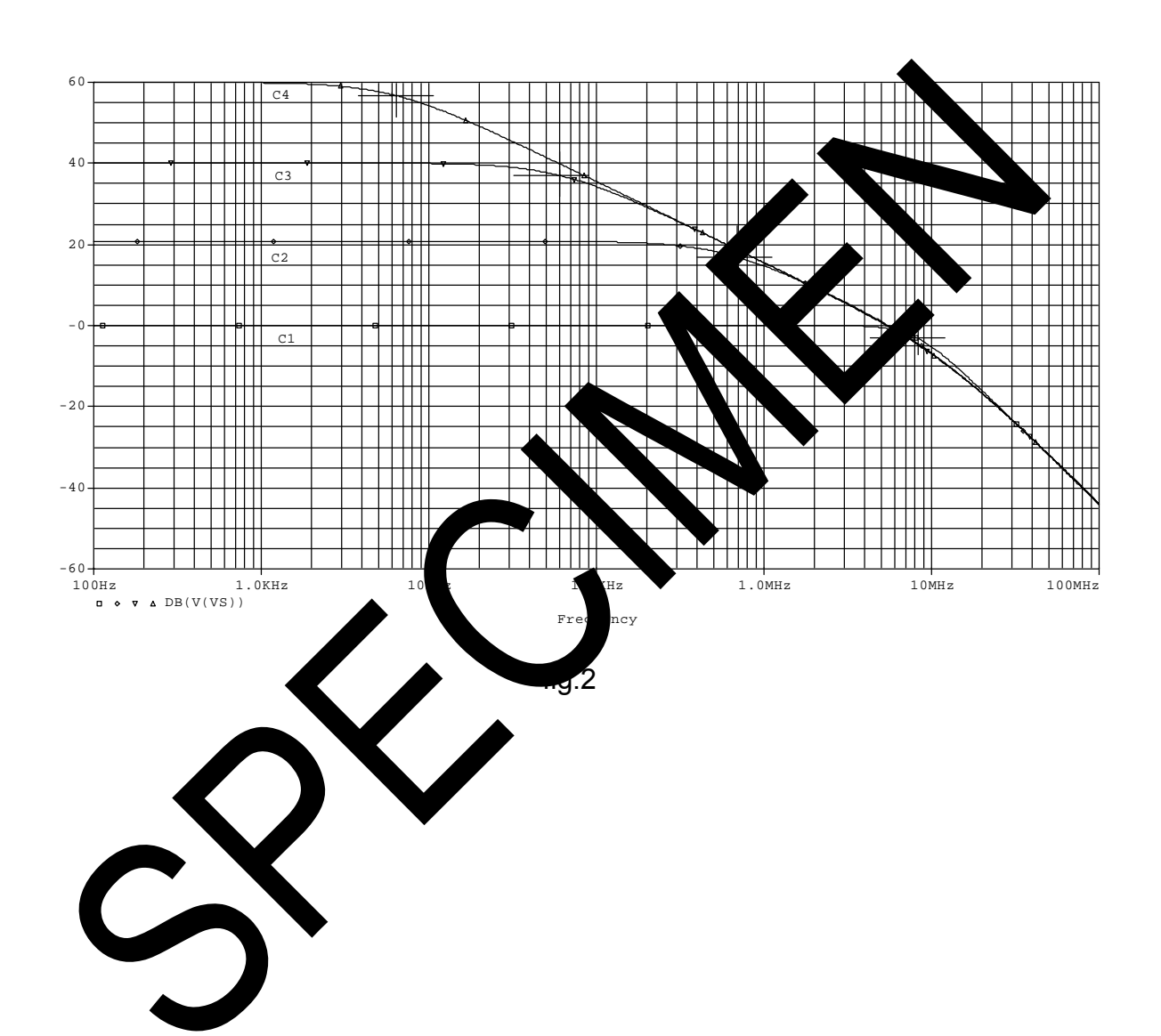


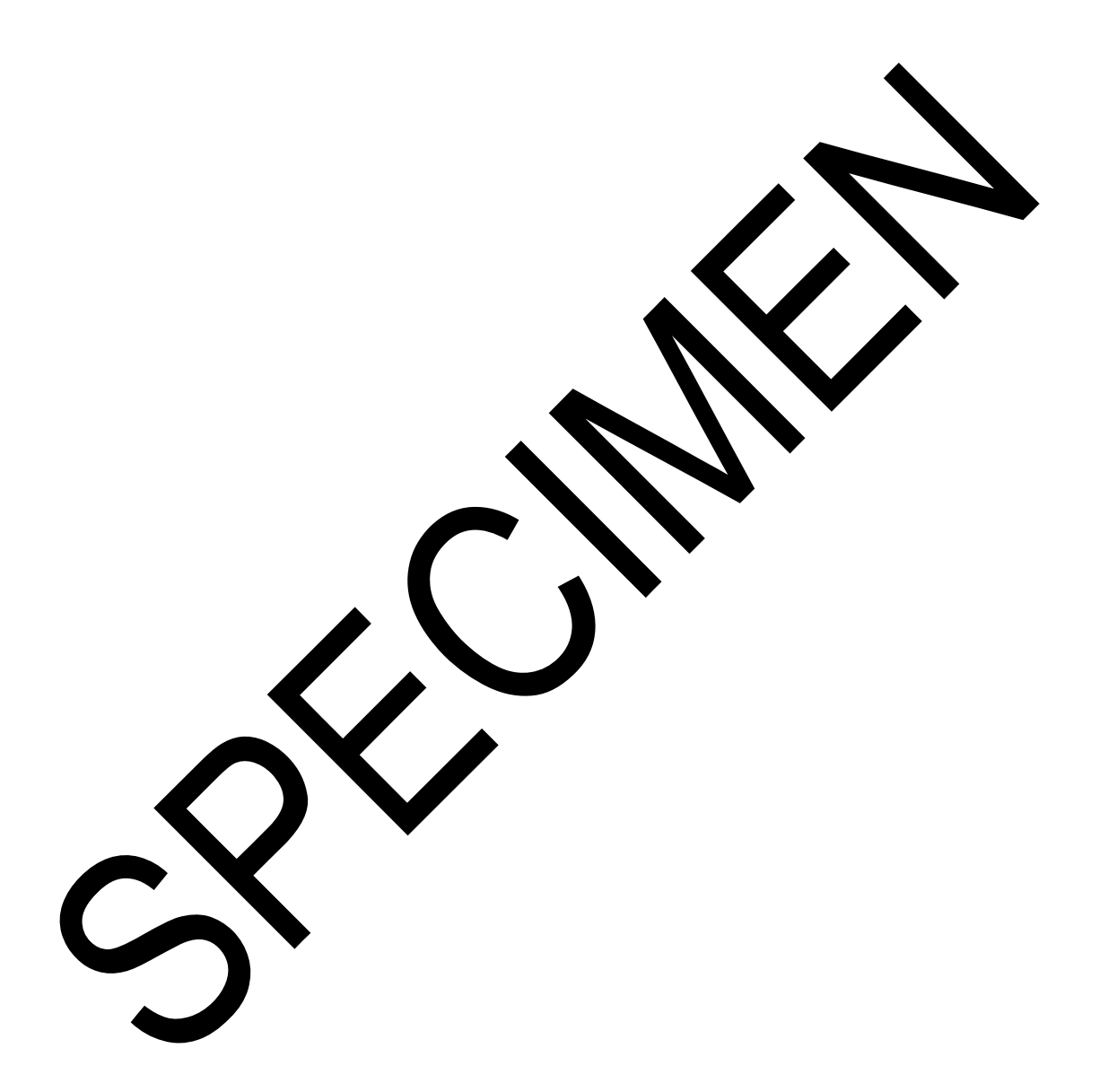
### 11.2 TRAVAUX PRATIQUES

Fixer R à 1k $\Omega$  et faire varier Rx de 0 à 1M $\Omega$  ; ce la donne une amplification allant de 1 à 1001



- 11.2.1.1 Câbler le schéma de la figure 1
- 11.2.1.2 Relever le digramme de Bode (sin en d.) de monage pour les valeurs de Rx = 0,  $10k\Omega$  k,  $100k\Omega$  et 100 et 100 de monage pour les valeurs dernière valeur).
- 11.2.1.3 Comparer les résultate de la simulation.
- 11.2.1.4 Conclusion.
- 11.2.1.5 Réitérer les essais (cc U2 (AD 18) à la place de U1 (TL081).
- 11.2.1.6 En vous régrant au gule tech que expliquer les différences constaté

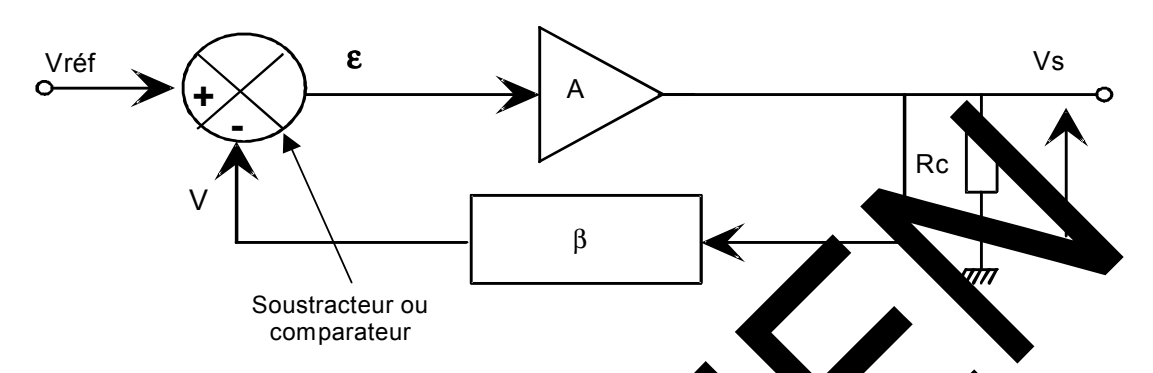




## **TP 12 ALIMENTATION REGULEE**

### 12.1 SCHEMA FONCTIONNEL

Il est donné par figure 1 ci-dessous.



A = Organe de puissance d'amplification A vec . >>

Calcul de Vs:

Démontrer que l'on a :

$$=\frac{1+\lambda^{2}}{1+\lambda^{2}}$$
 rep

Si A>> 1 on peut écrire Vs ous la forme :

$$\frac{V}{A} + \beta = \frac{V_{réf}}{\beta}$$

## 12.2 SCHEM STRUTUR

L'emple pulparateur et amplificateur A est constitué d'un AOP et d'un l'ansistor de pulsance monté en émetteur commun.

L'amplificateur, c'est le schéma équivalent c'essous étudié dans le TP 5.

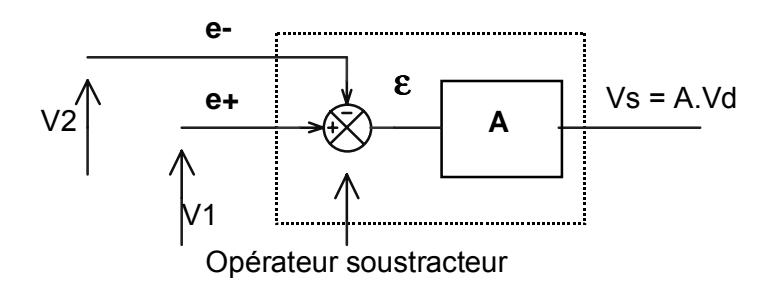
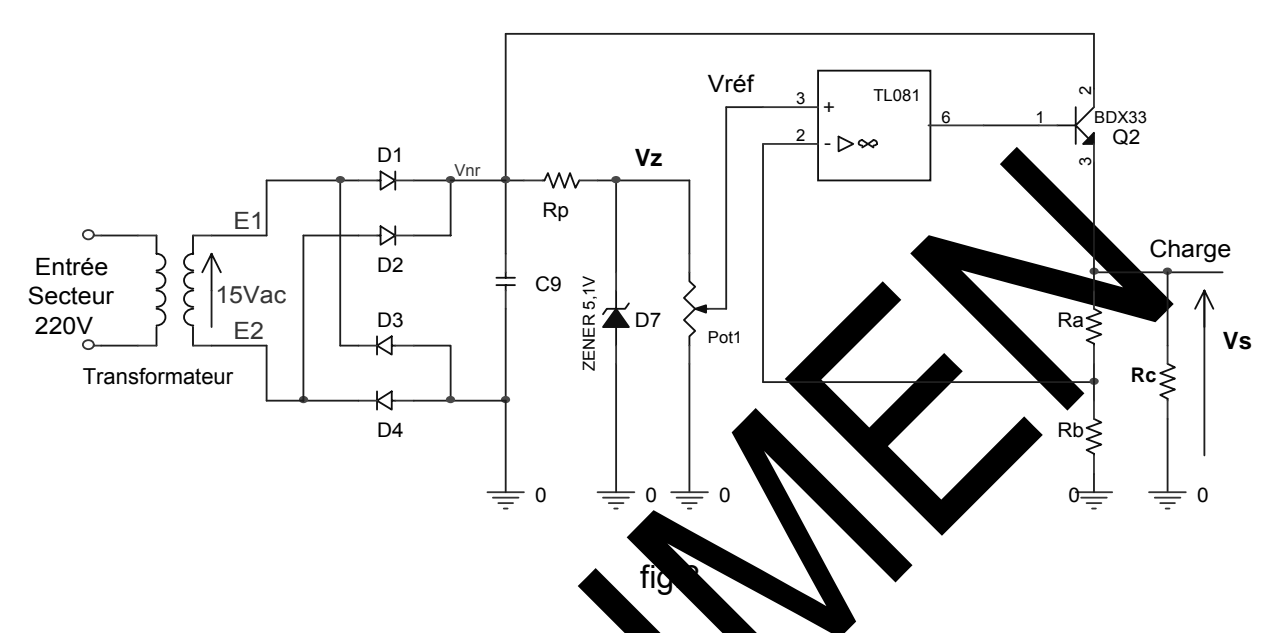


fig.2

Le transistor de puissance Q2 appelé aussi ballast permet de délivrer un courant élevé en fonction de la charge. Il fonctionne en linéaire.

Le schéma structurel est donné par la figure 3 ci-dessous.



Calcul de Vs : on suppose que de ourait circul ent dans Ra et Rb est négligeable devant le courant dans la charge Rc.

Vnr est la tension non égul

L'ensemble AOP et constitte un amp l'cateur linéaire de puissance.

La tension de sort. Vs est donne de relation :

$$Vs = \frac{Vr\acute{e}f}{\beta}$$
soit
$$Vs = (1 + \frac{Ra}{Rb})Vr\acute{e}f$$

La tension de référence Vréf varie de 0 à Vz donc Vs peut varier :

0 à 
$$(1+\frac{Ra}{Rb})Vz$$

### **12.3 TRAVAUX PRATI QUES**

- 12.3.1.1 Câbler le schéma de la figure 3 avec : Ra = R21, Rb = R22 Rp =  $1,5k\Omega$  Rc = R3, puis R2 puis R1.
- 12.3.1.2 Démontrer la relation donnant la tension de sortie Vs en fonction de Ra, Rb et Vréf.

#### Réponse

L'AOP est monté en amplificateur non inverseur.

Les tensions sur les ses 2 entrées sont égales.

Sur l'entrée + on Vréf.

$$\frac{Rb}{Ra + Rb}Vs = Vréf \Rightarrow Vs = \frac{Ra + Rb}{Rb}Vs = (1 + \frac{Ra}{Rb})Vs$$

- 12.3.1.3 Pour Rc = R1, mesurer Vz, as sur le potent mètre Pot1 et vérifier que qu Vs varie de 0 à (1+Pote2b)Vz soit de 1 à environ 10,2V.
- 12.3.1.4 Donner à Rc les val ur suivantes : RŽ, puis R1 vérifier la stabilité de la tension Vs.
- 12.3.1.5 Alimentation a limitation de courant figure 4. Expliquer le rôle de la résistança  $\lambda 0$  et de trans. 1. Rp = 1,5k $\Omega$ , Vréf = Vz, R0 = 4,7 $\Omega$ .

#### Ré inse

ont que la rension à cornes de la résistance R0 est inférieure à la tensin Vbe de Q1 ce rension rest bloque et la régulation se déroule normalement.

A partir l'un courant Imax tel que R0Imax > Vbe, le transistor Q1 se met à conduire (voir à se aturer) entraînant ainsi le blocage de Q2 et donc la limitation du courant de la limitation du courant

12.3.1.6 Faire varier la charge Rc de 1k à 33  $\Omega$  ; une boîte à décade (de puissance quelques Watts serait mieux.) Que constatez-vous ?

